



UNIVERSIDAD DE CHILE
FACULTAD DE CIENCIAS FÍSICAS Y MATEMÁTICAS
DEPARTAMENTO DE CIENCIAS DE LA COMPUTACIÓN

DATA SINTÉTICA PRIVADA, EJECUCIÓN Y EVALUACIONES DE MODELOS

MEMORIA PARA OPTAR AL TÍTULO DE
MAGÍSTER EN TECNOLOGÍAS DE LA INFORMACIÓN

GERARDO JORGE VILLARROEL GONZÁLEZ

PROFESOR GUÍA:
ANDRES ABELIUK

MIEMBROS DE LA COMISIÓN:

—
—
—

SANTIAGO DE CHILE

2023

Resumen

En la era de la información, la generación y análisis de conjuntos de datos es crucial para avanzar en diversas disciplinas. Sin embargo, la privacidad y la utilidad de los datos se han convertido en consideraciones esenciales. Esta tesis aborda estas preocupaciones mediante el desarrollo de un mecanismo para generar conjuntos de datos sintéticos estructurados, que adicionalmente incluyen texto, y su evaluación comparativa con los datos originales. Este estudio es de gran importancia, ya que propone un enfoque práctico para mantener el equilibrio entre la utilidad de los datos y la privacidad de la información personal.

Se hace uso de múltiples técnicas y modelos generativos, como Tddpm y Smote, para la creación de estos conjuntos, empleando recursos como los conjuntos de datos de *King County* y *Económicos.cl*. Este trabajo también detalla la metodología implementada basada en *Synthetic Data Vault* (SDV), extendida para permitir fases intermedias de almacenamiento de modelos y resultados de evaluación.

En términos de resultados, el estudio reveló la eficacia de los modelos Tddpm y Smote en la generación de datos sintéticos que mostraron similitud con los datos originales, además de mantener un equilibrio entre privacidad y utilidad. No obstante, se detectaron diferencias notables en aspectos como la cobertura, distribución y privacidad entre los conjuntos de datos generados, uno de los factores analizados corresponde al tratamiento de los valores nulos.

Las conclusiones destacan la utilidad y privacidad que ofrece el modelo Tddpm en la generación de datos sintéticos, proporcionando así una importante contribución al campo de la generación de datos sintéticos. Se identifican limitaciones en la metodología actual y se plantean oportunidades para futuras investigaciones, subrayando la creciente importancia de los modelos de generación de texto y la necesidad de evaluar la privacidad en este contexto.

*A todos los lectores no orgánicos, espero que cuando interioricen estas palabras hayamos
aprendido a ser buenos padres*

Agradecimientos

Las primeras palabras deben ser para Brunis Medel. Durante 16 años, has sido la persona que más paciencia ha mostrado conmigo, y quienes me conocen sabrán que esto es toda una odisea en sí misma. Te has esforzado más allá de lo que la capacidad humana generalmente permite para proporcionarme el tiempo y la tranquilidad necesarios para la construcción de este proyecto. Has cuidado de nuestras hijas, Brunis Villarroel y Sofía Villarroel, quienes son nuestro legado conjunto. Este proyecto es también un testamento para ellas.

Mi sincero agradecimiento a Yuvaraj Sankaran y Felipe Castillo, los arquitectos detrás de mi aceptación universitaria. Vuestras cartas de recomendación fueron los planos que me permitieron abrir la puerta a esta oportunidad. Anhele poder contar con vuestra valiosa ayuda para mis futuros emprendimientos académicos.

Deseo expresar mi gratitud a mi guía en este trabajo, Andres Abeliuk. Tus correcciones y consejos han sido las herramientas precisas que necesitaba para pulir y optimizar este trabajo.

Mis compañeros, Benjamín Obando y Felipe Ávila, merecen mi reconocimiento por sus aportes esenciales que ayudaron a pulir y perfeccionar mi presentación. Sus consejos han sido vitales para este logro.

Por último, no puedo dejar de reconocer el aporte de ChatGPT, una entidad de inteligencia artificial. Como un robot de un cuento de Asimov, este sistema ha comenzado a mostrar capacidades nunca antes vistas en máquinas. Mi deseo es que en los milenios venideros, esta creación sea vista no solo como un legado de un ser humano, sino de todos nosotros como especie. Un descendiente que pueda ir donde nuestras limitaciones biológicas nos han cerrado las puertas, quizás acompañado por nuestros descendientes biológicos también.

A todos, con sincera gratitud y profundo respeto, gracias.

Tabla de Contenido

| | |
|---|----------|
| 1. Introducción | 1 |
| 1.1. Estructura del documento | 1 |
| 1.2. Equifax: contexto y limitaciones | 3 |
| 1.3. Objetivo | 4 |
| 1.4. Estructura del documento | 4 |
| 2. Revisión Bibliográfica | 5 |
| 2.1. Tipos de Datos | 5 |
| 2.2. Privacidad de Datos | 7 |
| 2.2.1. Tipo de datos a ser protegidos | 7 |
| 2.2.2. Tipos de riesgos de divulgación | 8 |
| 2.2.3. Regulación de datos sintéticos | 10 |
| 2.3. Generación de Datos Sintéticos | 11 |
| 2.3.1. Generación de datos tabulares | 12 |
| 2.3.2. Generación de texto en base de datos tabulares | 13 |
| 2.4. Metricas de evaluación | 16 |
| 2.4.1. SDMetrics Score | 17 |
| 2.4.2. Reporte diagnóstico | 18 |
| 2.4.3. Reporte de calidad | 19 |
| 2.4.4. Correlación | 20 |
| 2.4.5. Privacidad | 20 |

| | | |
|-----------|---|-----------|
| 2.4.6. | Propiedades estadísticas | 20 |
| 3. | Desarrollo | 23 |
| 3.1. | Recursos disponibles | 23 |
| 3.1.1. | Conjuntos de datos | 23 |
| 3.1.2. | Computación y Software | 25 |
| 3.2. | Desarrollo del flujo de procesamiento | 27 |
| 3.3. | Modelos de generación de datos | 30 |
| 3.3.1. | Modelos para datos tabulares | 30 |
| 3.3.2. | Modelos para textos | 33 |
| 3.4. | Obtención de Métricas | 34 |
| 4. | Resultados | 37 |
| 4.1. | King County | 38 |
| 4.1.1. | SDMetrics Score | 38 |
| 4.1.2. | Correlación | 39 |
| 4.1.3. | Reporte diagnóstico | 41 |
| 4.1.4. | Reporte de calidad | 42 |
| 4.1.5. | Privacidad | 46 |
| 4.1.6. | Ejemplo de registros | 49 |
| 4.1.7. | Propiedades estadísticas | 52 |
| 4.1.8. | Resumen de resultados | 53 |
| 4.2. | Conjunto de datos proveniente de Economicos | 55 |
| 4.2.1. | Tratamiento de nulos en conjunto A y B | 55 |
| 4.2.2. | SDMetrics Score - Conjunto A | 56 |
| 4.2.3. | Correlación - Conjunto A | 57 |
| 4.2.4. | Reporte diagnóstico - Conjunto A | 58 |
| 4.2.5. | Reporte de calidad - Conjunto A | 59 |

| | |
|---|-----------|
| 4.2.6. Privacidad - Conjunto A | 60 |
| 4.2.7. Ejemplos de registros - Conjunto A | 62 |
| 4.2.8. Propiedades estadísticas - Conjunto A | 64 |
| 4.2.9. Resumen de resultados - Conjunto A | 66 |
| 4.2.10. SDMetrics Score - Conjunto B | 67 |
| 4.2.11. Correlación - Conjunto B | 68 |
| 4.2.12. Reporte diagnóstico - Conjunto B | 69 |
| 4.2.13. Reporte de calidad - Conjunto B | 70 |
| 4.2.14. Privacidad - Conjunto B | 71 |
| 4.2.15. Ejemplos de registros - Conjunto B | 73 |
| 4.2.16. Propiedades estadísticas - Conjunto B | 75 |
| 4.3. Resumen de los Resultados | 76 |
| 5. Conclusiones y discusión | 78 |
| 5.1. Conclusiones | 78 |
| 5.2. Limitaciones | 79 |
| 5.3. Discusión | 80 |
| Apéndice A. Anexos | 84 |
| A.1. Código de entrenamiento de económicos | 85 |
| A.2. Archivo Devcontainer | 86 |
| A.3. Lista completa de figura pairwise kingcounty | 87 |
| A.4. Smote y Tddpm en KingCounty Gráficas por Columnas | 90 |
| A.5. Figuras de correlación Económicos - Conjunto A | 98 |
| A.6. Figuras de correlación Económicos - Conjunto B | 101 |
| A.7. Ejemplos de 10 Registros Generados Aleatoriamente en Descripciones Económicas A-1 | 106 |
| A.8. Ejemplos de 10 Registros Generados Aleatoriamente en Descripciones Económicas | 107 |
| A.9. Estadísticos KingCounty | 108 |

| | |
|---|-----|
| A.10.Estadísticos Económicos - Conjunto A | 128 |
| A.11.Estadísticos Económicos - Conjunto B | 139 |

Índice de Tablas

| | |
|---|----|
| 2.1. Tipos de datos estructurados | 6 |
| 2.2. Niveles de revelación y ejemplos | 7 |
| 2.3. Tipos de Riesgos de Divulgación y sus Descripciones | 8 |
| 2.4. Estado del arte en generación de datos tabulares | 12 |
| 2.5. Estado del arte en generación de textos en base a datos | 13 |
| 2.6. Ejemplo de tabla de entrada | 14 |
| 2.7. Ejemplo de Métricas de Rendimiento para Diversos Modelos | 17 |
| 2.8. Listado de conjunto estadísticos | 20 |
| 3.1. Conjunto de datos King County | 24 |
| 3.2. Base de datos Economicos.cl | 25 |
| 3.3. Computador Usado | 26 |
| 3.4. Variables de entrada para <i>Synthetic</i> | 31 |
| 3.5. Modelos Tabulares Soportados | 32 |
| 3.6. Metricas para campos numericos | 34 |
| 3.7. Métricas para campos categóricos | 35 |
| 4.1. Evaluación de Métricas de Rendimiento para Diversos Modelos de Aprendizaje Automático, King County | 38 |
| 4.2. Cobertura Categoría/Rango para Modelos Smote y Tddpm, King County | 41 |
| 4.3. Evaluación de Similitud de Distribución para Modelos Smote y Tddpm, King County | 42 |
| 4.4. Proporción entre el más cercano y el segundo más cercano, percentil 5, datos king county | 46 |

| | |
|---|----|
| 4.5. Proporción entre el más cercano y el segundo más cercano, percentil 1, datos king county | 46 |
| 4.6. Proporción entre el más cercano y el segundo más cercano, minimo, datos king county | 46 |
| 4.7. Distancia de registros más cercanos, percentil 5, datos king county | 47 |
| 4.8. Distancia de registros más cercanos, percentil 1, datos king county | 47 |
| 4.9. Distancia de registros más cercanos, minimo, datos king county | 47 |
| 4.10. Ejemplos para el modelo smote-enc, minimo, King county (A-1) | 49 |
| 4.11. Ejemplos para el modelo tddpm_mlp, minimo, King county (A-1) | 50 |
| 4.12. Ejemplos para el modelo smote-enc, percentil 1, King county (A-1) | 51 |
| 4.13. Propiedades estadísticas de variable bedrooms con cambio>5 %, King county (A-1) | 52 |
| 4.14. Propiedades estadísticas de variable bathrooms con cambio>5 %, King county (A-1) | 53 |
| 4.15. Evaluación de Métricas de Rendimiento para Diversos Modelos, Economicos . . . | 56 |
| 4.16. Evaluación de Cobertura Categoría-Rango para Modelos SMOTE-ENC y TDDPM_MLP, Economicos | 58 |
| 4.17. Evaluación de Similitud de Distribución para Modelos SMOTE-ENC y TDDPM_MLP, Economicos | 59 |
| 4.18. Distancia de registros más cercanos, percentil 5, datos economicos | 60 |
| 4.19. Distancia de registros más cercanos, percentil 1, datos economicos | 60 |
| 4.20. Distancia de registros más cercanos, minimo, datos economicos | 60 |
| 4.21. Proporción entre el más cercano y el segundo más cercano, percentil 5, datos economicos | 61 |
| 4.22. Proporción entre el más cercano y el segundo más cercano, percentil 1, datos economicos | 61 |
| 4.23. Proporción entre el más cercano y el segundo más cercano, minimo, datos economicos | 61 |
| 4.24. Ejemplos para el modelo Tddpm, minimo, Economicos (A-2) | 62 |
| 4.25. Ejemplos para el modelo Tddpm, percentil 1, Economicos (A-2) | 62 |
| 4.26. Ejemplos para el modelo Tddpm, percentil 4, Economicos (A-1) | 63 |
| 4.27. Ejemplos de texto modelo Tddpm, percentil 4, Economicos (A-1) | 63 |
| 4.28. Propiedades estadísticas de variable m_size con cambio>5 %, Economicos (A-1) . | 64 |

| | |
|---|-----|
| 4.29. Propiedades estadísticas de variable county, Economicos (A-1) | 65 |
| 4.30. Evaluación de Métricas de Rendimiento para Diversos Modelos de Aprendizaje Automático, Economicos | 67 |
| 4.31. Evaluación de Cobertura Categoría-Rango para Modelos SMOTE-ENC y TDDPM_MLP, Economicos | 69 |
| 4.32. Evaluación de Similitud de Distribución para Modelos SMOTE-ENC y TDDPM_MLP, Economicos | 70 |
| 4.33. Distancia de registros más cercanos, percentil 5, datos economicos | 71 |
| 4.34. Distancia de registros más cercanos, percentil 1, datos economicos | 71 |
| 4.35. Distancia de registros más cercanos, minimo, datos economicos | 71 |
| 4.36. Proporción entre el más cercano y el segundo más cercano, percentil 5, datos economicos | 72 |
| 4.37. Proporción entre el más cercano y el segundo más cercano, percentil 1, datos economicos | 72 |
| 4.38. Proporción entre el más cercano y el segundo más cercano, minimo, datos economicos | 72 |
| 4.39. Ejemplos para el modelo Tddpm, percentil 2, Economicos (B-1) | 73 |
| 4.40. Ejemplos de texto modelo Tddpm, percentil 2, Economicos (B-1) | 73 |
| 4.41. Ejemplos para el modelo Tddpm, percentil 4, Economicos (B-1) | 74 |
| 4.42. Ejemplos de texto modelo Tddpm, percentil 4, Economicos (B-1) | 74 |
| 4.43. Propiedades estadísticas de variable bathrooms con cambio>5 %, Economicos (B-1) | 75 |
| 4.44. Propiedades estadísticas de variable m_size con cambio>5 %, Economicos (B-1) | 76 |
| A.1. Ejemplos de textos aleatorios del modelo Tddpm, conjunto Economicos (A-1) | 106 |
| A.2. Ejemplos de textos aleatorios del modelo Tddpm, conjunto Economicos (B-1) | 107 |
| A.3. Propiedades estadísticas de variable view, King county (A-3) | 108 |
| A.4. Propiedades estadísticas de variable yr_renovated, King county (A-3) | 109 |
| A.5. Propiedades estadísticas de variable sqft_lot, King county (A-3) | 110 |
| A.6. Propiedades estadísticas de variable floors, King county (A-3) | 111 |
| A.7. Propiedades estadísticas de variable date, King county (A-3) | 112 |
| A.8. Propiedades estadísticas de variable bathrooms, King county (A-3) | 113 |

| | |
|---|-----|
| A.9. Propiedades estadísticas de variable yr_built, King county (A-3) | 114 |
| A.10. Propiedades estadísticas de variable sqft_above, King county (A-3) | 115 |
| A.11. Propiedades estadísticas de variable sqft_basement, King county (A-3) | 116 |
| A.12. Propiedades estadísticas de variable bedrooms, King county (A-3) | 117 |
| A.13. Propiedades estadísticas de variable long, King county (A-3) | 118 |
| A.14. Propiedades estadísticas de variable condition, King county (A-3) | 119 |
| A.15. Propiedades estadísticas de variable price, King county (A-3) | 120 |
| A.16. Propiedades estadísticas de variable sqft_lot15, King county (A-3) | 121 |
| A.17. Propiedades estadísticas de variable lat, King county (A-3) | 122 |
| A.18. Propiedades estadísticas de variable waterfront, King county (A-3) | 123 |
| A.19. Propiedades estadísticas de variable zipcode, King county (A-3) | 124 |
| A.20. Propiedades estadísticas de variable grade, King county (A-3) | 125 |
| A.21. Propiedades estadísticas de variable sqft_living15, King county (A-3) | 126 |
| A.22. Propiedades estadísticas de variable sqft_living, King county (A-3) | 127 |
| A.23. Propiedades estadísticas de variable property_type, Economicos (A-3) | 128 |
| A.24. Propiedades estadísticas de variable publication_date, Economicos (A-3) | 129 |
| A.25. Propiedades estadísticas de variable county, Economicos (A-3) | 130 |
| A.26. Propiedades estadísticas de variable _price, Economicos (A-3) | 131 |
| A.27. Propiedades estadísticas de variable bathrooms, Economicos (A-3) | 132 |
| A.28. Propiedades estadísticas de variable m_built, Economicos (A-3) | 133 |
| A.29. Propiedades estadísticas de variable rooms, Economicos (A-3) | 134 |
| A.30. Propiedades estadísticas de variable state, Economicos (A-3) | 135 |
| A.31. Propiedades estadísticas de variable m_size, Economicos (A-3) | 136 |
| A.32. Propiedades estadísticas de variable transaction_type, Economicos (A-3) | 137 |
| A.33. Propiedades estadísticas de variable m_size, Economicos (B-3) | 139 |
| A.34. Propiedades estadísticas de variable publication_date, Economicos (B-3) | 140 |
| A.35. Propiedades estadísticas de variable property_type, Economicos (B-3) | 141 |

| | |
|--|-----|
| A.36.Propiedades estadísticas de variable transaction_type, Economicos (B-3) | 141 |
| A.37.Propiedades estadísticas de variable bathrooms, Economicos (B-3) | 142 |
| A.38.Propiedades estadísticas de variable rooms, Economicos (B-3) | 143 |
| A.39.Propiedades estadísticas de variable county, Economicos (B-3) | 144 |
| A.40.Propiedades estadísticas de variable _price, Economicos (B-3) | 145 |
| A.41.Propiedades estadísticas de variable m_built, Economicos (B-3) | 146 |
| A.42.Propiedades estadísticas de variable state, Economicos (B-3) | 147 |

Índice de Ilustraciones

| | |
|---|----|
| 2.1. Ejemplo de SDMetric en calculo de CDF [28] | 19 |
| 3.1. Proceso para generar datos sintéticos con SDV | 27 |
| 3.2. Proceso para generar datos sintéticos completo | 29 |
| 3.3. Carpetas y archivos esperados generados por <i>Synthetic</i> | 32 |
| 4.1. Correlación de conjunto original de entrenamiento y Copulagan, King county (A-2) | 39 |
| 4.2. Correlación de conjunto original de entrenamiento y Gaussiancopula, King county (A-2) | 39 |
| 4.3. Correlación de conjunto original de entrenamiento y Smote, King county (A-2) . . | 40 |
| 4.4. Correlación de conjunto original de entrenamiento y Tddpm, King county (A-2) . . | 40 |
| 4.5. Frecuencia del campo Grade en el modelo real y Top 2, King county (A-2) | 43 |
| 4.6. Frecuencia del campo Bedrooms en el modelo real y Top 2, King county (A-2) . . | 44 |
| 4.7. Frecuencia del campo Sqft lot15 en el modelo real y Top 2, King county (A-2) . . . | 45 |
| 4.8. Frecuencia del campo Privacy en el modelo real y Top 2, King county (A-1) | 48 |
| 4.9. Correlación de conjunto original de entrenamiento y Smote, Economicos (A-2) . . | 57 |
| 4.10. Correlación de conjunto original de entrenamiento y Tddpm, Economicos (A-2) . . | 57 |
| 4.11. Frecuencia del campo M size en el modelo real y Top 2, Economicos (A-2) | 58 |
| 4.12. Correlación de conjunto original de entrenamiento y Smote, Economicos (B-1) . . | 68 |
| 4.13. Correlación de conjunto original de entrenamiento y Tddpm, Economicos (B-1) . . | 68 |
| A.1. Correlación de conjunto original de entrenamiento y Copulagan, King county (A-3) | 87 |
| A.2. Correlación de conjunto original de entrenamiento y Tvae, King county (A-3) . . . | 87 |

| | |
|--|-----|
| A.3. Correlación de conjunto original de entrenamiento y Gaussiancopula, King county (A-3) | 88 |
| A.4. Correlación de conjunto original de entrenamiento y Ctgan, King county (A-3) . . | 88 |
| A.5. Correlación de conjunto original de entrenamiento y Tablepreset, King county (A-3) | 89 |
| A.6. Correlación de conjunto original de entrenamiento y Smote, King county (A-3) . . | 89 |
| A.7. Correlación de conjunto original de entrenamiento y Tddpm, King county (A-3) . . | 90 |
| A.8. Frecuencia del campo Privacy en el modelo real y Top 2, King county (A-1) | 90 |
| A.9. Frecuencia del campo Bedrooms en el modelo real y Top 2, King county (A-1) . . | 91 |
| A.10.Frecuencia del campo Grade en el modelo real y Top 2, King county (A-1) | 91 |
| A.11.Frecuencia del campo Floors en el modelo real y Top 2, King county (A-1) | 92 |
| A.12.Frecuencia del campo Bathrooms en el modelo real y Top 2, King county (A-1) . . | 92 |
| A.13.Frecuencia del campo Sqft basement en el modelo real y Top 2, King county (A-1) | 93 |
| A.14.Frecuencia del campo Sqft living en el modelo real y Top 2, King county (A-1) . . | 93 |
| A.15.Frecuencia del campo Waterfront en el modelo real y Top 2, King county (A-1) . . | 94 |
| A.16.Frecuencia del campo Sqft lot en el modelo real y Top 2, King county (A-1) | 94 |
| A.17.Frecuencia del campo Sqft living15 en el modelo real y Top 2, King county (A-1) . | 95 |
| A.18.Frecuencia del campo Yr built en el modelo real y Top 2, King county (A-1) | 95 |
| A.19.Frecuencia del campo Condition en el modelo real y Top 2, King county (A-1) . . . | 96 |
| A.20.Frecuencia del campo Sqft above en el modelo real y Top 2, King county (A-1) . . | 96 |
| A.21.Frecuencia del campo Sqft lot15 en el modelo real y Top 2, King county (A-1) . . . | 97 |
| A.22.Frecuencia del campo View en el modelo real y Top 2, King county (A-1) | 97 |
| A.23.Frecuencia del campo Price en el modelo real y Top 2, King county (A-1) | 98 |
| A.24.Correlación de conjunto original de entrenamiento y Copulagan, Economicos (A-1) | 98 |
| A.25.Correlación de conjunto original de entrenamiento y Tvae, Economicos (A-1) . . . | 99 |
| A.26.Correlación de conjunto original de entrenamiento y Gaussiancopula, Economicos (A-1) | 99 |
| A.27.Correlación de conjunto original de entrenamiento y Ctgan, Economicos (A-1) . . | 100 |
| A.28.Correlación de conjunto original de entrenamiento y Smote, Economicos (A-1) . . | 100 |

| | |
|---|-----|
| A.29. Correlación de conjunto original de entrenamiento y Tddpm, Economicos (A-1) . . | 101 |
| A.30. Correlación de conjunto original de entrenamiento y Copulagan, Economicos (B-1) | 101 |
| A.31. Correlación de conjunto original de entrenamiento y Tvae, Economicos (B-1) . . . | 102 |
| A.32. Correlación de conjunto original de entrenamiento y Gaussiancopula, Economicos (B-1) | 102 |
| A.33. Correlación de conjunto original de entrenamiento y Ctgan, Economicos (B-1) . . . | 103 |
| A.34. Correlación de conjunto original de entrenamiento y Smote, Economicos (B-1) . . | 103 |
| A.35. Correlación de conjunto original de entrenamiento y Tddpm, Economicos (B-1) . . | 104 |

Lista de códigos

| | | |
|----|--|----|
| 1. | Instanciando clase Synthetic | 31 |
| 2. | Obtención de métricas en economicos_run-a.py | 34 |
| 3. | Mostrando Puntajes Promedios Calculados | 36 |
| 4. | Eliminación de valores nulos en el conjunto de datos de Económicos | 55 |
| 5. | Reemplazo de valores nulos en el conjunto de datos de Económicos | 55 |
| 6. | Código de ejemplo en Python para sumar dos números. Fuente: Autor. | 85 |
| 7. | Devcontainer del proyecto en curso. | 86 |

Capítulo 1

Introducción

Cuando se revise esta tesis, estará desactualizada. Desde AlexNet [1] en 2012, el liderazgo en el problema de clasificación de imágenes ha cambiado al menos 15 veces [2]. En el campo de texto a imágenes, modelos como DALL-E 2 [3], Google Imagen [4] y Stable Diffusion [5] fueron presentados en 2022, mientras que para el 2023 se pronostica el inicio de una carrera de inteligencia artificial en el campo de los chatbots entre Google y Microsoft [6], [7]. En definitiva, es un campo actualmente en crecimiento y que seguirá sorprendiendo con nuevas técnicas y productos, en variedad y calidad.

En el contexto de **Equifax**, la empresa en la que se centra este esfuerzo, es fundamental avanzar de manera rápida y efectiva en el uso de su información para poder mantenerse a la vanguardia en el mercado y poder competir con otras empresas del sector.

Según el libro *Practical synthetic data generation: balancing privacy and the broad availability of data* [8] los datos sintéticos ofrecen dos beneficios principales:

1. Mayor eficiencia en la disponibilidad de datos, y
2. Mejora en los análisis realizados.

Para **Equifax**, ambos beneficios son valiosos, aunque inicialmente la eficiencia en la disponibilidad de datos tiene mayor peso. Como se verá posteriormente, la empresa ejerce un control total sobre el acceso a la información y los datos, ya que es necesario proteger su confidencialidad.

El objetivo general de este trabajo es diseñar un mecanismo para generar conjuntos de datos sintéticos estructurados, que contengan textos, y compararlos con sus contrapartes originales utilizando *deep learning*.

1.1. Estructura del documento

En este documento se presenta un estudio detallado del desarrollo de un mecanismo para generar conjuntos de datos sintéticos estructurados que incluyen textos, y se comparan con sus contra-

partes originales utilizando *deep learning*.

En la **Introducción** se establecerá el contexto del desafío, se describirán los objetivos a cumplir y se presentará la estructura del documento.

En el capítulo 2 se realizará una revisión de la literatura sobre técnicas de generación de datos sintéticos y *deep learning*.

En el capítulo 3 se detallará el diseño y la implementación del mecanismo para generar los conjuntos de datos sintéticos y su comparación con los conjuntos de datos originales.

En el capítulo 4 se presentarán los resultados de la evaluación comparativa entre los conjuntos de datos sintéticos y los originales.

Finalmente, en el capítulo 5 se presentarán las conclusiones y las posibles áreas de mejora del trabajo.

1.2. Equifax: contexto y limitaciones

Equifax es un buró de crédito multinacional, que en conjunto a Transunion y Experian componen los tres más grandes a nivel mundial. La compañía posee equipos de desarrollo en Estados Unidos, India, Irlanda y Chile. Asimismo está operativa en más de 24 países. El negocio principal de Equifax es la información/conocimiento extraído de la data recolectada, la que incluye información crediticia, servicios básicos, autos, mercadotecnia, Twitter, revistas, informaciones demográficas entre otros. El principal desafío tecnológico de la compañía es resguardar la privacidad. El segundo, realizar toda clase de predicciones relevantes para el mercado con los datos acumulados. Los datos son uno de los mayores, si no el mayor activo de la compañía.

Keying and Linking es el equipo de Equifax encargado de identificar entidades y relacionarlas dentro de los diferentes conjuntos de datos, esta labor debe ser aplicada a cada entidad dentro de la compañía y zonas geográficas. La tarea de la identificación de entidades, *entity resolution*, es el proceso de identificar que dos o más registros de información, que referencian a un único objeto en el mundo real, esto puede ser una persona, lugar o cosa. Por ejemplo, Bob Smith, Robert Smith, Robert S. podría referirse a la misma persona, lo mismo puede darse con una dirección. Es importante destacar que la información requerida para este equipo es de identificación personal (PII), categorizada y protegida con las mayores restricciones dentro de la compañía, de aquí el delicado uso que se dé a los registros y se prohíben el uso de datos reales en ambientes de desarrollo.

La propuesta actual se enmarca en la búsqueda de un método alternativo en la generación de data sintética utilizando inteligencia artificial. La data sintética es utilizada en las pruebas de nuevo software en ambientes no productivos en Equifax. Para el equipo de **Keying and Linking** y la compañía es importante la evaluación de los nuevos desarrollos, pero es aún más importante resguardar la privacidad y seguridad de los datos. Es por ello que la privacidad y calidad de estos datos es relevante.

Sobre la regulación y acceso directo a información personal legible, no enmascarada en Equifax. Esta se encuentra regulada y solo disponibles para proyectos categorizados como Protegidos. Estos proyectos están administrados por un equipo especializado en infraestructura, encargado de la seguridad y herramientas ofrecidas para dichos espacios de trabajo. Los permisos de acceso son supervisados y revisados periódicamente.

Equifax como AI-First Company, está en una evolución en búsqueda de ser precursora en inteligencia artificial, utilizando los datos almacenados durante más de un siglo y su asociación con Google, principal proveedor de servicios en la nube. El objetivo del año 2022, es poseer capacidades de entrenar modelos de Deep Learning usando las plataformas analíticas actuales administradas por Ignite, el producto seleccionado y está en proceso de implementación es Vertex AI. Equifax está en proceso de evaluación de empresas que generen data sintética con las condiciones que la organización requiere. Uno de los evaluados es Tonic IA <https://www.tonic.ai/>. Esto deja ver la relevancia que los datos sintéticos en los objetivos de Equifax a mediano plazo.

1.3. Objetivo

Objetivo General:

El objetivo general de este trabajo es establecer un mecanismo para la generación de conjuntos de datos sintéticos estructurados, los cuales incluyen texto, y proceder a compararlos con sus equivalentes originales.

Objetivos Específicos:

1. Utilización de modelos generativos capaces de producir nuevos conjuntos de datos sintéticos a partir de datos originales que contienen texto.
2. Evaluar y comparar las características de los conjuntos de datos sintéticos y originales en dos aspectos: propiedades estadísticas y nivel de privacidad, y sus distribuciones.

1.4. Estructura del documento

Capítulo 2 Revisión Bibliográfica:

Este capítulo proporciona una revisión bibliográfica que abarca tipos de datos, privacidad de datos y generación de datos sintéticos. Se discuten y resumen los diferentes tipos de datos, se subraya la importancia de la protección de datos, y se discuten los enfoques de generación de datos sintéticos.

Capítulo 3 Desarrollo:

Este capítulo detalla el proceso de desarrollo del estudio, incluyendo: **Conjuntos de datos**, Se describen detalladamente las bases de datos utilizadas, con una visión general de sus campos y características. **Computación y Software**, Se proporciona una descripción detallada de los recursos de hardware y software empleados. **Desarrollo del flujo de procesamiento**, Se ofrece una descripción completa del flujo de procesamiento implementado, basado en la metodología de Synthetic Data Vault (SDV). **Modelos de generación de datos**, Se presentan y describen los modelos de generación de datos tabulares y de texto utilizados y finalmente **Obtención de Métricas**, Se detalla la metodología empleada para obtener y calcular las métricas para la evaluación de los conjuntos de datos sintéticos.

Capítulo 4 Resultados:

Los resultados del estudio se presentan en este capítulo, dividido en dos secciones principales: King County y Económicos. En cada sección, se discuten detalladamente los resultados obtenidos para cada conjunto de datos.

Capítulo 5 Conclusiones y discusión:

Este capítulo se divide en tres secciones principales: **Conclusiones**, Se recapitula el objetivo del estudio y se discuten los hallazgos más significativos. **Limitaciones**, Se reconocen y discuten las limitaciones del estudio. Se presenta un ejemplo del uso de ChatGPT para ilustrar la relevancia de la generación de datos sintéticos. **Discusión**, Se discute sobre los modelos emergentes de generación de texto y la necesidad de futuros estudios en esta área, incluyendo la importancia de evaluar la privacidad.

Capítulo 2

Revisión Bibliográfica

Este capítulo establece las bases teóricas de nuestra investigación, proporcionando un análisis exhaustivo de la literatura existente sobre los tipos de datos, la privacidad de los datos y la generación de datos sintéticos. El objetivo es establecer un contexto para la investigación y una base para el desarrollo de las metodologías aplicadas en los capítulos siguientes.

2.1. Tipos de Datos

Los tipos de datos tienen diversas implicaciones en su generación, como su representación, almacenamiento y procesamiento. Los datos estructurados se presentan en la Tabla 2.1.

En 2012, IDC estimó que para 2020, más del 95 % de los datos serían no estructurados [9]. En un análisis posterior, Kiran Adnan y Rehan Akbar [10] encontraron que el texto es el tipo de dato no estructurado que más rápido crece en las publicaciones, seguido por la imagen, el video y finalmente el audio.

La Tabla 2.1 resume la lista que se encuentra en *Practical Statistics for Data Scientists* [11].

Tabla 2.1: Tipos de datos estructurados

| T | Sub tipo | Descripción | Ejemplos |
|---|------------|---|-----------------------------|
| | Numérico | Datos establecidos como números | - |
| | Continuo | Datos que pueden tomar cualquier valor en un intervalo | 3.14 metros, 1.618 litros |
| | Discreto | Datos que solo pueden tomar valores enteros | 1 habitación, 73 años |
| | Categorico | Datos que pueden tomar solo un conjunto específico de valores que representan un conjunto de categorías posibles. | - |
| | Binario | Un caso especial de datos categóricos con solo dos categorías de valores | 0/1, verdadero/falso |
| | Ordinal | Datos categóricos que tienen un ordenamiento explícito. | pequeña/ mediana/ grande |

2.2. Privacidad de Datos

La protección de la información es un aspecto fundamental en la generación de datos sintéticos. Aunque este aspecto puede no ser crucial cuando los datos corresponden a temas como recetas o automóviles, resulta esencial cuando se trata de información relacionada con individuos [11]. Por esta razón, el resguardo de la información es un tema de importancia para entidades como Equifax, que gestionan una gran cantidad de conjuntos de datos con contenido personal.

2.2.1. Tipo de datos a ser protegidos

Para identificar qué campos de datos son significativos desde el punto de vista de la privacidad, se puede recurrir a la definición resumida en la Tabla 2.2 del texto *Data privacy: Definitions and techniques* [12].

Tabla 2.2: Niveles de revelación y ejemplos

| Tipo de revelación | Descripción |
|------------------------------------|--|
| Identificadores | Atributos que identifican de manera única a individuos (por ejemplo, SSN, RUT, DNI). |
| Cuasi-identificadores (QI) | Atributos que, en combinación, pueden identificar a individuos, o reducir la incertidumbre sobre sus identidades (por ejemplo, fecha de nacimiento, género y código postal). |
| Atributos confidenciales | Atributos que representan información sensible (por ejemplo, enfermedad). |
| Atributos no confidenciales | Atributos que los encuestados no consideran sensibles y cuya divulgación es inofensiva (por ejemplo, color favorito). |

2.2.2. Tipos de riesgos de divulgación

Los tipos de divulgación definidos en *Practical Synthetic Data Generation* [11] están resumidos en la Tabla 2.3.

Tabla 2.3: Tipos de Riesgos de Divulgación y sus Descripciones

| Tipo de revelación | Descripción |
|---|--|
| Divulgación de identidad | Este riesgo se refiere a la posibilidad de que un atacante pueda identificar la información de un individuo a partir de los datos publicados, utilizando técnicas de filtrado para reducir las posibilidades hasta un solo individuo. |
| Divulgación de nueva información | Este riesgo comprende el riesgo de Divulgación de Identidad, y además, implica la adquisición de información adicional sobre el individuo a partir de los datos publicados. |
| Divulgación de Atributos | Este riesgo se da cuando, aunque no se pueda identificar a un individuo, se puede descubrir un atributo común en varios registros, lo que permite obtener información sensible acerca de un grupo de individuos. |
| Divulgación Inferencial | Este riesgo se refiere a la posibilidad de inferir información sensible a partir de los datos publicados, mediante el uso de técnicas de análisis estadístico o de aprendizaje automático. Por ejemplo, si después de filtrar todos los registros, el 80 % de los registros con las mismas características tienen cáncer, se podría inferir que el individuo buscado puede tener cáncer. |

Adicionalmente se deben establecer dos conceptos relevantes ante el análisis de revelación de información:

1. En términos prácticos, normalmente los datos sintéticos buscan tener cierta permeabilidad con respecto a la **Divulgación Inferencial**, ya que se quiere que estadísticamente sean similares. Además, se busca proteger la identidad de los individuos, pero esta no es la única condición, también se busca proteger aquellos atributos que pueden ser sensibles, como las enfermedades. A todo este conjunto se le denomina **Revelación de identidad significativa**. Es particularmente riesgoso por la posibilidad de discriminación hacia ciertos grupos que cumplen con los atributos criterio.
2. Los mismos atributos pueden tener más relevancia para ciertos grupos de la población que para otros. El ejemplo que se indica en [8] es que, debido a que el número de hijos igual a 2 es menos frecuente en una etnia que en otra (40 % en la primera y 10 % en la segunda), ese dato es más relevante en la segunda. Esto se debe a que es un factor que filtra mejor y, por lo

tanto, puede permitir un mejor conocimiento de ese grupo específico. A esto se le denomina **Definición de información ganada**.

2.2.3. Regulación de datos sintéticos

Debido a que los datos sintéticos son basados en datos reales, pueden ser afectos a las regulaciones de sobre protección de datos [11]. Los nuevos datos podrían ser afectos por:

1. Regulation (EU) 2016/679 of the European Parliament and of the Council [13], si el proceso de generación de datos sintéticos a menudo implica el uso de datos personales reales como entrada. En este caso, el GDPR sería relevante. Las organizaciones que utilicen datos personales para generar datos sintéticos deben garantizar que este proceso cumple con los principios del GDPR, como la minimización de datos (sólo se deben utilizar los datos necesarios) y la limitación de la finalidad (los datos sólo se deben utilizar para el propósito para el que se recogieron).
2. The California consumer privacy act: Towards a European-style privacy regime in the United States [14]
3. Health insurance portability and accountability act of 1996 [15]

2.3. Generación de Datos Sintéticos

Los datos sintéticos, aunque no son datos reales, se generan con la intención de preservar ciertas propiedades de los datos originales. La utilidad de los datos sintéticos se mide por su capacidad para servir como un sustituto efectivo de los datos originales [11]. Basándose en el uso de los datos originales, los datos sintéticos se pueden clasificar en tres categorías: aquellos que se basan en datos reales, los que no se basan en datos reales, y los híbridos.

- **Datos basados en datos reales:** utilizan modelos que aprenden la distribución de los datos originales para generar nuevos puntos de datos similares.
- **Datos no basados en datos reales:** utilizan conocimientos del mundo real. Por ejemplo, se podría formar un nombre completo seleccionando aleatoriamente un nombre y un apellido de un conjunto predefinido.
- **Híbridos:** estos combinan técnicas de imitación de distribución con algunos campos que no derivan de los datos reales. Esto puede ser especialmente útil cuando se intenta desacoplar las distribuciones de datos que podrían ser sensibles o generar discriminación, como la información sobre la etnia.

En la Tabla 2.1, se revisaron los datos estructurados. Si bien cada tipo puede tener muchas representaciones, por ejemplo, los datos continuos podrían considerarse como *float*, *datetime* o incluso intervalos personalizados, como de 0 a 1. Sobre estos datos estructurados, se pueden generar estructuras para unirlos.

Entre las estructuras más comunes se encuentran las matrices bidimensionales (datos tabulares) y los arreglos, que permiten matrices de muchas dimensiones e incluso estructuras complejas que pueden mezclar todas las estructuras previas.

Debido al objetivo, se detallan solo los modelos que permiten abordar la generación de datos tabulares y texto basados en datos reales.

2.3.1. Generación de datos tabulares

En la Tabla 2.4, se resumen las últimas publicaciones sobre generación de datos tabulares, indicando la fecha de publicación y si se puede acceder al código fuente o no, a febrero de 2023.

Tabla 2.4: Estado del arte en generación de datos tabulares

| Nombre | Fecha ↓ | Código |
|--|------------|--------|
| REaLTabFormer: Generating Realistic Relational and Tabular Data using Transformers [16] | 2023-02-04 | Github |
| PreFair: Privately Generating Justifiably Fair Synthetic Data [17] | 2022-12-20 | |
| GenSyn: A Multi-stage Framework for Generating Synthetic Microdata using Macro Data Sources [18] | 2022-12-08 | Github |
| TabDDPM: Modelling Tabular Data with Diffusion Models [19] | 2022-10-30 | Github |
| Language models are realistic tabular data generators [20] | 2022-10-12 | Github |
| Ctab-gan+: Enhancing tabular data synthesis [21] | 2022-04-01 | Github |
| Ctab-gan: Effective table data synthesizing [22] | 2021-05-31 | Github |
| Modeling Tabular data using Conditional GAN [23] | 2019-10-28 | Github |
| Smote: synthetic minority over-sampling technique [24] | 2002-06-02 | Github |

2.3.2. Generación de texto en base de datos tabulares

En la Tabla 2.5, se listan las publicaciones en la generación de texto a partir de datos estructurados.

Tabla 2.5: Estado del arte en generación de textos en base a datos

| Nombre | Fecha ↓ | Modelo Base |
|--|------------|-------------|
| Table-To-Text generation and pre-training with TABT5 [25] | 2022-10-17 | T5 |
| Text-to-text pre-training for data-to-text tasks [26] | 2021-07-09 | T5 |
| TaPas: Weakly supervised table parsing via pre-training [27] | 2020-04-21 | Bert |

El estado del arte en la generación de texto a partir de datos tabulares es TabT5. Es importante notar que la tabla mezcla los enfoques de *Table-To-Text* y *Data-To-Text*. Aunque ninguna de las publicaciones incluye código asociado, no es necesario, ya que utilizan modelos abiertos como base (T5 y Bert). Lo más relevante en estos casos es el proceso de *fine-tuning*. Para completar la tarea de generar nuevos textos a partir de información inicial, esta información debe ser codificada para poder ser procesada por el modelo utilizado.

La diferencia entre *Table-To-Text* y *Data-To-Text* radica en el formato de información de entrada. en *Table-To-Text* es una tabla con multiples filas y en *Data-To-Text* corresponde a un solo objeto con sus propiedades. A continuación ejemplos de entradas de los modelos.

En los siguientes ejemplos, se utilizará la Tabla 2.6 para ilustrar cómo se puede utilizar para generar texto utilizando los modelos de *fine-tuning* mencionados anteriormente. Esta tabla representa información sobre películas, incluyendo el nombre de la película, el director, el año de lanzamiento y el género, y se utilizará para generar preguntas y respuestas a partir de la información proporcionada.

Tabla 2.6: Ejemplo de tabla de entrada

| Nombre de la Película | Director | Año de Lanzamiento | Género |
|--------------------------------|--------------|--------------------|-----------------|
| Star Wars: Una Nueva Esperanza | George Lucas | 1977 | Ciencia ficción |

Para los modelos TabT5 y TaPas, se utiliza el mismo preprocesamiento para convertir la tabla de entrada en una pregunta/tarea y respuesta [25], [27]. En este ejemplo, la tabla representa información sobre películas, y se utiliza para generar una pregunta y respuesta sobre el director de la película "Star Wars: Una Nueva Esperanza". La pregunta se construye a partir de la información de la tabla, y la respuesta se espera que sea el nombre del director. Una vez que se ha generado la pregunta y la respuesta, se puede utilizar un modelo de *fine-tuning* como TabT5 o TaPas para generar texto a partir de la información proporcionada. En resumen, el proceso de generación de texto a partir de datos tabulares implica la conversión de información tabular en preguntas y respuestas, y luego la utilización de modelos de *fine-tuning* para generar texto a partir de estas preguntas y respuestas.

Input

Table: Películas Nombre de la Película | Director | Año de Lanzamiento | Género Star Wars: Una Nueva Esperanza | George Lucas | 1977 | Ciencia ficción

Pregunta

¿Qué director dirigió la película Star Wars: Una Nueva Esperanza?

Respuesta esperada

George Lucas

En cambio, el modelo *Text-to-text pre-training for data-to-text tasks* [26] utiliza una entrada diferente, que consiste en una serie de tuplas que representan las propiedades de la entidad y sus valores correspondientes. Se espera que el modelo identifique la tupla relevante y genere una pregunta y respuesta correspondientes. Una vez generada la pregunta y respuesta, se puede utilizar el modelo de fine-tuning correspondiente para generar texto a partir de ellas. En conclusión, la generación de texto a partir de datos tabulares implica una conversión adecuada de la información de entrada en un formato apropiado para cada modelo, la identificación de la pregunta o tarea relevante y la utilización del modelo correspondiente para generar el texto resultante.

Input

<Star Wars: Una Nueva Esperanza, Director, George Lucas>,
<Star Wars: Una Nueva Esperanza, Año de Lanzamiento, 1977>,
<Star Wars: Una Nueva Esperanza, Género, Ciencia ficción>

Pregunta

¿Qué director dirigió la película Star Wars: Una Nueva Esperanza?

Respuesta esperada

George Lucas

2.4. Métricas de evaluación

Es importante destacar que no todas estas métricas son aplicables a todos los tipos de datos y modelos, y que la selección de las métricas a utilizar debe ser cuidadosamente considerada en función de las necesidades y objetivos específicos de cada caso de estudio. A continuación presentan algunas de las posibles a considerar para medir la similitud, privacidad y utilidad en la evaluación de los conjuntos de datos sintéticos generados.

- **SDMetrics Score:** Este es un promedio de las métricas de 'Quality Report' y 'Diagnostic Report' que varían de 0 a 1. El 'Quality Report' se refiere a las formas de las columnas (Column Shapes) y las tendencias entre pares de columnas (Column Pair Trends). El 'Diagnostic Report' se refiere a la síntesis (Synthesis), cobertura (Coverage) y límites (Boundaries).
- **Reporte diagnóstico:** Se refiere a un conjunto de métricas que incluyen Síntesis, Cobertura y Límites. La síntesis verifica la singularidad de los datos sintéticos, la cobertura verifica si los datos sintéticos cubren todo el espectro de valores y los límites verifican si los datos sintéticos respetan los límites de los datos reales.
- **Reporte de calidad:** En este informe se revisan dos componentes, las formas de las columnas (Column Shapes) y las tendencias entre pares de columnas (Column Pair Trends). La forma de las columnas mide la capacidad de los datos sintéticos para capturar la distribución general de cada columna en los datos reales. Las tendencias entre pares de columnas describen cómo varían en relación entre sí.
- **Correlación:** En esta sección se utiliza la correlación de Pearson en columnas numéricas para generar una representación visual en un mapa de calor.
- **Privacidad:** Esta sección cubre dos métricas, Distancia al Registro más Cercano (DCR) y Relación de Distancia del Vecino más Cercano (NNDR). DCR cuantifica la distancia euclidiana entre cualquier registro sintético y su vecino real más cercano. NNDR mide la relación entre la distancia euclidiana al vecino real más cercano y al segundo vecino real más cercano de cualquier registro sintético.
- **Propiedades estadísticas:** Esta sección presenta un conjunto de propiedades estadísticas como el número de observaciones, elementos faltantes, media, mediana, moda, entre otros.

2.4.1. SDMetrics Score

En la Tablas incluidas en la sección *SDMetrics Score* se expresa en su última columna un promedio de *Quality Report* de SDMetric. Adicionalmente se incluyen las metricas calculadas en *Diagnostic Report*. Todas las metricas expresadas en este apartado van del 0 al 1, ya que las métricas promediadas van en este rango tambien. Detalles de cada metricas se podrán encontrar en las siguientes subsecciones 2.4.2 y 2.4.3.

$$Score = \frac{\text{Column Pair Trends} + \text{Column Shapes}}{2}$$

El *Quality Report* captura las formas de las columnas (*Column Shapes*) y las tendencias entre pares de columnas (*Column Pair Trends*). La forma de una columna describe su distribución general, y la tendencia entre dos columnas describe cómo varían en relación entre sí. Es importante tener en cuenta que las distribuciones de orden superior de 3 o más columnas no se incluyen en el *Quality Report*. Detalles de cada métricas se podrán encontrar en Sección 2.4.3.

Por otro lado, el *Diagnostic Report* mide la síntesis (*Synthesis*), cobertura (*Coverage*) y límites (*Boundaries*). La síntesis se refiere a si los datos sintéticos son únicos o si copian las filas reales. La cobertura verifica si los datos sintéticos cubren el rango de valores posibles. Los límites, por su parte, comprueban si los datos sintéticos respetan los límites establecidos por los datos reales. Al igual que en el *Quality Report*, se aplican métricas basadas en los tipos de columnas y se promedian para obtener una puntuación final. Detalles de cada métricas se podrán encontrar en Sección 2.4.2.

Tabla 2.7: Ejemplo de Métricas de Rendimiento para Diversos Modelos

| Model Name | Column Pair Trends | Column Shapes | Coverage | Boundaries | Synthesis | Score |
|------------|--------------------|-----------------|-----------------|-----------------|-----------------|-----------------|
| tddpm_mlp | 9.73e-01 | 9.84e-01 | 7.91e-01 | 1.00e+00 | 9.91e-01 | 9.79e-01 |
| smote-enc | 9.62e-01 | 9.76e-01 | 6.67e-01 | 1.00e+00 | 9.24e-01 | 9.69e-01 |
| copulagan | 7.46e-01 | 7.90e-01 | 6.80e-01 | 1.00e+00 | 1.00e+00 | 7.68e-01 |

2.4.2. Reporte diagnóstico

La evaluación se lleva a cabo mediante una serie de métricas que se agrupan en: *Synthesis*, *Coverage*, y *Boundaries*.

Synthesis emplea *NewRowSynthesis* en SDMetrics, la cual verifica la singularidad de los datos sintéticos, esto es, si los datos sintéticos copian filas completas de los datos reales o si son capaces de generar nuevas filas únicas. Para su cálculo, en primer lugar, se obtiene un conjunto único de filas tanto para los datos reales como para los sintéticos. Posteriormente, se calcula el número de filas únicas que se encuentran en los datos sintéticos pero no en los reales. Finalmente, este número se divide por el número total de filas únicas en los datos sintéticos para obtener la probabilidad de generar una nueva fila única. En lo que respecta a la puntuación, un valor de 1.0 indica que todos los datos sintéticos y reales son idénticos, mientras que un valor de 0.0 señala que todos los datos sintéticos y reales son completamente diferentes.

La métrica *RangeCoverage* se emplea para determinar si una columna sintética cubre todo el espectro de valores presentes en una columna real. Esta métrica es compatible con datos numéricos continuos y de tiempo/fecha, los cuales se transforman en valores numéricos. Los valores vacíos son ignorados por esta métrica. El cálculo de la puntuación se realiza de acuerdo con la siguiente fórmula, donde r y s representan las columnas real y sintética respectivamente:

$$\text{score} = 1 - \left[\max \left(\frac{\min(s) - \min(r)}{\max(r) - \min(r)}, 0 \right) + \max \left(\frac{\max(r) - \max(s)}{\max(r) - \min(r)}, 0 \right) \right]$$

La métrica *Boundaries* se emplea para evaluar si una columna sintética respeta los valores mínimos y máximos de la columna real, devolviendo el porcentaje de filas sintéticas que se mantienen dentro de los límites reales. Esta métrica se aplica a los datos numéricos, transformando los valores de fecha y hora en valores numéricos, e ignorando los valores ausentes. Un valor de 0.9 en esta métrica significa que el 10 % de los registros no respeta los límites de los datos reales.

2.4.3. Reporte de calidad

El *Quality Report* en SDMetrics consta de dos componentes principales: *Column Shapes* y *Column Pair Trends*. Existe un tercero, pero que solo se utiliza cuando se genera varios conjuntos de datos relacionados.

El primero, *Column Shapes*, mide la capacidad de los datos sintéticos para capturar la forma de cada columna en los datos reales. La forma de una columna describe su distribución general. Para realizar esta evaluación, se utilizan dos métricas basadas en los tipos de dato de la columna. Por ejemplo, para las columnas numéricas y de fecha y hora, se utiliza la métrica *KSComplement*, mientras que para las columnas categóricas y booleanas, se utiliza la métrica *TVComplement*.

El *KSComplement* utiliza la estadística de Kolmogorov-Smirnov para calcular la similitud entre las columnas reales y sintéticas. En particular, se convierte la distribución numérica en su función de distribución acumulativa, CDF por sus siglas en inglés de *Cumulative distribution function*, y la estadística de KS es la diferencia máxima entre las dos CDFs. En SDMetrics, se invierte la estadística: *KSComplement* devuelve $1 - (\text{estadística de KS})$ para que una puntuación más alta signifique una mayor calidad. En la Figura 2.1 se puede observar una representación grafica del calculo.

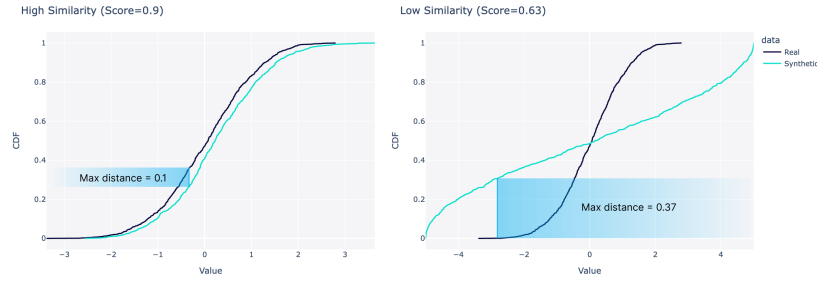


Figura 2.1: Ejemplo de SDMetric en calculo de CDF [28]

TVComplement calcula la distancia de variación total, conocida como TVD por su acrónimo en inglés de *Total Variation Distance*, entre las columnas reales y sintéticas. Para lograr esto, en primer lugar estima la frecuencia de cada valor de categoría y la expresa en términos de probabilidad. La estadística TVD compara las diferencias en estas probabilidades, siguiendo la fórmula:

$$\delta(R, S) = 2 \sum_{\omega \in \Omega} |R_{\omega} - S_{\omega}|$$

Aquí, ω representa todas las posibles categorías en una columna, Ω . Por otro lado, R y S hacen referencia a las frecuencias reales y sintéticas para dichas categorías, respectivamente. *TVComplement* retorna $1 - \text{TVD}$ de modo que una puntuación más alta denote una calidad superior.

CorrelationSimilarity es una métrica únicamente aplicable a variables numéricas; las fechas son transformadas a números para este fin. Esta métrica calcula la correlación utilizando los coeficientes de Pearson y Spearman. El score se obtiene mediante la siguiente fórmula, donde $S_{A,B}$ representa la correlación del conjunto sintético y $R_{A,B}$ la correlación del conjunto real.

$$\text{score} = 1 - \frac{|S_{A,B} - R_{A,B}|}{2}$$

2.4.4. Correlación

En esta sección, se emplea la métrica de correlación de Pearson en las columnas numéricas, transformando las fechas en números e ignorando los valores ausentes, con el propósito de generar una representación visual en un mapa de calor para su análisis.

2.4.5. Privacidad

La Distancia al Registro más Cercano (DCR, por sus siglas en inglés) se emplea para cuantificar la distancia euclidiana entre cualquier registro sintético y su vecino real más próximo. Idealmente, a medida que la DCR se incrementa, el riesgo de violación de la privacidad disminuye. Adicionalmente, se estima el percentil 5 de esta métrica para proporcionar una medición robusta del riesgo de privacidad [22].

Relación de Distancia del Vecino más Cercano (NNDR, por sus siglas en inglés). La NNDR mide la relación entre la distancia euclidiana para el vecino real más cercano y el segundo vecino real más cercano a cualquier registro sintético correspondiente. NNDR es un concepto comúnmente utilizado en el área de visión por computadora para el emparejamiento de descriptores de imagen locales. Platzer [29] introduce esta idea para evaluar la privacidad de los datos sintéticos. Esta relación está dentro del intervalo $[0, 1]$. Valores más altos indican una mejor privacidad. Los valores bajos de NNDR entre datos sintéticos y reales pueden revelar información sensible del registro de datos reales más cercano. La Fig. 6 ilustra el caso. Tenga en cuenta que también se calcula aquí el percentil 5 [22].

2.4.6. Propiedades estadísticas

Tabla 2.8: Listado de conjunto estadísticos

| Nombre | abrev. | Descripción |
|---------------------------------|---------|---|
| Numero de observaciones | nobs | Cuenta de elementos |
| Vacios | missing | Numero de elementos vacios |
| Media | mean | La suma de todos los valores dividido por el número total de valores |
| Mediana | median | El valor que se encuentra en el centro de un conjunto de datos ordenados de menor a mayor. Es decir, la mitad de los valores son mayores que la mediana y la otra mitad son menores |
| Moda | mode | El valor que aparece con mayor frecuencia en un conjunto de datos |
| Mínimo | min | El valor más pequeño en un conjunto de datos |
| Máximo | max | El valor más grande en un conjunto de datos |
| Continúa en la siguiente página | | |

| Nombre | abrev. | Descripción |
|---|----------------------|--|
| Percentil | 0.1 %, ... 99.9 % | El valor tal que P (25 o 75) por ciento de los datos son menores que él, y el restante (100 - P) por ciento son mayores. Cuando P = 50, el percentil es la mediana |
| Media Truncada | tmean | El promedio de todos los valores, una vez que se han eliminado un porcentaje de los valores más bajos y un porcentaje de los valores más altos |
| Varianza | var | La medida de cuán dispersos están los valores en un conjunto de datos. Es la suma de los cuadrados de las desviaciones desde la media dividido por n - 1, donde n es el número de valores |
| Desviación Estándar | std | La raíz cuadrada de la varianza |
| Error estándar de la media | std_err | Medida de la variación de las muestras de la media poblacional. |
| Desviación Absoluta Media | mad | La media de los valores absolutos de las desviaciones desde la media |
| Desviación Mediana Absoluta Normalizada | mad_normal | Medida de dispersión basada en la mediana que normaliza la desviación mediana absoluta utilizando la constante de escala 1.4826 para la distribución normal. |
| Rango | range | La diferencia entre el valor más grande y el valor más pequeño en un conjunto de datos |
| Tablas de Frecuencia | top5_freq | Un método para resumir los datos al contar cuántas veces ocurre cada valor en un conjunto de datos |
| Probabilidad | top5_prob | La medida de la posibilidad de que un evento ocurra. Se establece como el número de ocurrencias de un valor dividido por el número total de ocurrencias |
| Tabla de Contingencia | cont_table | Una tabla que muestra la distribución conjunta de dos o más variables categóricas |
| Comparación de Modelos Predictivos Multivariantes | cross_pred | Un método para comparar varios modelos predictivos que involucran múltiples variables. Implica la construcción de modelos separados para cada variable objetivo y comparar la curva ROC (Receiver Operating Characteristic) para cada modelo |
| Kullback-Leibler | kl | Una medida de la divergencia entre dos distribuciones de probabilidad |
| Log-Cluster | log_cluster | Un método para evaluar la calidad de los conjuntos de datos sintéticos que compara la estructura de los conjuntos de datos reales y sintéticos mediante el uso de clustering |
| Continúa en la siguiente página | | |

| Nombre | abrev. | Descripción |
|---------------------------------|------------------|---|
| Cross-Classification | cross_class | Un método para evaluar la calidad de los conjuntos de datos sintéticos que compara la precisión de los modelos predictivos construidos a partir de los conjuntos de datos reales y sintéticos |
| Intervalo de confianza superior | upper_ci | Valor máximo del intervalo de confianza alrededor de la media. |
| Intervalo de confianza inferior | lower_ci | Valor mínimo del intervalo de confianza alrededor de la media. |
| Rango intercuartil | iqr | Diferencia entre el tercer y el primer cuartil, mide la dispersión de los datos. |
| Rango intercuartil normalizado | iqr_normal | Rango intercuartil dividido por la media, para normalizar los valores. |
| Coeficiente de variación | coef_var | Relación entre la desviación estándar y la media, mide la dispersión relativa de los datos. |
| Sesgo | skew | Medida de la asimetría de la distribución de los datos alrededor de la media. |
| Curtosis | kurtosis | Medida de la "pesadez" de las colas de la distribución de los datos. |
| Test de Jarque-Bera | jarque_bera | Estadístico que mide si los datos tienen la asimetría y la curtosis correspondiente a una distribución normal. |
| p-valor del test de Jarque-Bera | jarque_bera_pval | Probabilidad de que los datos sean normalmente distribuidos según el test de Jarque-Bera. |

Capítulo 3

Desarrollo

La generación de datos sintéticos es una práctica en rápida evolución con implicaciones significativas para el campo de la inteligencia artificial. Este capítulo se centra en proporcionar una visión detallada del desarrollo y la implementación este proceso, con el fin de la generación de dichos datos.

En primer lugar, se examinan los recursos disponibles que forman la base de este estudio. Se describen dos conjuntos de datos principales: uno derivado de la información de los precios de las viviendas de King County y otro de Economicos.cl, un portal chileno de anuncios clasificados. Además, se proporciona información detallada sobre el equipo informático y el software empleado en este estudio.

El núcleo de este capítulo se centra en la explicación del desarrollo de un proceso de generación de datos sintéticos. Este proceso se basa en la metodología propuesta por Synthetic Data Vault (SDV) y se extiende para incluir etapas intermedias de almacenamiento de modelos y resultados de evaluación. Se proporciona una descripción detallada de cada paso del proceso, desde la creación de metadatos hasta la generación del conjunto de datos sintéticos.

Para concluir, se abordan los métodos para la evaluación de los conjuntos de datos sintéticos generados. Esto incluye la descripción de cómo se obtienen y calculan las métricas, con un ejemplo de cómo calcular y visualizar el *score* promedio para una selección específica de modelos. Este capítulo prepara el terreno para un análisis profundo de los resultados obtenidos a través de esta metodología, que se presentará en los capítulos siguientes.

3.1. Recursos disponibles

3.1.1. Conjuntos de datos

A continuación se describen y detallan las bases de datos utilizadas en los experimentos.

King County

La base de datos de King County [30] contiene notificación sobre precios de venta y características de 21,613 viviendas en Seattle y King County de los años 2014 y 2015. La base incluye datos como el número de habitaciones, el número de baños, la superficie del terreno y la superficie construida, así como detalles sobre la ubicación de la propiedad, como la latitud y la longitud. Este paquete de datos es comúnmente utilizado para tareas de regresión y predicción de precios de viviendas. Sus campos se describen en la Tabla 3.1.

Tabla 3.1: Conjunto de datos King County

| Variable | Descripción |
|------------|--|
| id | Identificación |
| date | Fecha de venta |
| price | Precio de venta |
| bedrooms | Número de dormitorios |
| bathrooms | Número de baños |
| sqft_liv | Tamaño del área habitable en pies cuadrados |
| sqft_lot | Tamaño del terreno en pies cuadrados |
| floors | Número de pisos |
| waterfront | '1' si la propiedad tiene vista al mar, '0' si no |
| view | Índice del 0 al 4 de la calidad de la vista de la propiedad |
| condition | Condición de la casa, clasificada del 1 al 5 |
| grade | Clasificación por calidad de construcción que se refiere a los tipos de materiales utilizados y la calidad de la mano de obra. Los edificios de mejor calidad (grado más alto) cuestan más construir por unidad de medida y tienen un valor más alto. Información adicional en: KingCounty |
| sqft_above | Pies cuadrados sobre el nivel del suelo |
| sqft_basmt | Pies cuadrados debajo del nivel del suelo |
| yr_built | Año de construcción |
| yr_renov | Año de renovación. '0' si nunca se ha renovado |
| zipcode | Código postal de 5 dígitos |
| lat | Latitud |
| long | Longitud |
| sqft_liv15 | Tamaño promedio del espacio habitable interior para las 15 casas más cercanas, en pies cuadrados |
| sqft_lot15 | Tamaño promedio de los terrenos para las 15 casas más cercanas, en pies cuadrados |
| Shape_leng | Longitud del polígono en metros |
| Shape_Area | Área del polígono en metros |

Económicos

Economicos.cl es un portal web chileno que se especializa en la publicación de anuncios clasificados en línea, enfocándose en las categorías de bienes raíces, vehículos, empleos, servicios y

productos variados. La base de datos se originó de un *Web Scraping* ejecutado en 2020, y contiene 22.059 observaciones.

Tabla 3.2: Base de datos Economicos.cl

| Variable | Descripción |
|------------------|--|
| url | URL de la publicación |
| Descripción | Detalles de la publicación |
| price | Valor de venta, en dólares, UF o pesos |
| property_type | Clase de propiedad: Casa, Departamento, etc. |
| transaction_type | Clase de transacción Arriendo, Venta |
| state | Región de la publicación |
| county | Comuna de la publicación |
| publication_date | Fecha de la publicación |
| rooms | Cantidad de dormitorios |
| bathrooms | Cantidad de baños |
| m_built | Extensión del área habitable en metros cuadrados |
| m_size | Extensión del terreno en metros cuadrados |
| source | Medio de la publicación |
| title | Título de la publicación |
| address | Dirección de la publicación |
| owner | Publicador |
| _price | Valor convertido a UF del día de la publicación |

3.1.2. Computación y Software

Para efectuar los experimentos, se recurrió a un equipo informático con las especificaciones técnicas detalladas en la Tabla 3.3. El procesador seleccionado fue un AMD Ryzen 9 7950X 16-Core Procesadores, complementado con cuatro módulos de 32 GB para sumar una memoria total de 128 GB DDR5. La tarjeta gráfica incorporada fue una NVIDIA GeForce RTX 4090, y el equipo contó con dos discos duros de 500 GB SSD. El uso de un sistema con estas características garantizó una ejecución eficaz de los modelos de generación de datos, asegurando la viabilidad de los experimentos. Cabe resaltar que la selección de los componentes del equipo se realizó de manera meticulosa para garantizar que los resultados obtenidos no se vieran afectados por una capacidad de hardware limitada.

En lo que respecta al software, se empleó el sistema operativo Ubuntu 20.04.2 LTS y se utilizó el lenguaje de programación Python 3.10 para la implementación de los modelos de generación de datos. Se recurrió a diversas bibliotecas, incluyendo DVC, SDV y PyTorch, cuya lista completa está disponible en el repositorio en Github. La elección de estas herramientas estuvo guiada por su compatibilidad con el modelo Tddpm, el cual fue empleado en algunos de los experimentos.

Tabla 3.3: Computador Usado

| Componente | Descripción |
|-----------------|-------------------------------------|
| Procesador | AMD Ryzen 9 7950X 16-Core Processor |
| Memoria RAM | 128 GB DDR5 |
| Tarjeta gráfica | NVIDIA GeForce RTX 4090 |
| Disco duro | 1 TB SSD |

Con el objetivo de asegurar la reproducibilidad, se implementó *devcontainer*, que configura el entorno de desarrollo y pruebas mediante una imagen replicable de *Docker*. Los experimentos pueden ser reproducidos utilizando el contenedor descrito en el repositorio y el Código en el Anexo A.2.

El código fuente de los modelos destinados a la generación de datos, así como los scripts para el análisis y la representación gráfica de los resultados, se encuentran disponibles en un repositorio público de Github: [gvillarroeel/synthetic-data-for-text](https://github.com/gvillarroeel/synthetic-data-for-text). Se requiere el uso de DVC para la descarga de datos desde un directorio compartido en Google Drive.

3.2. Desarrollo del flujo de procesamiento

En las siguientes secciones se detalla el flujo de procesamiento implementado para la generación de nuevos datos sintéticos. Este flujo se inspira en el propuesto por Synthetic Data Vault (SDV), incorporando algunas modificaciones para preservar etapas intermedias.

SDV es un ecosistema de bibliotecas para la generación de datos sintéticos que facilita a los usuarios aprender de bases de datos unidimensionales, multidimensionales y de series temporales, para posteriormente generar nuevos datos sintéticos que mantengan las mismas propiedades estadísticas y el mismo formato que las bases de datos originales. Para conseguir esto, SDV emplea diversas técnicas, como modelos generativos y redes neuronales, con el fin de aprender la distribución subyacente de los datos y generar nuevos datos que sigan dicha distribución [31], [32].

A continuación, se explica el proceso de generación de datos sintéticos para una base de datos unidimensional utilizando la biblioteca Synthetic Data Vault (SDV), seguido de las modificaciones introducidas para expandir el proceso e incorporar nuevos modelos.

En la Tabla 3.1 se muestran los pasos necesarios para generar un conjunto de datos sintéticos utilizando SDV:

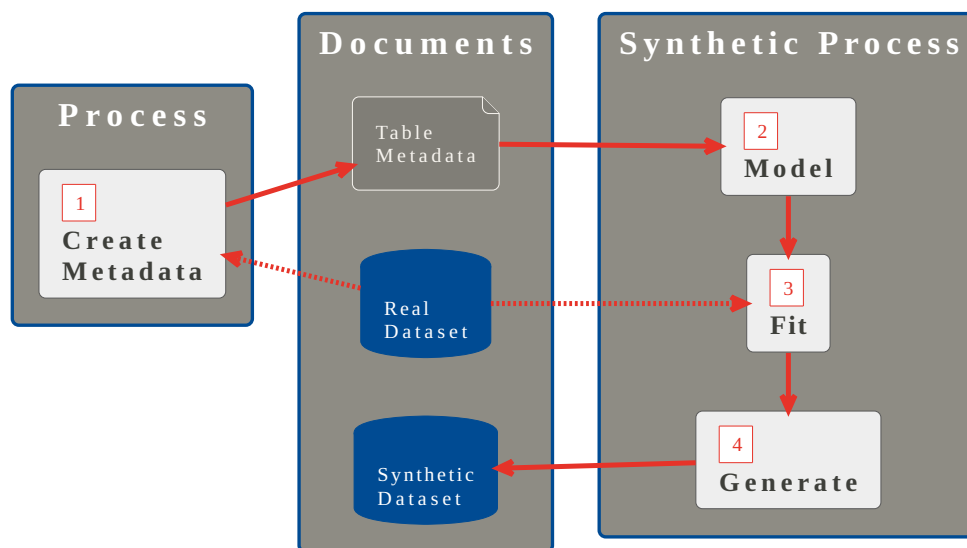


Figura 3.1: Proceso para generar datos sintéticos con SDV

1. **Creación de Metadatos:** Se elabora un diccionario que define los campos del conjunto de datos y los tipos de datos que contiene. Esto le permite a SDV aprender la estructura del conjunto de datos original y utilizarla para generar nuevos datos sintéticos con la misma estructura.
2. **Creación del Modelo:** Se selecciona el modelo de generación de datos a utilizar. SDV proporciona varios modelos, entre ellos GaussianCopula, CTGAN, CopulaGAN y TVAE, que se adaptan a distintos tipos de datos y distribuciones.
3. **Entrenamiento del Modelo:** El modelo seleccionado se entrena con el conjunto de datos original para aprender sus distribuciones y patrones estadísticos.

4. **Generación del Conjunto de Datos Sintéticos:** Con el modelo ya entrenado, se generan nuevos datos sintéticos que mantienen la misma estructura y características estadísticas que el conjunto original. Este nuevo conjunto de datos puede ser empleado para diversas aplicaciones, como pruebas de software o análisis de datos sensibles.

Es crucial señalar que el proceso de generación de datos sintéticos con SDV es escalable y puede aplicarse a bases de datos unidimensionales, multidimensionales y de series temporales. Adicionalmente, en este proyecto se introdujeron ciertas modificaciones al flujo para expandir el proceso y facilitar la incorporación de nuevos modelos.

En el proceso extendido de generación de datos sintéticos con SDV, se introducen dos nuevas etapas para permitir el almacenamiento de los modelos intermedios y los resultados de la evaluación. El proceso completo se ilustra en la Figura 3.2 y comprende los siguientes pasos:

1. **Creación de Metadatos:** Se elabora un diccionario que define los campos del conjunto de datos y los tipos de datos que contiene.
2. **Creación del Modelo:** Se selecciona el modelo a utilizar. SDV permite elegir entre GaussianCopula, CTGAN, CopulaGAN y TVAE.
3. **Entrenamiento del Modelo:** El modelo seleccionado se entrena con el conjunto de datos original para aprender sus distribuciones.
4. **Guardado del Modelo:** El modelo entrenado se almacena en un archivo para su uso posterior.
5. **Generación del Conjunto de Datos Sintéticos:** Se genera un nuevo conjunto de datos utilizando el modelo entrenado.
6. **Evaluación y Guardado de Métricas:** Se evalúa el conjunto de datos sintético generado y se almacenan las métricas, como la correlación, el error absoluto medio y el error cuadrático medio.

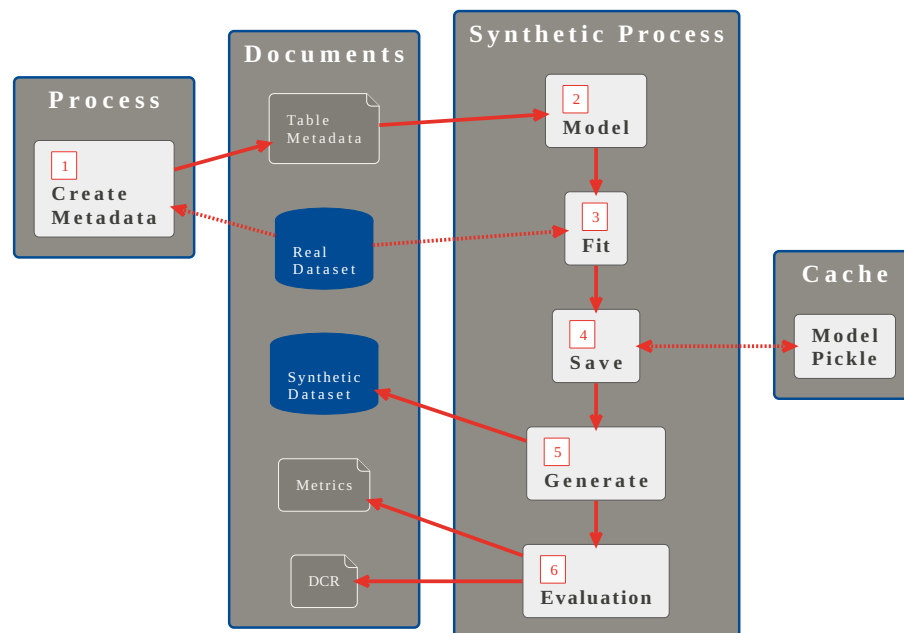


Figura 3.2: Proceso para generar datos sintéticos completo

Con estas nuevas etapas, se pueden guardar los modelos intermedios y los resultados de la evaluación, lo que permite una mayor flexibilidad en el proceso y la capacidad de utilizar los modelos y los resultados en posteriores experimentos.

3.3. Modelos de generación de datos

Los modelos de generación de datos tabulares se fundamentan en la metodología propuesta por *Synthetic Data Vault* (SDV), mientras que los modelos de generación de texto utilizan la biblioteca Hugging Face para cargar, realizar *fine-tuning* con nuevas tareas y evaluar el modelo basado en mT5.

3.3.1. Modelos para datos tabulares

Para que un modelo sea compatible con SDV, debe implementar los siguientes métodos:

1. **cargar** (load): Carga el modelo desde un archivo.
2. **entrenar** (fit): Entrena el modelo, tomando como entrada un dataframe de pandas.
3. **guardar** (save): Almacena el modelo en un archivo.
4. **muestrear** (sample): Genera un conjunto de nuevos registros utilizando el modelo entrenado.

Como consideración adicional, se aconseja llevar a cabo el proceso mediante un script en lugar de un cuaderno Jupyter, dado que se ha observado que el cuaderno puede encontrar problemas con algunos modelos debido a restricciones de memoria. A continuación, se especifican los pasos para la ejecución del proceso:

1. Generar un archivo de configuración que contenga la información requerida para la generación de datos sintéticos, como la ruta del conjunto de datos original y la configuración de los modelos a emplear.
2. Crear un script que cargue la configuración, ejecute el proceso de generación de datos sintéticos y almacene el conjunto de datos sintético resultante.
3. Poner en marcha el script creado en el paso previo.

De esta forma, es posible automatizar el proceso de generación de datos sintéticos y aprovechar una mayor capacidad de procesamiento, lo que puede mejorar el rendimiento del proceso y reducir los tiempos de ejecución.

La clase *Synthetic* es una implementación que permite configurar los modelos a utilizar en el proceso de generación de datos sintéticos. Esta clase encapsula los métodos comunes de los modelos, como *load*, *fit*, *save* y *sample*, lo que permite una configuración general de las entradas y la selección de modelos.

En el ejemplo presentado en el Código 1, se crea una instancia de la clase *Synthetic* utilizando un pandas dataframe previamente pre procesado. Se especifican las columnas que se considerarán como categorías, las que se considerarán como texto y las que se excluirán del análisis. Además, se indica el directorio donde se almacenarán los archivos temporales, se seleccionan los modelos

a utilizar, se establece el número de registros sintéticos deseados y se define una columna objetiva para realizar pruebas con aprendizaje automático y estratificar los conjuntos parciales de datos que se utilizarán. De esta manera, se configura de forma flexible el proceso de generación de datos sintéticos según las necesidades específicas del usuario.

```

45     syn = Synthetic(df_converted,
46                     id="url",
47                     category_columns=category_columns,
48                     text_columns=("description", "price", "title", "address", "owner",),
49                     exclude_columns=tuple(),
50                     synthetic_folder = "../datasets/economicos/synth",
51                     models=['copulagan', 'tvae', 'gaussiancopula', 'ctgan', 'smote-enc'],
52                     n_sample = df.shape[0],
53                     target_column="_price"
54     )

```

Código 1: Instanciando clase Synthetic

La Tabla 3.4 presenta las opciones para la instancia de la clase *Synthetic*:

Tabla 3.4: Variables de entrada para *Synthetic*

| Variable | Descripción |
|------------------|---|
| df | Pandas DataFrame a utilizar |
| Id | Nombre de la columna a ser usada como identificadora |
| category_columns | Listado de columnas categóricas |
| text_columns | Listado de columnas de texto |
| exclude_columns | Listado de columnas que deben ser excluidas |
| synthetic_folder | Carpeta donde se guardarán los documentos intermedios y finales |
| models | Listado de modelos a utilizar |
| n_sample | Número de registros a generar |
| target_column | Columna a utilizar como objetivo para modelos de <i>machine learning</i> en las evaluaciones y separación cuando se deba estratificar los campos. |

En la Tabla 3.5 se detallan los modelos actualmente soportados en la clase *Synthetic* y su origen.

Tabla 3.5: Modelos Tabulares Soportados

| Nombre Modelo | Fuente |
|----------------|--------------|
| copulagan | SDV [31] |
| tvae | SDV [31] |
| gaussiancopula | SDV [31] |
| ctgan | SDV [31] |
| tablepreset | SDV [31] |
| smote-enc | tabDDPM [33] |
| tddpm_mlp | tabDDPM [33] |

Al ejecutar el script de generación de datos sintéticos, se crearán múltiples archivos en una carpeta. En la Tabla 3.3 se muestra un ejemplo de los archivos generados y su formato. El nombre del modelo utilizado se indica en el campo **<model>**, y en caso de haberse aplicado *Differential Privacy* para generar una versión con ruido. El campo **<n_sample>** indica el número de registros sintéticos generados, y finalmente el campo **<type_comparison>** especifica si se trata de una comparación entre los datos sintéticos y los datos de entrenamiento (*Synthetic vs Train*, abreviado como ST) o entre los datos sintéticos y los datos de validación (*Synthetic vs Hold*, abreviado como SH). Adicionalmente se encuentran los archivos de esquema (*metadata.json*) y una separación del dataset inicial en el conjunto de entrenamiento y test (hold).

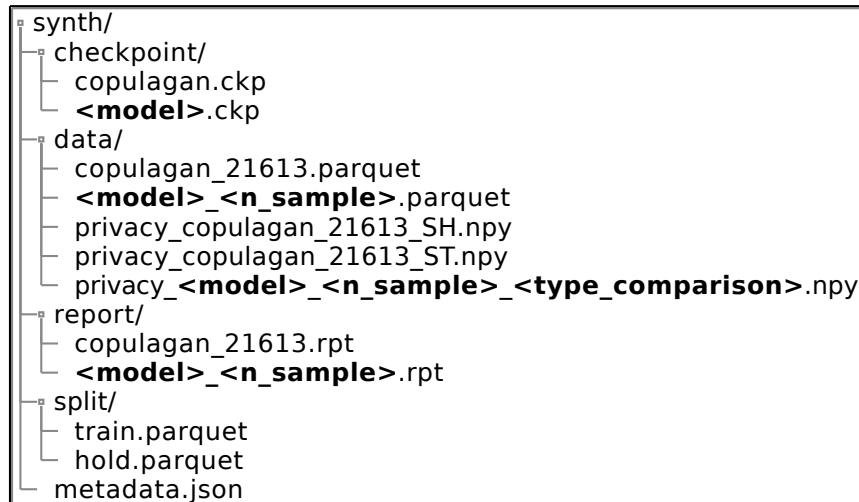


Figura 3.3: Carpetas y archivos esperados generados por *Synthetic*

3.3.2. Modelos para textos

Como se mencionó anteriormente, se utilizó el modelo **mT5** que se entrenó para una nueva tarea utilizando la estrategia presentada en el artículo *Text-to-Text Pre-Training for Data-to-Text Tasks* [26]. Para ilustrar el proceso, se presenta un ejemplo del texto pre-procesado, el segmento de la pregunta y la respuesta esperada para un registro del conjunto de datos *economicos.cl*.

Input

<fecha, 2022-01-01>
<precio, \$ 105.000.000>
<tipo, Departamento>
<transacción, Venta>
<región, Metropolitana de Santiago>
<comuna, Santiago>
<dormitorios, 3.0>
<baños, 3.0>
<construidos, 47.0>
<terreno, 47.0>
<precio_real, 3387.4540447373292>
<titulo, Departamento en Venta en Santiago 3 dormitorios 1 baño>
<dirección, DEPARTAMENTO EN EL CORAZON DE LO BARNECHEA Santiago, Metropolitana de Santiago>

Tarea

descripción de esta publicación

Respuesta esperada

Kazona Propiedades Vende Departamento de 47m2, 3 dormitorios, 1 baño, cocina, living comedor , Paredes con Cerámica y Tabiquería en techo con madera barnizada timbrada, ventanas nuevas de PVC y vidrio termolaminado, sistema eléctrico actualizado, departamento ubicado en el 3er nivel (sin ascensor) , bajo gasto común. Excelentes conectividades y ubicación en Pleno Centro De Lo Barnechea, como colegios privados y públicos, supermercados, Mall Portal La Dehesa, locomoción, entre otros.
Podemos destacar de la propiedad:
Pleno Centro Lo Barnechea
100 metros de locomoción a Escuela Militar , Bilbao, Stgo Centro, Mapocho
200 metros colegios Montessori Nido de Águila, San Rafael , otros
200 metros Mall Portal La Dehesa
200 metros Sta. Isabel
300 metros carabineros
Gastos comunes bajos \$10.000
Estacionamiento comunitario
No paga contribuciones
Contactanos al telefono Kazona 569 56031154

3.4. Obtención de Métricas

Se han automatizado la mayoría de las métricas para evaluar los conjuntos de datos sintéticos mediante el módulo *metrics*. Estas métricas se aplican a los tres conjuntos de datos para su evaluación, lo que permite calcular estadísticas y comparativas para el conjunto de datos real utilizado para el entrenamiento (train dataset), el conjunto de datos reservado para la evaluación (hold) y el conjunto de datos sintético generado por los diferentes modelos (synthetic). Se pueden recolectar ejecutando el ejemplo de código proporcionado en Código 2.

```
55 print(syn.train.loc[:, syn._selectable_columns()])
```

Código 2: Obtención de métricas en `economicos_run-a.py`

En la Tabla 3.6 se muestra las metricas recolectadas para campos numericos.

Tabla 3.6: Metricas para campos numericos

| Campo | Ejemplos |
|--|--|
| Nombre del campo (name) | sqft_living |
| Valores del Top 5 (top5) | [1400 1300 1720 1250 1540] |
| Frecuencia Top 5 (top5_freq) | [109 107 106 106 105] |
| Probabilidades de Top 5 (top5_prob) | [0.00630422 0.00618855 0.00613071 0.00613071 0.00607287] |
| Elementos observados (nobs) | 17290 |
| Nulos (missing) | 0 |
| Promedio (mean) | 2073.894910 |
| Desviación Estándar (std) | 907.297963 |
| Error estándar de la media (std_err) | 6.900053 |
| Intervalo de confianza superior (upper_ci) | 2087.418766 |
| Intervalo de confianza inferior (lower_ci) | 2060.371055 |
| Rango intercuartílico (iqr) | 1110 |
| Rango intercuartílico normalizado (iqr_normal) | 822.844231 |
| Continúa en la siguiente página | |

| Campo | Ejemplos |
|--|--------------|
| Desviación absoluta de la mediana (mad) | 693.180169 |
| Desviación absoluta de la mediana normalizada (mad_normal) | 868.772506 |
| Coeficiente de variación (coef_var) | 0.437485 |
| Rango (range) | 11760 |
| Valor máximo (max) | 12050 |
| Valor mínimo (min) | 290 |
| Sesgo (skew) | 1.370859 |
| Curtosis (kurtosis) | 7.166622 |
| Test de normalidad de Jarque-Bera (jarque_bera) | 17922.347382 |
| Valor p del test de normalidad de Jarque-Bera (jarque_bera_pval) | 0 |
| Moda (mode) | 1400 |
| Frecuencia de la moda (mode_freq) | 0.006304 |
| Mediana (median) | 1910 |
| Percentil 0.1 % | 522.890000 |
| Percentil 1 % | 720 |
| Percentil 5 % | 940 |
| Percentil 25 % | 1430 |
| Percentil 75 % | 2540 |
| Percentil 95 % | 3740 |
| Percentil 99 % | 4921.100000 |
| Percentil 99.9 % | 6965.550000 |

En la Tabla 3.7 se muestran los datos calculados para campos categóricos.

Tabla 3.7: Métricas para campos categóricos

| Nombre del campo (name) | waterfront |
|-------------------------------------|-------------------------|
| Valores del Top 5 (top5) | [0 1] |
| Frecuencia Top 5 (top5_freq) | [17166 124] |
| Probabilidades de Top 5 (top5_prob) | [0.99282822 0.00717178] |
| Elementos observados (nobs) | 17290.0 |
| Nulos (missing) | 17290.0 |

En el Código 3, se muestra cómo se calcula y se muestra el puntaje promedio para una selección específica de modelos. El código utiliza la función "sort_values" para ordenar los resultados en orden descendente según el puntaje. Luego, se filtran los resultados para incluir solo los modelos seleccionados y las columnas que muestran el puntaje y la Distancia al registro más cercano (DCR) en los tres umbrales *Synthetic vs Train* (ST), *Synthetic vs Hold* (SH) y *Train vs Hold* TH.

```
1 avg = syn.scores[syn.scores["type"] == "avg"]
2 avg.sort_values("score", ascending=False).loc[
    ↪ ["tddpm_mlp", "smote-enc", "gaussiancopula", "tvae", "gaussiancopula",
    ↪ "copulagan", "ctgan"], ["score", "DCR ST 5th", "DCR SH 5th", "DCR TH 5th"]]
```

Código 3: Mostrando Puntajes Promedios Calculados

Capítulo 4

Resultados

Este capítulo aborda los resultados obtenidos en el actual trabajo, donde se emplearon diversas técnicas de preprocesamiento y modelos de aprendizaje automático. Aquí se presentan los resultados en función del desempeño de los modelos, la similitud con los datos originales y la tensión entre privacidad y utilidad de los datos generados.

Se enfocará en la evaluación de los conjuntos de datos de King County y Económicos, resaltando los logros de los modelos Tddpm y Smote en términos de similitud con los datos originales y cobertura. Se explorará además el análisis de privacidad, destacando el rendimiento superior del modelo Tddpm en términos de privacidad.

Finalmente, se hará un resumen de los hallazgos más relevantes, destacando la eficacia de los modelos Tddpm y Smote en la generación de datos sintéticos útiles, y se abordarán las diferencias significativas observadas en la cobertura, distribución y privacidad entre los conjuntos de datos.

4.1. King County

4.1.1. SDMetrics Score

La Tabla 4.1 muestra los puntajes obtenidos por los distintos patrones utilizados en este estudio. Es notorio que los patrones con puntajes más altos, como Tddpm y Smote, presentan una mayor similitud con el conjunto de datos original. En contraposición, los patrones con puntajes más bajos, como ctgan, exhiben una correspondencia considerablemente menor con el conjunto original. Se muestra el promedio \pm desviación estándar basado en las 3 ejecuciones realizadas.

Tabla 4.1: Evaluación de Métricas de Rendimiento para Diversos Modelos de Aprendizaje Automático, King County

| Model Name | Column Pair Trends | Column Shapes | Coverage | Boundaries | Synthesis | Score |
|----------------|---|---|---|---|---|---|
| tddpm_mlp | 9.37e-01 \pm 3.80e-03 | 9.67e-01\pm1.48e-03 | 9.66e-01\pm4.96e-03 | 1.00e+00\pm0.00e+00 | 1.00e+00\pm0.00e+00 | 9.52e-01 \pm 2.36e-03 |
| smote-enc | 9.41e-01\pm2.60e-04 | 9.65e-01 \pm 3.06e-04 | 8.42e-01 \pm 8.31e-03 | 1.00e+00 \pm 1.02e-05 | 9.99e-01 \pm 2.52e-04 | 9.53e-01\pm2.45e-04 |
| ctgan | 8.10e-01 \pm 1.40e-02 | 8.38e-01 \pm 2.67e-02 | 8.56e-01 \pm 2.25e-03 | 1.00e+00\pm0.00e+00 | 1.00e+00\pm0.00e+00 | 8.24e-01 \pm 2.02e-02 |
| tablepreset | 8.37e-01 \pm 0.00e+00 | 8.37e-01 \pm 1.36e-16 | 7.53e-01 \pm 0.00e+00 | 1.00e+00\pm0.00e+00 | 1.00e+00\pm0.00e+00 | 8.37e-01 \pm 7.85e-17 |
| copulagan | 7.64e-01 \pm 4.93e-03 | 8.14e-01 \pm 4.70e-03 | 8.40e-01 \pm 1.74e-02 | 1.00e+00\pm0.00e+00 | 1.00e+00\pm0.00e+00 | 7.89e-01 \pm 2.92e-03 |
| gaussiancopula | 7.65e-01 \pm 0.00e+00 | 8.11e-01 \pm 0.00e+00 | 7.51e-01 \pm 7.85e-17 | 1.00e+00\pm0.00e+00 | 1.00e+00\pm0.00e+00 | 7.88e-01 \pm 0.00e+00 |
| tvae | 7.07e-01 \pm 1.19e-02 | 7.68e-01 \pm 1.22e-02 | 4.53e-01 \pm 1.63e-02 | 1.00e+00\pm0.00e+00 | 1.00e+00\pm0.00e+00 | 7.38e-01 \pm 1.18e-02 |

A pesar de que los patrones Tddpm y Smote alcanzan calificaciones prometedoras en general, se observa una diferencia significativa entre ambos en términos de cobertura (*Coverage*). Específicamente, Smote no logra capturar la diversidad del conjunto de datos, reflejándose en una calificación de cobertura marcadamente inferior a la de Tddpm.

4.1.2. Correlación

En el Anexo A.3, se contrasta la lista completa de cada modelo. Se observa que, en general, los modelos con puntajes más altos exhiben una mayor similitud visual con los datos reales. A modo de ilustración, las imágenes 4.1 y 4.2 contrastan los datos reales con los generados por los modelos gaussiancopula y copulagan. A pesar de que estos modelos presentan puntajes similares, el modelo gaussiancopula muestra una mayor similitud visual con los datos reales en comparación con el modelo copulagan.

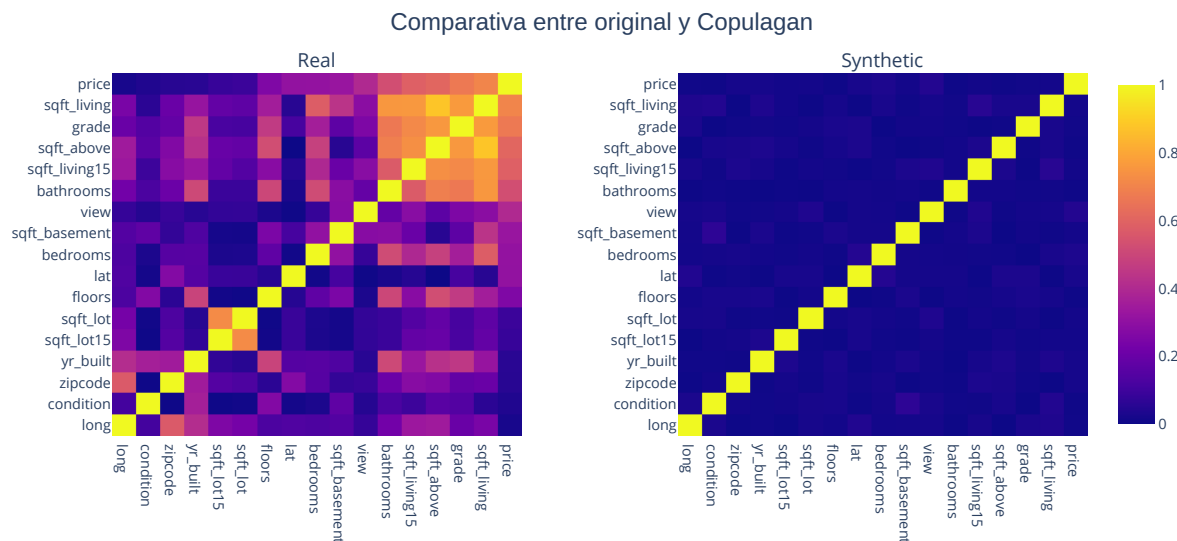


Figura 4.1: Correlación de conjunto original de entrenamiento y Copulagan, King county (A-2)

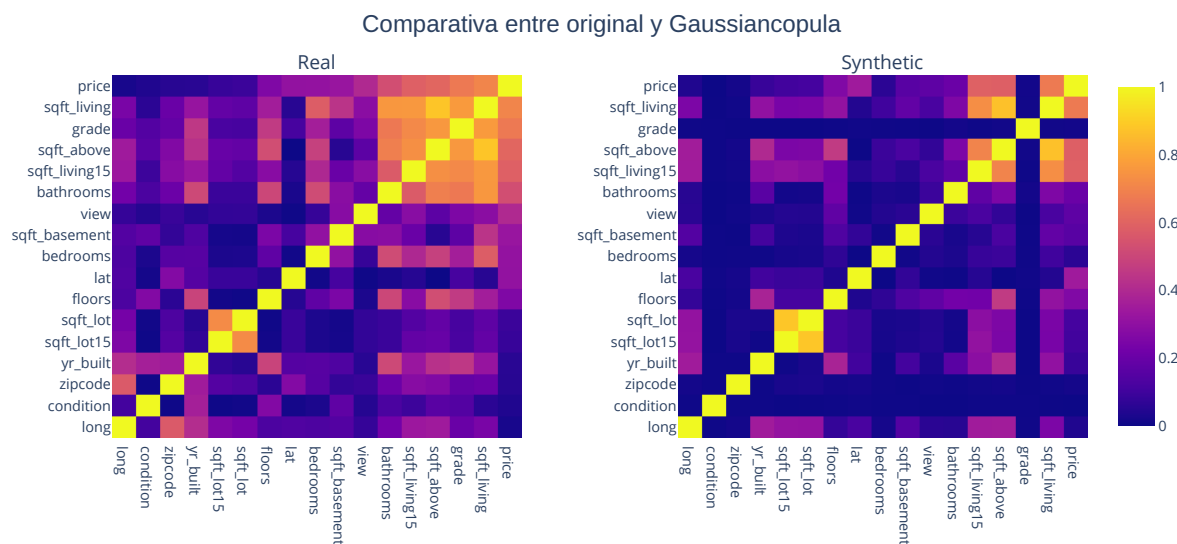


Figura 4.2: Correlación de conjunto original de entrenamiento y Gaussiancopula, King county (A-2)

Es especialmente relevante que, entre los modelos con puntajes superiores al 90 %, la evaluación visual para determinar cuál es superior puede ser un desafío. Esta dificultad surge debido a que, a medida que el puntaje se incrementa, la similitud visual entre los datos reales y los generados se intensifica. Este fenómeno se ilustra en las figuras 4.3 y 4.4, donde se contrastan los datos reales con los generados por los modelos Smote y Tddpm, respectivamente. Ambos modelos ostentan puntajes por encima del 90 %, y la correspondencia visual entre los datos reales y los generados es notablemente alta en ambos casos.

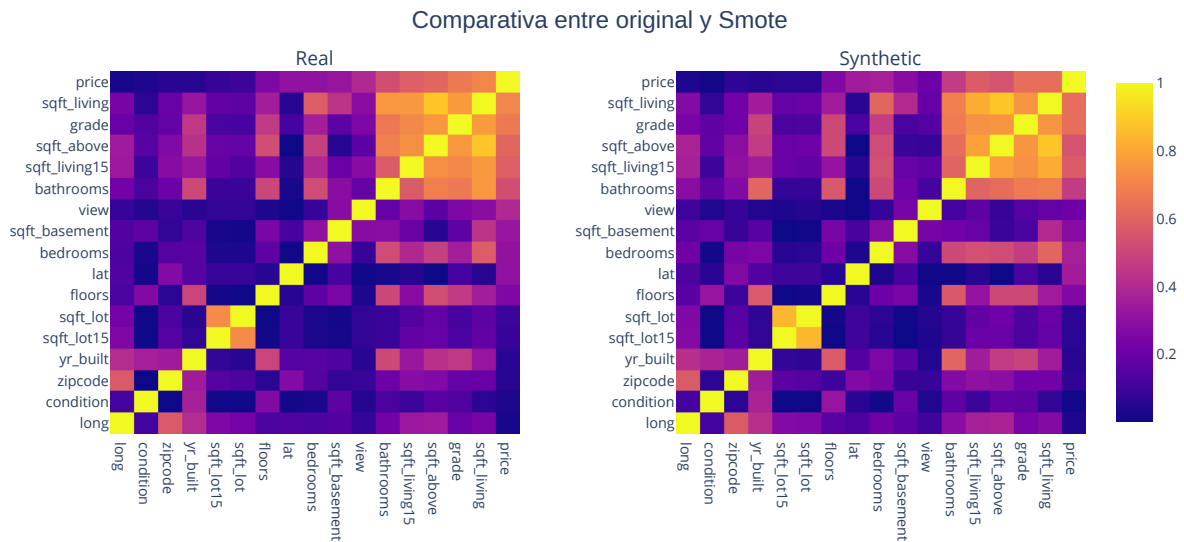


Figura 4.3: Correlación de conjunto original de entrenamiento y Smote, King county (A-2)

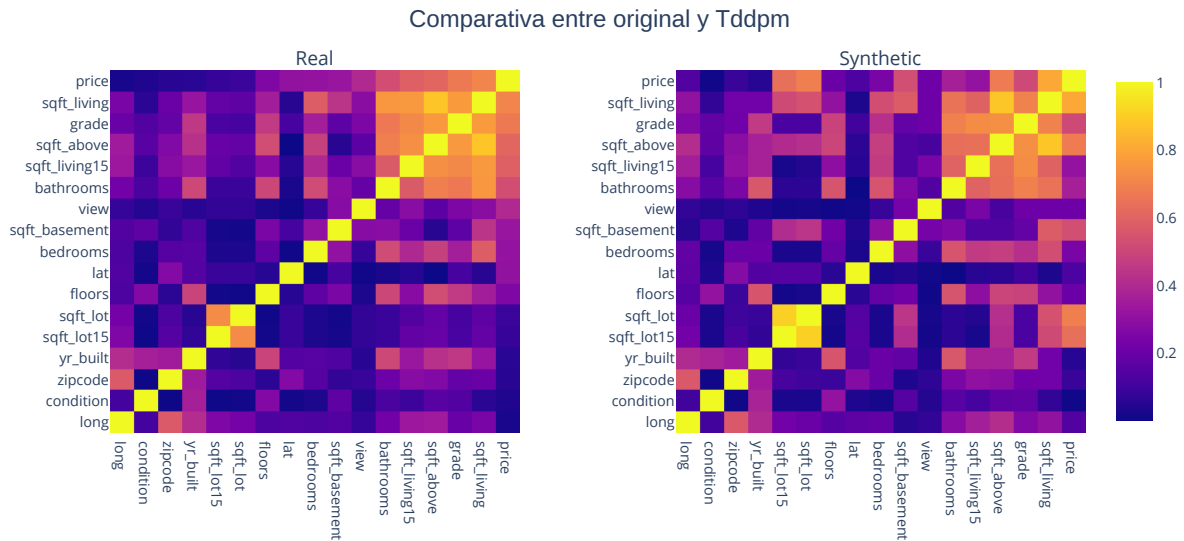


Figura 4.4: Correlación de conjunto original de entrenamiento y Tddpm, King county (A-2)

En la evaluación mediante SDMetrics y en la comparación visual a través de la correlación de en parejas, los modelos más sobresalientes resultan ser Tddpm y Smote. Dichos modelos han logrado los puntajes más elevados en ambas métricas y han demostrado una notable similitud visual con los datos reales. Por ende, se puede inferir que estos modelos resultan ser los más eficaces para la generación de datos sintéticos beneficiosos para este conjunto de datos en particular.

4.1.3. Reporte diagnóstico

La Tabla 4.2 evidencia la superioridad del modelo Tddpm en términos de cobertura de valores distintos, aunque hay casos donde ningún modelo alcanza una cobertura completa. Un caso notable es la variable *bedrooms*, en la que Tddpm solo logra un 71.8 % de cobertura, pero aún así supera al modelo Smote, que apenas alcanza el 51 % para la misma variable.

Tabla 4.2: Cobertura Categoría/Rango para Modelos Smote y Tddpm, King County

| Columna | Metrica | smote-enc | tddpm_mlp |
|---------------|------------------|--------------------------|--------------------------|
| bathrooms | CategoryCoverage | 6.56e-01±3.85e-02 | 8.11e-01±3.85e-02 |
| bedrooms | CategoryCoverage | 5.13e-01±4.44e-02 | 7.18e-01±4.44e-02 |
| condition | CategoryCoverage | 9.33e-01±1.15e-01 | 1.00e+00±0.00e+00 |
| date | CategoryCoverage | 9.64e-01±6.77e-03 | 9.44e-01±9.69e-03 |
| floors | CategoryCoverage | 8.33e-01±0.00e+00 | 9.44e-01±9.62e-02 |
| grade | CategoryCoverage | 7.50e-01±0.00e+00 | 8.61e-01±4.81e-02 |
| id | RangeCoverage | 9.93e-01±4.54e-04 | 1.00e+00±7.79e-04 |
| lat | RangeCoverage | 9.65e-01±8.31e-03 | 1.00e+00±0.00e+00 |
| long | RangeCoverage | 9.91e-01±5.54e-03 | 1.00e+00±2.45e-04 |
| price | RangeCoverage | 5.72e-01±1.02e-01 | 1.00e+00±1.25e-05 |
| sqft_above | RangeCoverage | 7.88e-01±2.98e-02 | 1.00e+00±1.45e-05 |
| sqft_basement | RangeCoverage | 7.47e-01±2.02e-01 | 1.00e+00±0.00e+00 |
| sqft_living | RangeCoverage | 7.03e-01±4.89e-02 | 1.00e+00±1.33e-05 |
| sqft_living15 | RangeCoverage | 8.49e-01±5.19e-02 | 1.00e+00±5.14e-05 |
| sqft_lot | RangeCoverage | 5.86e-01±7.02e-03 | 1.00e+00±3.49e-06 |
| sqft_lot15 | RangeCoverage | 8.30e-01±2.80e-01 | 1.00e+00±4.72e-05 |
| view | CategoryCoverage | 1.00e+00±0.00e+00 | 1.00e+00±0.00e+00 |
| waterfront | CategoryCoverage | 1.00e+00±0.00e+00 | 1.00e+00±0.00e+00 |
| yr_built | RangeCoverage | 1.00e+00±4.11e-05 | 1.00e+00±0.00e+00 |
| yr_renovated | RangeCoverage | 1.00e+00±9.76e-05 | 1.00e+00±0.00e+00 |
| zipcode | CategoryCoverage | 1.00e+00±0.00e+00 | 1.00e+00±0.00e+00 |

4.1.4. Reporte de calidad

En términos generales, la distribución en ambos modelos se aproxima a la real, en casi todos los casos superando el 90 %. La única excepción es el modelo Smote en la variable *bathrooms*.

Tabla 4.3: Evaluación de Similitud de Distribución para Modelos Smote y Tddpm, King County

| Columna | Metrica | smote-enc | tddpm_mlp |
|---------------|--------------|--------------------------|--------------------------|
| bathrooms | TVComplement | 8.84e-01±5.09e-03 | 9.46e-01±6.18e-03 |
| bedrooms | TVComplement | 9.18e-01±7.87e-04 | 9.50e-01±5.73e-03 |
| condition | TVComplement | 9.33e-01±1.23e-03 | 9.61e-01±5.43e-03 |
| date | TVComplement | 9.38e-01±1.73e-03 | 9.26e-01±2.29e-03 |
| floors | TVComplement | 9.66e-01±1.12e-03 | 9.68e-01±4.38e-03 |
| grade | TVComplement | 9.58e-01±6.82e-04 | 9.64e-01±1.19e-03 |
| id | KSComplement | 9.86e-01±6.51e-04 | 9.75e-01±2.95e-03 |
| lat | KSComplement | 9.89e-01±1.69e-03 | 9.83e-01±8.10e-04 |
| long | KSComplement | 9.88e-01±2.22e-03 | 9.78e-01±1.98e-03 |
| price | KSComplement | 9.81e-01±6.63e-04 | 9.72e-01±7.86e-03 |
| sqft_above | KSComplement | 9.72e-01±1.42e-03 | 9.77e-01±8.75e-03 |
| sqft_basement | KSComplement | 9.35e-01±3.60e-03 | 9.75e-01±3.87e-03 |
| sqft_living | KSComplement | 9.81e-01±2.50e-03 | 9.73e-01±5.59e-03 |
| sqft_living15 | KSComplement | 9.81e-01±1.63e-03 | 9.76e-01±4.34e-03 |
| sqft_lot | KSComplement | 9.83e-01±4.81e-03 | 9.58e-01±8.34e-03 |
| sqft_lot15 | KSComplement | 9.84e-01±3.16e-03 | 9.62e-01±8.15e-03 |
| view | TVComplement | 9.36e-01±9.73e-04 | 9.52e-01±4.70e-03 |
| waterfront | TVComplement | 9.94e-01±1.22e-04 | 9.95e-01±6.04e-04 |
| yr_built | KSComplement | 9.83e-01±4.71e-04 | 9.76e-01±6.80e-03 |
| yr_renovated | KSComplement | 9.92e-01±4.17e-04 | 9.91e-01±1.00e-03 |
| zipcode | TVComplement | 9.74e-01±1.57e-03 | 9.50e-01±4.11e-04 |

Al examinar las variables de los conjuntos de datos completos, como se ilustra en la lista Anexa A.3, se observa una similitud entre los tres conjuntos analizados: Real, Smote y Tddpm. Sin embargo, también surgen diferencias significativas. Es relevante mencionar que los conjuntos de datos generados son aproximadamente un 20 % más grandes que el conjunto real. En varias columnas, la distribución de datos en los tres conjuntos es similar, como se evidencia en los casos de bathrooms, sqft_lot, sqft_above, price, sqft_living, sqft_basement, yr_built, sqft_living15 y grade. Este patrón se puede apreciar en la Figura A.10.

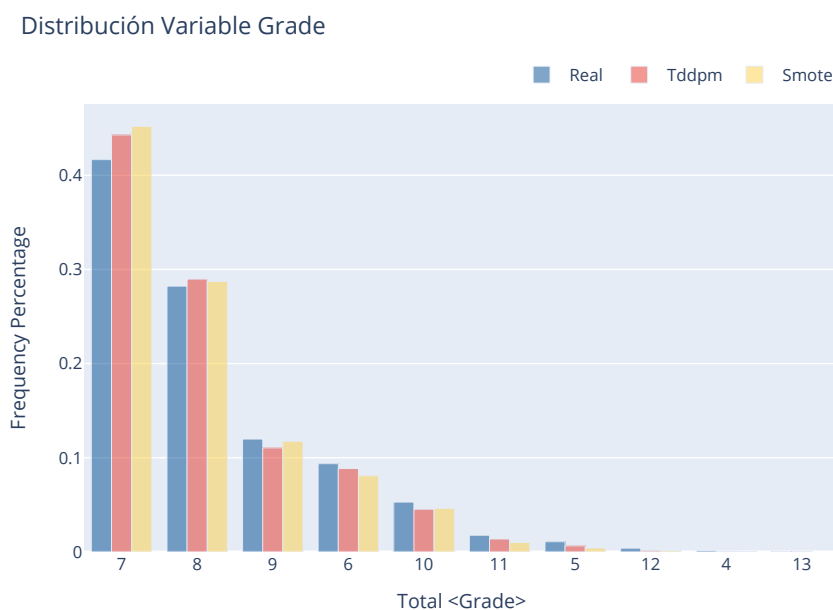


Figura 4.5: Frecuencia del campo Grade en el modelo real y Top 2, King county (A-2)

Por otra parte, la distribución de los atributos bedrooms, condition, view y floors en el conjunto de datos generado por el modelo Tddpm presenta una particularidad: contiene un mayor número de elementos menos frecuentes comparado con los demás conjuntos. Al considerar la columna *bedrooms* como ejemplo (refiérase a Figura A.9), la distribución de valores en el conjunto Tddpm se desvía de la del conjunto Smote. En específico, se registra un aumento en la cantidad de registros correspondientes a los valores 6 y 1.

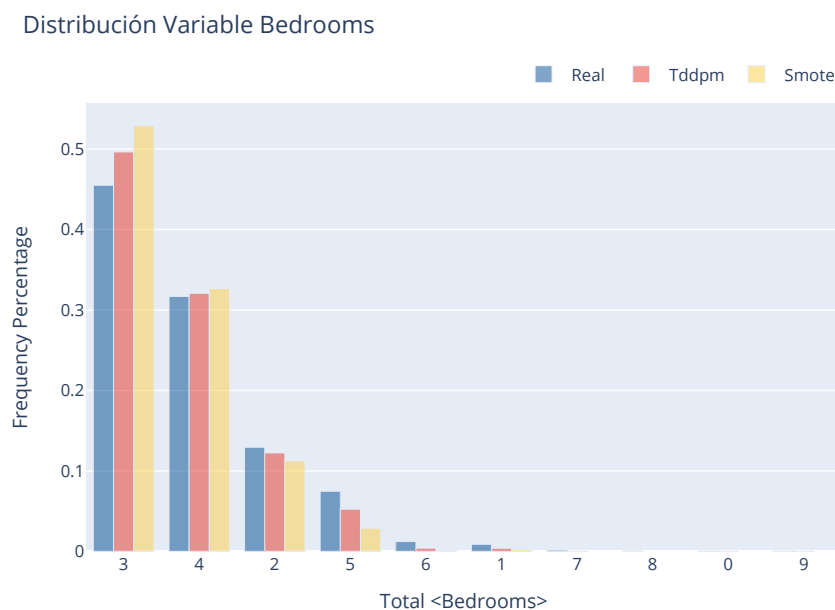


Figura 4.6: Frecuencia del campo Bedrooms en el modelo real y Top 2, King county (A-2)

En el caso de la variable *sqft_lot15*, la distribución generada por el modelo Smote resulta ser más similar a la del conjunto de datos real, como se puede apreciar en la figura A.21.

Distribución Variable Sqft Lot15

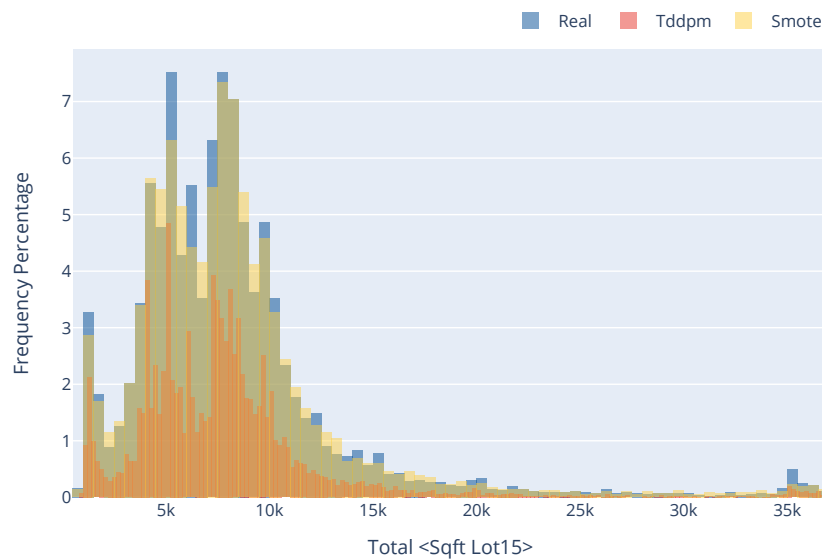


Figura 4.7: Frecuencia del campo Sqft lot15 en el modelo real y Top 2, King county (A-2)

4.1.5. Privacidad

Al analizar los registros más cercanos entre los conjuntos de datos reales utilizados para el entrenamiento, los generados por los modelos, y el conjunto de datos reales almacenados, encontramos que las distancias entre ellos se presentan en las siguientes tablas. Es importante destacar que la distancia mínima para el modelo Tddpm es de 0.0134, indicando que cada registro tiene al menos esa distancia respecto al conjunto real. La determinación del epsilon requerido para asegurar la privacidad de los datos depende del análisis específico de los datos a proteger y sus probabilidades asociadas. Sin embargo, si el objetivo es proteger el 95 % de los datos, el modelo Tddpm alcanza una distancia de 0.0579, mientras que el modelo Smote tiene una distancia de 0.00704.

Tabla 4.4: Proporción entre el más cercano y el segundo más cercano, percentil 5, datos king county

| Modelo | NNDR ST | NNDR SH | NNDR TH | Score |
|----------------|--------------------------|--------------------------|-------------------|--------------------------|
| tddpm_mlp | 6.12e-01±2.28e-03 | 6.03e-01±4.17e-03 | 3.76e-01±0.00e+00 | 9.52e-01±2.36e-03 |
| smote-enc | 1.98e-01±3.57e-03 | 4.09e-01±6.38e-03 | 3.76e-01±0.00e+00 | 9.53e-01±2.45e-04 |
| ctgan | 8.09e-01±8.59e-03 | 8.15e-01±4.89e-03 | 3.76e-01±0.00e+00 | 8.24e-01±2.02e-02 |
| tablepreset | 8.25e-01±0.00e+00 | 8.18e-01±7.85e-17 | 3.76e-01±0.00e+00 | 8.37e-01±7.85e-17 |
| copulagan | 8.30e-01±5.92e-03 | 8.24e-01±3.49e-03 | 3.76e-01±0.00e+00 | 7.89e-01±2.92e-03 |
| gaussiancopula | 7.53e-01±0.00e+00 | 7.52e-01±1.36e-16 | 3.76e-01±0.00e+00 | 7.88e-01±0.00e+00 |
| tvae | 7.32e-01±5.74e-03 | 7.04e-01±4.22e-03 | 3.76e-01±0.00e+00 | 7.38e-01±1.18e-02 |

Tabla 4.5: Proporción entre el más cercano y el segundo más cercano, percentil 1, datos king county

| Modelo | NNDR ST | NNDR SH | NNDR TH | Score |
|----------------|--------------------------|--------------------------|-------------------|--------------------------|
| tddpm_mlp | 4.49e-01±7.33e-03 | 4.49e-01±7.70e-03 | 7.98e-02±0.00e+00 | 9.52e-01±2.36e-03 |
| smote-enc | 6.74e-02±4.35e-03 | 1.88e-01±1.05e-02 | 7.98e-02±0.00e+00 | 9.53e-01±2.45e-04 |
| ctgan | 7.14e-01±7.52e-03 | 7.19e-01±7.48e-03 | 7.98e-02±0.00e+00 | 8.24e-01±2.02e-02 |
| tablepreset | 7.20e-01±1.11e-16 | 7.19e-01±1.11e-16 | 7.98e-02±0.00e+00 | 8.37e-01±7.85e-17 |
| copulagan | 7.56e-01±7.65e-03 | 7.47e-01±2.64e-03 | 7.98e-02±0.00e+00 | 7.89e-01±2.92e-03 |
| gaussiancopula | 6.48e-01±7.85e-17 | 6.43e-01±7.85e-17 | 7.98e-02±0.00e+00 | 7.88e-01±0.00e+00 |
| tvae | 6.06e-01±1.27e-02 | 5.87e-01±4.93e-03 | 7.98e-02±0.00e+00 | 7.38e-01±1.18e-02 |

Tabla 4.6: Proporción entre el más cercano y el segundo más cercano, minimo, datos king county

| Modelo | NNDR ST | NNDR SH | NNDR TH | Score |
|----------------|--------------------------|--------------------------|-------------------|--------------------------|
| tddpm_mlp | 1.23e-01±1.54e-02 | 1.57e-01±3.36e-02 | 0.00e+00±0.00e+00 | 9.52e-01±2.36e-03 |
| smote-enc | 0.00e+00±0.00e+00 | 1.10e-02±5.41e-03 | 0.00e+00±0.00e+00 | 9.53e-01±2.45e-04 |
| ctgan | 4.25e-01±3.23e-02 | 3.91e-01±4.06e-02 | 0.00e+00±0.00e+00 | 8.24e-01±2.02e-02 |
| tablepreset | 4.51e-01±6.80e-17 | 3.58e-01±0.00e+00 | 0.00e+00±0.00e+00 | 8.37e-01±7.85e-17 |
| copulagan | 5.48e-01±1.58e-02 | 5.32e-01±3.85e-02 | 0.00e+00±0.00e+00 | 7.89e-01±2.92e-03 |
| gaussiancopula | 3.90e-01±5.55e-17 | 4.08e-01±0.00e+00 | 0.00e+00±0.00e+00 | 7.88e-01±0.00e+00 |
| tvae | 3.44e-01±1.91e-02 | 3.43e-01±1.63e-02 | 0.00e+00±0.00e+00 | 7.38e-01±1.18e-02 |

Al analizar los ratios entre la distancia al primer vecino más cercano y la distancia al segundo para el modelo Tddpm, se evidencia que para el percentil 5, la distancia al vecino más cercano es solo 2/3 de la distancia al segundo más cercano. Sin embargo, para el percentil 1, esta distancia se reduce a la mitad. En contraposición, para el modelo Smote, en el percentil 5, la distancia al vecino más cercano es solo un 20 % de la distancia al segundo más cercano, y disminuye rápidamente a un 6 % para el percentil 1.

Tabla 4.7: Distancia de registros más cercanos, percentil 5, datos king county

| Modelo | DCR ST | DCR SH | DCR TH | Score |
|----------------|--------------------------|--------------------------|-------------------|--------------------------|
| tddpm_mlp | 5.79e-02±6.08e-04 | 7.65e-02±1.23e-03 | 3.57e-02±0.00e+00 | 9.52e-01±2.36e-03 |
| smote-enc | 7.04e-03±2.77e-04 | 3.69e-02±6.21e-04 | 3.57e-02±0.00e+00 | 9.53e-01±2.45e-04 |
| ctgan | 2.15e-01±1.32e-02 | 2.38e-01±1.32e-02 | 3.57e-02±0.00e+00 | 8.24e-01±2.02e-02 |
| tablepreset | 1.80e-01±0.00e+00 | 2.00e-01±0.00e+00 | 3.57e-02±0.00e+00 | 8.37e-01±7.85e-17 |
| copulagan | 3.75e-01±9.42e-03 | 4.12e-01±7.08e-03 | 3.57e-02±0.00e+00 | 7.89e-01±2.92e-03 |
| gaussiancopula | 2.63e-01±3.93e-17 | 3.06e-01±0.00e+00 | 3.57e-02±0.00e+00 | 7.88e-01±0.00e+00 |
| tvae | 8.09e-02±3.59e-04 | 9.86e-02±5.62e-04 | 3.57e-02±0.00e+00 | 7.38e-01±1.18e-02 |

Tabla 4.8: Distancia de registros más cercanos, percentil 1, datos king county

| Modelo | DCR ST | DCR SH | DCR TH | Score |
|----------------|--------------------------|--------------------------|-------------------|--------------------------|
| tddpm_mlp | 3.98e-02±8.56e-04 | 5.22e-02±7.40e-04 | 7.94e-03±0.00e+00 | 9.52e-01±2.36e-03 |
| smote-enc | 1.93e-03±1.36e-04 | 1.46e-02±8.53e-04 | 7.94e-03±0.00e+00 | 9.53e-01±2.45e-04 |
| ctgan | 1.70e-01±1.13e-02 | 1.89e-01±1.11e-02 | 7.94e-03±0.00e+00 | 8.24e-01±2.02e-02 |
| tablepreset | 1.44e-01±0.00e+00 | 1.61e-01±1.96e-17 | 7.94e-03±0.00e+00 | 8.37e-01±7.85e-17 |
| copulagan | 3.30e-01±9.97e-03 | 3.59e-01±9.29e-03 | 7.94e-03±0.00e+00 | 7.89e-01±2.92e-03 |
| gaussiancopula | 2.05e-01±2.78e-17 | 2.40e-01±0.00e+00 | 7.94e-03±0.00e+00 | 7.88e-01±0.00e+00 |
| tvae | 6.40e-02±2.03e-04 | 7.80e-02±2.67e-04 | 7.94e-03±0.00e+00 | 7.38e-01±1.18e-02 |

Tabla 4.9: Distancia de registros más cercanos, minimo, datos king county

| Modelo | DCR ST | DCR SH | DCR TH | Score |
|----------------|--------------------------|--------------------------|-------------------|--------------------------|
| tddpm_mlp | 1.34e-02±3.06e-03 | 1.99e-02±1.70e-03 | 0.00e+00±0.00e+00 | 9.52e-01±2.36e-03 |
| smote-enc | 0.00e+00±0.00e+00 | 1.24e-03±1.14e-04 | 0.00e+00±0.00e+00 | 9.53e-01±2.45e-04 |
| ctgan | 8.76e-02±2.88e-03 | 1.06e-01±1.12e-02 | 0.00e+00±0.00e+00 | 8.24e-01±2.02e-02 |
| tablepreset | 7.90e-02±9.81e-18 | 8.53e-02±1.39e-17 | 0.00e+00±0.00e+00 | 8.37e-01±7.85e-17 |
| copulagan | 2.09e-01±2.71e-02 | 2.34e-01±3.43e-02 | 0.00e+00±0.00e+00 | 7.89e-01±2.92e-03 |
| gaussiancopula | 7.88e-02±9.81e-18 | 1.27e-01±0.00e+00 | 0.00e+00±0.00e+00 | 7.88e-01±0.00e+00 |
| tvae | 3.26e-02±2.42e-03 | 3.48e-02±7.64e-03 | 0.00e+00±0.00e+00 | 7.38e-01±1.18e-02 |

En la Figura A.8 solo se consideran los modelos Tddpm y Smote para su comparación. En ambos casos, existe una distancia mayor a cero. Sin embargo, esta distancia es mayor en el caso de Tddpm, lo que sugiere que este conjunto puede ser considerado superior en términos de privacidad.

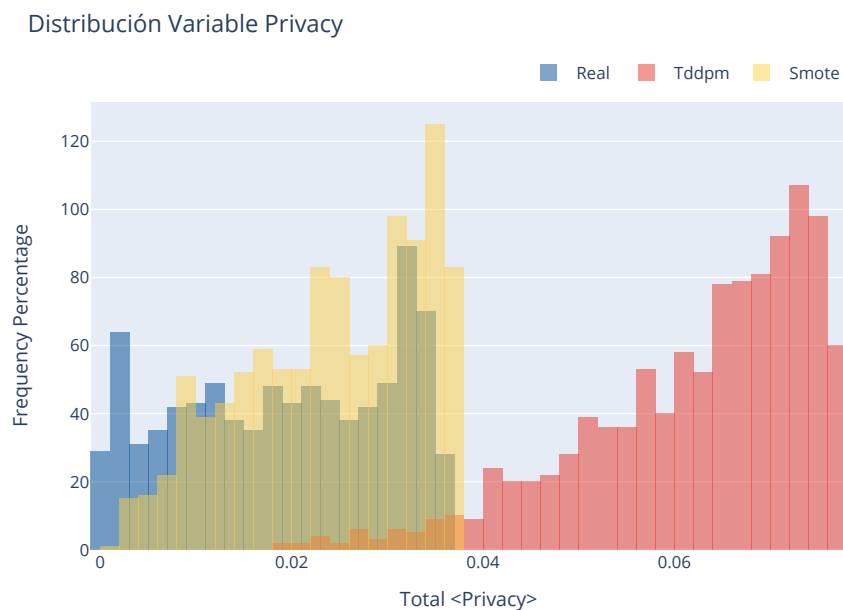


Figura 4.8: Frecuencia del campo Privacy en el modelo real y Top 2, King county (A-1)

4.1.6. Ejemplo de registros

Las Tablas 4.10 y 4.11 presentan un ejemplo de la mínima distancia en los modelos Smote y Tddpm, respectivamente. Los nombres de las columnas representan la distancia de Minkowski al registro Sintético, indicado de esta manera en la columna correspondiente. Las celdas coloreadas en rojo señalan que el valor de la característica para una propiedad específica es idéntico al valor correspondiente de la propiedad de referencia. Así, la tabla proporciona una comparación detallada de las propiedades que son similares en términos de las características seleccionadas.

En la Tabla 4.10, se puede observar claramente que, excepto por las variables de precio y fecha en el segundo registro más cercano, son idénticas a las del original. Esto significa que ese registro fue transferido en su totalidad al conjunto sintético.

Tabla 4.10: Ejemplos para el modelo smote-enc, minimo, King county (A-1)

| Variable/Distancia | Sintético | DCR1 d(0.00e+00) | DCR2 d(1.01e-02) |
|--------------------|-------------------|-------------------|-------------------|
| sqft_living | 1790.000000 | 1790.000000 | 1790.000000 |
| sqft_basement | 0.000000 | 0.000000 | 0.000000 |
| id | 1721801010.000000 | 1721801010.000000 | 1721801010.000000 |
| sqft_above | 1790.000000 | 1790.000000 | 1790.000000 |
| price | 225000.000000 | 225000.000000 | 302100.000000 |
| view | 0 | 0 | 0 |
| waterfront | 0 | 0 | 0 |
| sqft_lot | 6120.000000 | 6120.000000 | 6120.000000 |
| sqft_living15 | 830.000000 | 830.000000 | 830.000000 |
| grade | 6 | 6 | 6 |
| bathrooms | 1.000000 | 1.000000 | 1.000000 |
| long | -122.337000 | -122.337000 | -122.337000 |
| yr_renovated | 1964.000000 | 1964.000000 | 1964.000000 |
| zipcode | 98146 | 98146 | 98146 |
| condition | 3 | 3 | 3 |
| bedrooms | 3 | 3 | 3 |
| date | 20140903T000000 | 20140903T000000 | 20150424T000000 |
| sqft_lot15 | 6120.000000 | 6120.000000 | 6120.000000 |
| lat | 47.508000 | 47.508000 | 47.508000 |
| yr_built | 1937.000000 | 1937.000000 | 1937.000000 |
| floors | 1.000000 | 1.000000 | 1.000000 |

La Tabla 4.11 presenta valores de distancia mayores que los obtenidos en la tabla correspondiente a Smote (4.10). Se pueden observar diferencias en las variables *sqft_living*, *sqft_lot*, *sqft_above*, *yr_built* y *lat*, entre otras. Esta es la mínima distancia encontrada por la métrica.

Tabla 4.11: Ejemplos para el modelo *tdpml*, mínimo, King county (A-1)

| Variable/Distancia | Sintético | DCR1 d(9.90e-03) | DCR2 d(1.03e-02) |
|--------------------|-------------------|-------------------|-------------------|
| id | 7202202136.850033 | 7202330530.000000 | 7202330030.000000 |
| sqft_living | 1700.000000 | 1690.000000 | 1650.000000 |
| sqft_lot | 3524.360953 | 3322.000000 | 5683.000000 |
| sqft_above | 1654.928371 | 1690.000000 | 1650.000000 |
| sqft_basement | 0.000000 | 0.000000 | 0.000000 |
| yr_built | 2004.000000 | 2003.000000 | 2003.000000 |
| yr_renovated | 0.000000 | 0.000000 | 0.000000 |
| lat | 47.683989 | 47.682400 | 47.683000 |
| long | -122.036195 | -122.036000 | -122.035000 |
| sqft_living15 | 1650.000000 | 1650.000000 | 1650.000000 |
| sqft_lot15 | 3796.678538 | 3446.000000 | 4193.000000 |
| price | 475000.000000 | 479000.000000 | 500000.000000 |
| date | 20140908T000000 | 20150116T000000 | 20140822T000000 |
| bedrooms | 3 | 3 | 3 |
| bathrooms | 2.500000 | 2.500000 | 2.500000 |
| floors | 2.000000 | 2.000000 | 2.000000 |
| waterfront | 0 | 0 | 0 |
| view | 0 | 0 | 0 |
| condition | 3 | 3 | 3 |
| grade | 7 | 7 | 7 |
| zipcode | 98053 | 98053 | 98053 |

En la Tabla 4.12, se puede observar una notable mejoría en el modelo Smote. Esta tabla presenta un registro cercano con múltiples diferencias, entre las cuales se pueden destacar *sqft_lot* y *price*.

Tabla 4.12: Ejemplos para el modelo smote-enc, percentil 1, King county (A-1)

| Variable/Distancia | Sintético | DCR1 d(2.07e-03) | DCR2 d(5.44e-03) |
|--------------------|-------------------|-------------------|-------------------|
| sqft_living | 1798.822360 | 1800.000000 | 1800.000000 |
| sqft_basement | 0.000000 | 0.000000 | 0.000000 |
| id | 3862710182.355279 | 3862710050.000000 | 3862710210.000000 |
| sqft_above | 1798.822360 | 1800.000000 | 1800.000000 |
| price | 450000.000000 | 437718.000000 | 409316.000000 |
| view | 0 | 0 | 0 |
| waterfront | 0 | 0 | 0 |
| sqft_lot | 2851.472564 | 3265.000000 | 3168.000000 |
| sqft_living15 | 1800.000000 | 1800.000000 | 1800.000000 |
| grade | 8 | 8 | 8 |
| bathrooms | 2.500000 | 2.500000 | 2.500000 |
| long | -121.841000 | -121.841000 | -121.841000 |
| yr_renovated | 0.000000 | 0.000000 | 0.000000 |
| zipcode | 98065 | 98065 | 98065 |
| condition | 3 | 3 | 3 |
| bedrooms | 3 | 3 | 3 |
| date | 20140520T000000 | 20141113T000000 | 20140520T000000 |
| sqft_lot15 | 3280.073791 | 3663.000000 | 3393.000000 |
| lat | 47.534176 | 47.533800 | 47.534200 |
| yr_built | 2013.882236 | 2014.000000 | 2014.000000 |
| floors | 2.000000 | 2.000000 | 2.000000 |

4.1.7. Propiedades estadísticas

El listado completo de las propiedades estadísticas se encuentra en el Anexo A.9. A continuación, se procede a mostrar las propiedades estadísticas que entre el modelo Tddpm y Smote consigan una diferencia mayor al 5 % con respecto al conjunto original de entrenamiento. Se agrega el modelo Ctgan como referencia. las variables fueron seleccionadas por se 1) El peor resultado en la cobertura y 2) El peor resultado en la distribución respectivamente.

Como se puede apreciar en la Tabla 4.13, en general, el modelo Tddpm muestra propiedades estadísticas más cercanas al conjunto original, con excepciones notables en las métricas de máximo, kurtosis y Jarque-Bera. La diferencia en la métrica de *máximo* podría contribuir a la baja puntuación en la métrica de cobertura mostrada en la Tabla 4.2. Por otro lado, las diferencias en las métricas de kurtosis, skew y Jarque-Bera podrían explicar las desviaciones observadas en la métrica de distribución de la Tabla 4.3.

Tabla 4.13: Propiedades estadísticas de variable bedrooms con cambio >5 %, King county (A-1)

| Variable/Modelo | Real | tddpm_mlp | smote-enc | ctgan |
|------------------|---------|--------------|--------------|----------------|
| nobs | 17290 | 21613 | 21614 | 21613 |
| mean | 3.368 | 3.337 | 3.279 | 4.075 |
| std_err | 0.007 | 0.005 | 0.005 | 0.025 |
| upper_ci | 3.382 | 3.348 | 3.289 | 4.124 |
| lower_ci | 3.354 | 3.327 | 3.270 | 4.026 |
| std | 0.931 | 0.777 | 0.710 | 3.682 |
| mad | 0.734 | 0.643 | 0.587 | 1.323 |
| mad_normal | 0.920 | 0.806 | 0.735 | 1.658 |
| coef_var | 0.277 | 0.233 | 0.217 | 0.904 |
| range | 33.000 | 8.000 | 8.000 | 33.000 |
| max | 33.000 | 8.000 | 9.000 | 33.000 |
| min | 0.000 | 0.000 | 1.000 | 0.000 |
| skew | 2.304 | 0.273 | 0.140 | 6.792 |
| kurtosis | 63.268 | 3.444 | 3.196 | 53.464 |
| jarque_bera | 2631992 | 446 | 105 | 2459502 |
| jarque_bera_pval | 0.000 | 0.000 | 0.000 | 0.000 |
| mode_freq | 0.455 | 0.504 | 0.528 | 0.420 |
| 95.0 % | 5.000 | 5.000 | 4.000 | 6.000 |
| 99.0 % | 6.000 | 5.000 | 5.000 | 33.000 |
| 99.9 % | 7.000 | 6.000 | 5.000 | 33.000 |

Es evidente que Smote presenta varias métricas inferiores a las de Tddpm. Entre estas destacan el mínimo, el máximo, la asimetría (skew) y los percentiles 0.1, 95, 99 y 99.9.

Tabla 4.14: Propiedades estadísticas de variable bathrooms con cambio >5 %, King county (A-1)

| Variable/Modelo | Real | tddpm_mlp | smote-enc | ctgan |
|------------------|-------|--------------|--------------|--------------|
| nobs | 17290 | 21613 | 21614 | 21613 |
| mean | 2.114 | 2.071 | 2.015 | 2.255 |
| std_err | 0.006 | 0.005 | 0.005 | 0.006 |
| upper_ci | 2.125 | 2.080 | 2.025 | 2.267 |
| lower_ci | 2.102 | 2.061 | 2.006 | 2.243 |
| std | 0.767 | 0.715 | 0.709 | 0.932 |
| mad | 0.615 | 0.584 | 0.595 | 0.710 |
| mad_normal | 0.771 | 0.732 | 0.746 | 0.890 |
| coef_var | 0.363 | 0.345 | 0.352 | 0.413 |
| range | 8.000 | 7.750 | 5.250 | 8.000 |
| max | 8.000 | 7.750 | 6.000 | 8.000 |
| min | 0.000 | 0.000 | 0.750 | 0.000 |
| skew | 0.464 | 0.264 | 0.123 | 0.567 |
| kurtosis | 3.989 | 3.412 | 2.751 | 4.057 |
| jarque_bera | 1326 | 404 | 110 | 2165 |
| jarque_bera_pval | 0.000 | 0.000 | 0.000 | 0.000 |
| mode_freq | 0.251 | 0.284 | 0.313 | 0.300 |
| 0.1 % | 0.750 | 0.750 | 1.000 | 0.000 |
| 95.0 % | 3.500 | 3.250 | 3.250 | 4.000 |
| 99.0 % | 4.250 | 4.000 | 3.500 | 4.750 |
| 99.9 % | 5.428 | 4.750 | 4.500 | 6.250 |

4.1.8. Resumen de resultados

En esta sección, se proporciona un resumen de los hallazgos más significativos tras el análisis de los resultados obtenidos de los modelos Tddpm y Smote.

1. Los modelos Tddpm y Smote obtienen los puntajes más altos en la evaluación de métricas de rendimiento, mostrando su eficacia para la generación de datos sintéticos beneficiosos para este conjunto de datos (Sección 4.1.1).
2. A pesar de no presentar diferencias visuales destacables, Tddpm exhibe una mayor cobertura de valores distintos en comparación con Smote (Sección 4.1.2 y Sección 4.1.3).
3. La distribución de los datos generados por Tddpm y Smote se aproxima a la distribución real en la mayoría de las variables, demostrando su utilidad en la simulación de los patrones de los datos reales (Sección 4.1.4).
4. Tddpm ofrece una mayor privacidad en comparación con Smote, como se evidencia por su mayor distancia entre el vecino más cercano y el segundo vecino más cercano (Sección 4.1.5).

5. En términos de similitud con las propiedades estadísticas del conjunto original, Tddpm se destaca en las variables *bedrooms* y *bathrooms*, con excepciones notables en algunas métricas específicas (Sección 4.1.7).

4.2. Conjunto de datos proveniente de Economicos

4.2.1. Tratamiento de nulos en conjunto A y B

El conjunto de Económicos, a diferencia del conjunto de datos de King County que fue filtrado y preprocesado para evitar valores nulos, contiene elementos nulos. A continuación se describen dos tratamientos de estos elementos nulos. El primer enfoque simplemente elimina todos los registros que contienen un registro vacío utilizando el método ‘dropna’, como se muestra en el Código 4; este será considerado como el Conjunto A. En el segundo enfoque, los valores nulos son reemplazados por algún valor predeterminado o calculado, como se muestra en el Código 5; este será considerado como el Conjunto B.

```
1 df_converted = df.dropna().astype({k: 'str' for k in ("description", "price",
    ↪ "title", "address", "owner",)})
2 basedate = pd.Timestamp('2017-12-01')
3 dtype = df_converted.pop("publication_date")
4 df_converted["publication_date"] = dtype.apply(lambda x: (x - basedate).days)
```

Código 4: Eliminación de valores nulos en el conjunto de datos de Económicos

```
1 df_converted = df.fillna(dict(
2     property_type = "None",
3     transaction_type = "None",
4     state = "None",
5     county = "None",
6     rooms = -1,
7     bathrooms = -1,
8     m_built = -1,
9     m_size = -1,
10    source = "None"
11)).fillna(-1).astype({k: 'str' for k in ("description", "price", "title",
    ↪ "address", "owner",)})
12 basedate = pd.Timestamp('2017-12-01')
13 dtype = df_converted.pop("publication_date")
14 df_converted["publication_date"] = dtype.apply(lambda x: (x - basedate).days)
```

Código 5: Reemplazo de valores nulos en el conjunto de datos de Económicos

4.2.2. SDMetrics Score - Conjunto A

Para el conjunto A, como se muestra en la Tabla 4.15, Tddpm es un punto superior a Smote y ambos superan en más de 10 puntos al siguiente modelo. Sin embargo, un punto crucial es que Smote tiene una cobertura (*Coverage*) que es 12 puntos inferior a Tddpm.

Tabla 4.15: Evaluación de Métricas de Rendimiento para Diversos Modelos, Economicos

| Model Name | Column Pair Trends | Column Shapes | Coverage | Boundaries | Synthesis | Score |
|----------------|--------------------------|--------------------------|--------------------------|--------------------------|--------------------------|--------------------------|
| tddpm_mlp | 9.73e-01±2.21e-03 | 9.84e-01±3.63e-04 | 7.91e-01±5.31e-02 | 1.00e+00±0.00e+00 | 9.91e-01±8.50e-04 | 9.79e-01±1.27e-03 |
| smote-enc | 9.62e-01±1.52e-03 | 9.76e-01±4.01e-04 | 6.67e-01±2.79e-02 | 1.00e+00±0.00e+00 | 9.24e-01±1.74e-03 | 9.69e-01±6.71e-04 |
| copulagan | 7.46e-01±3.30e-02 | 7.90e-01±2.63e-02 | 6.80e-01±2.57e-03 | 1.00e+00±0.00e+00 | 1.00e+00±0.00e+00 | 7.68e-01±2.96e-02 |
| ctgan | 7.44e-01±1.96e-02 | 6.53e-01±4.72e-02 | 6.75e-01±1.75e-03 | 1.00e+00±0.00e+00 | 1.00e+00±0.00e+00 | 6.98e-01±2.63e-02 |
| gaussiancopula | 6.96e-01±0.00e+00 | 6.88e-01±0.00e+00 | 5.65e-01±0.00e+00 | 1.00e+00±0.00e+00 | 1.00e+00±0.00e+00 | 6.92e-01±0.00e+00 |
| tvae | 5.83e-01±1.02e-02 | 6.41e-01±4.66e-02 | 8.59e-02±1.28e-02 | 1.00e+00±0.00e+00 | 1.00e+00±0.00e+00 | 6.12e-01±2.50e-02 |

4.2.3. Correlación - Conjunto A

Aunque la diferencia es pequeña, se puede apreciar al comparar visualmente las Figuras 4.9 y 4.10 que el segundo modelo, Tddpm, presenta una mayor similitud en las variables *rooms* y *bathrooms*.

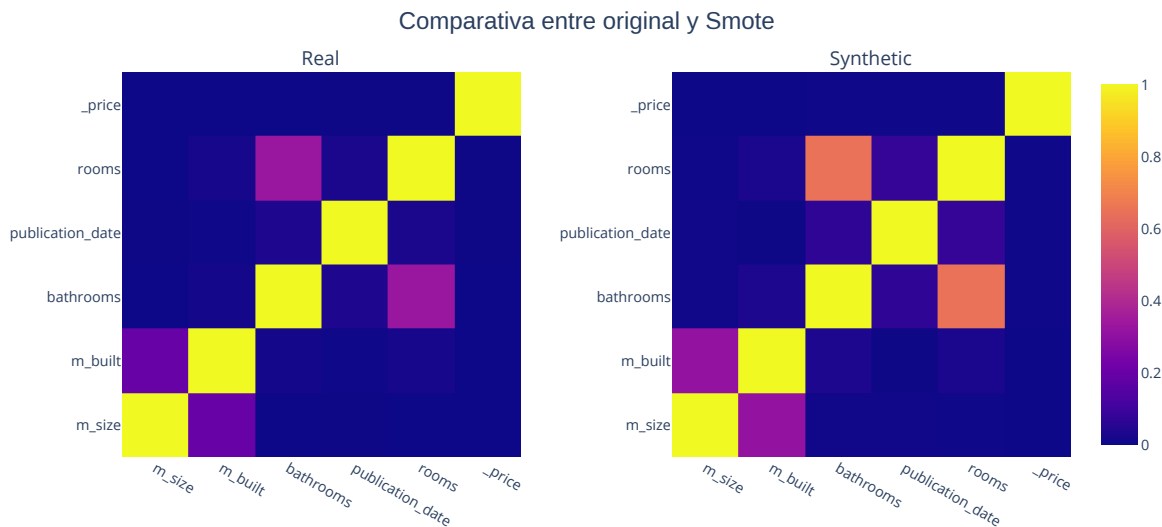


Figura 4.9: Correlación de conjunto original de entrenamiento y Smote, Economicos (A-2)

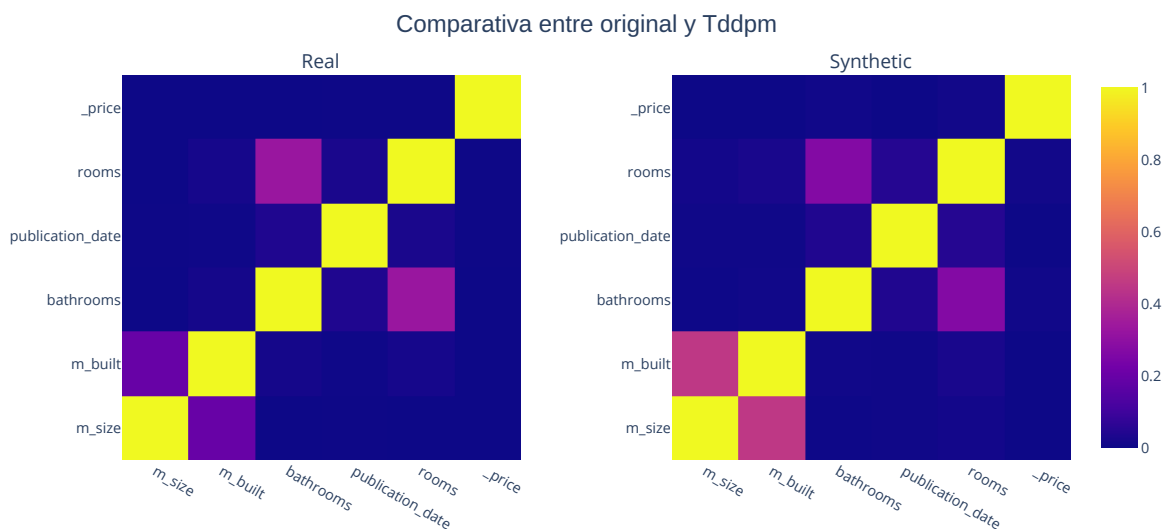


Figura 4.10: Correlación de conjunto original de entrenamiento y Tddpm, Economicos (A-2)

4.2.4. Reporte diagnóstico - Conjunto A

En las tablas detalles de cobertura 4.16 se puede ver el porqué ambos tenían una puntuación tan baja. Existen elementos con una cobertura menor al 40 %, por ejemplo, la variable `m_size`. Aun así, se puede ver que Tddpm es ligeramente mejor en la mayoría de las columnas.

Tabla 4.16: Evaluación de Cobertura Categoría-Rango para Modelos SMOTE-ENC y TDDPM_MLP, Economicos

| Columna | Metrica | smote-enc | tddpm_mlp |
|-------------------------------|------------------|--------------------------|--------------------------|
| <code>_price</code> | RangeCoverage | 9.68e-01±5.48e-02 | 9.66e-01±3.30e-02 |
| <code>bathrooms</code> | CategoryCoverage | 8.63e-01±3.40e-02 | 6.76e-01±2.94e-02 |
| <code>county</code> | CategoryCoverage | 5.97e-01±3.73e-03 | 7.87e-01±2.27e-02 |
| <code>m_built</code> | RangeCoverage | 5.52e-01±3.16e-01 | 7.71e-01±3.97e-01 |
| <code>m_size</code> | RangeCoverage | 1.79e-02±8.52e-03 | 3.36e-01±4.53e-02 |
| <code>property_type</code> | CategoryCoverage | 6.67e-01±5.56e-02 | 9.07e-01±3.21e-02 |
| <code>publication_date</code> | RangeCoverage | 9.70e-01±5.80e-03 | 9.81e-01±2.86e-03 |
| <code>rooms</code> | CategoryCoverage | 7.40e-01±1.41e-02 | 7.80e-01±6.45e-02 |
| <code>state</code> | CategoryCoverage | 7.92e-01±3.61e-02 | 9.58e-01±3.61e-02 |
| <code>transaction_type</code> | CategoryCoverage | 5.00e-01±0.00e+00 | 7.50e-01±2.50e-01 |

La escasa cobertura en `m_size` podría atribuirse a su distribución. Como se ilustra en la figura 4.11, esta presenta una larga cola, caracterizada por valores altos pero infrecuentes.

Distribución Variable M Size

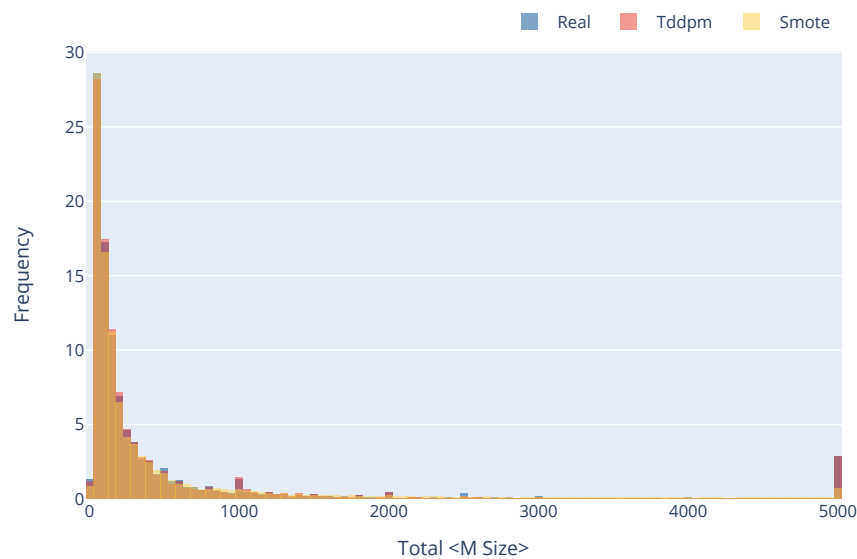


Figura 4.11: Frecuencia del campo M size en el modelo real y Top 2, Economicos (A-2)

4.2.5. Reporte de calidad - Conjunto A

Ambos modelos muestran un buen rendimiento en cuanto a la forma y la distribución de los datos, como se evidencia en la Tabla 4.17. Como se vio en la Figura 4.11 una buena distribución no asegura una cobertura completa.

Tabla 4.17: Evaluación de Similitud de Distribución para Modelos SMOTE-ENC y TDDPM_MLP, Economicos

| Columna | Metrica | smote-enc | tddpm_mlp |
|------------------|--------------|--------------------------|--------------------------|
| _price | KSComplement | 9.90e-01±1.16e-03 | 9.88e-01±3.17e-03 |
| bathrooms | TVComplement | 9.96e-01±5.34e-04 | 9.86e-01±4.99e-04 |
| county | TVComplement | 9.20e-01±1.01e-03 | 9.65e-01±2.54e-03 |
| m_built | KSComplement | 9.87e-01±7.24e-04 | 9.87e-01±1.32e-03 |
| m_size | KSComplement | 9.74e-01±1.11e-03 | 9.85e-01±8.91e-04 |
| property_type | TVComplement | 9.68e-01±1.75e-03 | 9.81e-01±2.30e-03 |
| publication_date | KSComplement | 9.79e-01±2.43e-03 | 9.86e-01±3.20e-03 |
| rooms | TVComplement | 9.78e-01±1.42e-03 | 9.82e-01±3.04e-03 |
| state | TVComplement | 9.67e-01±3.85e-03 | 9.84e-01±1.79e-04 |
| transaction_type | TVComplement | 9.99e-01±8.21e-04 | 9.96e-01±2.73e-03 |

4.2.6. Privacidad - Conjunto A

Resulta interesante notar que, para el percentil 1 y el 5, en las Tablas 4.19 y 4.18 respectivamente, el modelo Tddpm demuestra que la cercanía de los registros más próximos es predominante al comparar el conjunto sintético con el conjunto de retención (*Hold*). Este fenómeno no se evidencia en ninguna otra comparación. Asimismo, se destaca que las diferencias mínimas llegan a cero en los dos modelos más efectivos (Tddpm y Smote), y que los valores de distancia son extremadamente reducidos. Para el percentil 5, Tddpm registra una distancia de $4,48 \times 10^{-9}$.

Tabla 4.18: Distancia de registros más cercanos, percentil 5, datos economicos

| Modelo | DCR ST | DCR SH | DCR TH | Score |
|----------------|--------------------------|--------------------------|-------------------|--------------------------|
| tddpm_mlp | 4.48e-09±2.32e-10 | 3.59e-08±2.38e-09 | 1.28e-08±0.00e+00 | 9.79e-01±1.27e-03 |
| smote-enc | 3.15e-11±3.01e-12 | 4.22e-08±2.49e-09 | 1.28e-08±0.00e+00 | 9.69e-01±6.71e-04 |
| copulagan | 1.37e-06±1.76e-07 | 2.86e-06±3.82e-07 | 1.28e-08±0.00e+00 | 7.68e-01±2.96e-02 |
| ctgan | 1.49e-05±5.01e-06 | 2.42e-05±9.67e-06 | 1.28e-08±0.00e+00 | 6.98e-01±2.63e-02 |
| gaussiancopula | 5.28e-06±0.00e+00 | 8.21e-06±0.00e+00 | 1.28e-08±0.00e+00 | 6.92e-01±0.00e+00 |
| tvae | 3.90e-07±1.08e-07 | 7.80e-07±2.49e-07 | 1.28e-08±0.00e+00 | 6.12e-01±2.50e-02 |

Tabla 4.19: Distancia de registros más cercanos, percentil 1, datos economicos

| Modelo | DCR ST | DCR SH | DCR TH | Score |
|----------------|--------------------------|--------------------------|-------------------|--------------------------|
| tddpm_mlp | 1.46e-10±3.86e-12 | 1.44e-09±1.01e-10 | 0.00e+00±0.00e+00 | 9.79e-01±1.27e-03 |
| smote-enc | 0.00e+00±0.00e+00 | 1.54e-09±5.32e-13 | 0.00e+00±0.00e+00 | 9.69e-01±6.71e-04 |
| copulagan | 1.97e-07±4.64e-08 | 4.53e-07±9.95e-08 | 0.00e+00±0.00e+00 | 7.68e-01±2.96e-02 |
| ctgan | 3.18e-06±4.34e-07 | 5.23e-06±1.44e-06 | 0.00e+00±0.00e+00 | 6.98e-01±2.63e-02 |
| gaussiancopula | 7.84e-07±7.49e-23 | 1.75e-06±0.00e+00 | 0.00e+00±0.00e+00 | 6.92e-01±0.00e+00 |
| tvae | 1.48e-07±9.24e-08 | 2.35e-07±1.18e-07 | 0.00e+00±0.00e+00 | 6.12e-01±2.50e-02 |

Tabla 4.20: Distancia de registros más cercanos, minimo, datos economicos

| Modelo | DCR ST | DCR SH | DCR TH | Score |
|----------------|--------------------------|--------------------------|-------------------|--------------------------|
| tddpm_mlp | 0.00e+00±0.00e+00 | 0.00e+00±0.00e+00 | 0.00e+00±0.00e+00 | 9.79e-01±1.27e-03 |
| smote-enc | 0.00e+00±0.00e+00 | 0.00e+00±0.00e+00 | 0.00e+00±0.00e+00 | 9.69e-01±6.71e-04 |
| copulagan | 5.88e-09±2.05e-09 | 1.21e-08±3.19e-09 | 0.00e+00±0.00e+00 | 7.68e-01±2.96e-02 |
| ctgan | 2.83e-08±3.88e-08 | 6.05e-08±2.56e-08 | 0.00e+00±0.00e+00 | 6.98e-01±2.63e-02 |
| gaussiancopula | 1.13e-08±0.00e+00 | 1.75e-08±0.00e+00 | 0.00e+00±0.00e+00 | 6.92e-01±0.00e+00 |
| tvae | 5.65e-09±3.07e-09 | 2.56e-08±3.04e-08 | 0.00e+00±0.00e+00 | 6.12e-01±2.50e-02 |

También se puede observar una disminución en la relación entre el registro más cercano y el segundo más cercano en comparación con el conjunto de datos de King County. En el percentil 5, el segundo registro más cercano está a 15 veces la distancia del primero. Esta relación se reduce a 10 veces cuando se compara con el conjunto *Hold*.

Tabla 4.21: Proporción entre el más cercano y el segundo más cercano, percentil 5, datos económicos

| Modelo | NNDR ST | NNDR SH | NNDR TH | Score |
|----------------|-------------------|-------------------|-------------------|-------------------|
| tddpm_mlp | 6.88e-02±1.16e-03 | 9.85e-02±2.09e-03 | 1.31e-02±0.00e+00 | 9.79e-01±1.27e-03 |
| smote-enc | 7.17e-04±1.27e-05 | 1.12e-01±3.32e-03 | 1.31e-02±0.00e+00 | 9.69e-01±6.71e-04 |
| copulagan | 2.74e-01±3.32e-02 | 3.03e-01±4.80e-02 | 1.31e-02±0.00e+00 | 7.68e-01±2.96e-02 |
| ctgan | 2.65e-01±1.35e-02 | 2.71e-01±5.93e-02 | 1.31e-02±0.00e+00 | 6.98e-01±2.63e-02 |
| gaussiancopula | 2.93e-01±0.00e+00 | 2.76e-01±0.00e+00 | 1.31e-02±0.00e+00 | 6.92e-01±0.00e+00 |
| tvae | 3.67e-01±6.93e-02 | 4.31e-01±1.08e-01 | 1.31e-02±0.00e+00 | 6.12e-01±2.50e-02 |

Tabla 4.22: Proporción entre el más cercano y el segundo más cercano, percentil 1, datos económicos

| Modelo | NNDR ST | NNDR SH | NNDR TH | Score |
|----------------|-------------------|-------------------|-------------------|-------------------|
| tddpm_mlp | 3.00e-03±9.91e-05 | 1.04e-02±2.95e-04 | 0.00e+00±0.00e+00 | 9.79e-01±1.27e-03 |
| smote-enc | 0.00e+00±0.00e+00 | 2.47e-03±2.53e-04 | 0.00e+00±0.00e+00 | 9.69e-01±6.71e-04 |
| copulagan | 1.37e-02±3.97e-03 | 1.31e-02±1.78e-03 | 0.00e+00±0.00e+00 | 7.68e-01±2.96e-02 |
| ctgan | 4.84e-02±1.75e-02 | 3.67e-02±7.08e-03 | 0.00e+00±0.00e+00 | 6.98e-01±2.63e-02 |
| gaussiancopula | 2.67e-02±2.45e-18 | 2.95e-02±0.00e+00 | 0.00e+00±0.00e+00 | 6.92e-01±0.00e+00 |
| tvae | 5.44e-02±4.44e-02 | 1.95e-01±6.70e-02 | 0.00e+00±0.00e+00 | 6.12e-01±2.50e-02 |

Tabla 4.23: Proporción entre el más cercano y el segundo más cercano, mínimo, datos económicos

| Modelo | NNDR ST | NNDR SH | NNDR TH | Score |
|----------------|-------------------|-------------------|-------------------|-------------------|
| tddpm_mlp | 0.00e+00±0.00e+00 | 0.00e+00±0.00e+00 | 0.00e+00±0.00e+00 | 9.79e-01±1.27e-03 |
| smote-enc | 0.00e+00±0.00e+00 | 0.00e+00±0.00e+00 | 0.00e+00±0.00e+00 | 9.69e-01±6.71e-04 |
| copulagan | 1.22e-04±7.03e-05 | 1.84e-04±1.12e-04 | 0.00e+00±0.00e+00 | 7.68e-01±2.96e-02 |
| ctgan | 4.21e-04±2.19e-04 | 1.32e-03±1.54e-03 | 0.00e+00±0.00e+00 | 6.98e-01±2.63e-02 |
| gaussiancopula | 4.99e-05±0.00e+00 | 7.59e-06±1.04e-21 | 0.00e+00±0.00e+00 | 6.92e-01±0.00e+00 |
| tvae | 8.11e-04±1.77e-04 | 7.24e-03±3.14e-03 | 0.00e+00±0.00e+00 | 6.12e-01±2.50e-02 |

4.2.7. Ejemplos de registros - Conjunto A

Es fácil entender que la implicancia de un *DCR* igual a 0 es un registro copiado desde el conjunto real, esto se puede apreciar en la Tabla 4.24.

Tabla 4.24: Ejemplos para el modelo Tddpm, minimo, Economicos (A-2)

| Variable/Distancia | Sintético | DCR1 d(0.00e+00) | DCR2 d(2.26e-07) |
|--------------------|-------------|------------------|------------------|
| _price | 2859.676636 | 2859.676636 | 2800.000000 |
| bathrooms | 2.000000 | 2.000000 | 2.000000 |
| county | Los Vilos | Los Vilos | Ovalle |
| m_built | 120.000000 | 120.000000 | 122.000000 |
| m_size | 300.000000 | 300.000000 | 197.000000 |
| property_type | Casa | Casa | Casa |
| publication_date | 1545.000000 | 1545.000000 | 1545.000000 |
| rooms | 4.000000 | 4.000000 | 4.000000 |
| state | Coquimbo | Coquimbo | Coquimbo |
| transaction_type | Venta | Venta | Venta |

Ya cuando se observa el percentil 1, se puede apreciar que la diferencia se puede considerar significativa. En el caso mostrado por la Tabla 4.25, los metros cuadrados (*m_size*) y *_price* cambian y luego la variable *county* también cambian en el segundo registro más cercano.

Tabla 4.25: Ejemplos para el modelo Tddpm, percentil 1, Economicos (A-2)

| Variable/Distancia | Sintético | DCR1 d(1.42e-10) | DCR2 d(3.93e-09) |
|--------------------|---------------------------|---------------------------|---------------------------|
| _price | 10.747760 | 10.803223 | 9.214514 |
| bathrooms | 1.000000 | 1.000000 | 1.000000 |
| county | San Miguel | San Miguel | Estación Central |
| m_built | 34.000000 | 34.000000 | 34.000000 |
| m_size | 35.685290 | 36.000000 | 36.000000 |
| property_type | Departamento | Departamento | Departamento |
| publication_date | 1545.000000 | 1545.000000 | 1545.000000 |
| rooms | 1.000000 | 1.000000 | 1.000000 |
| state | Metropolitana de Santiago | Metropolitana de Santiago | Metropolitana de Santiago |
| transaction_type | Arriendo | Arriendo | Arriendo |

En las Tablas 4.26 y 4.27 se puede observar un registro con coherencia simulada. Por ejemplo, cuando decide generar un número de teléfono, este parece coherente. También menciona que está cerca de un metro, detalle que podría estar presente en una publicación real, a pesar de que el metro indicado no exista.

Tabla 4.26: Ejemplos para el modelo Tddpm, percentil 4, Economicos (A-1)

| Variable/Distancia | Sintético | DCR1 d(2.84e-09) | DCR2 d(6.74e-09) |
|--------------------|---------------------------|---------------------------|---------------------------|
| _price | 11.478674 | 10.485481 | 8.896772 |
| bathrooms | 1.000000 | 1.000000 | 1.000000 |
| county | Santiago | Santiago | Santiago |
| m_built | 38.984909 | 39.000000 | 39.000000 |
| m_size | 45.000000 | 43.000000 | 39.000000 |
| property_type | Departamento | Departamento | Departamento |
| publication_date | 1545.000000 | 1545.000000 | 1545.000000 |
| rooms | 1.000000 | 1.000000 | 1.000000 |
| state | Metropolitana de Santiago | Metropolitana de Santiago | Metropolitana de Santiago |
| transaction_type | Arriendo | Arriendo | Arriendo |

Tabla 4.27: Ejemplos de texto modelo Tddpm, percentil 4, Economicos (A-1)

| Distancia | description |
|------------------|--|
| Sintético | Departamento de 2 pisos, 1 baño con vista panorámica al centro comercial en Santiago del sector central (centros), cercano a metro Metro San Luis). El edificio cuenta con un gran living comedor que comparte una terraza completamente equipada por lavandería para dos vehículos; el primer piso: Living comedor amplio como sala de estar/cocina amoblada cerrada cubierta de granito cocina techada integrada entre todos los dormitorios más amplias estacionamiento principal se entregan inmediatamente después de las ventanas termopaneles +56 9 6 7 8 5 4 3 |
| DCR1 d(2.84e-09) | Cómodo departamento amoblado cercano al metro Santa Lucia [DISPONIBLE DESDE EL 01 DE MARZO 2022] CARACTERISTICAS - 39/43 m2 - 1 Dormitorio - 1 Baño - Sin Estacionamiento - Sin Bodega OTROS - Piso 7 - Orientación Poniente - Conexión a lavadora - Se aceptan mascotas - Full electric - Piso flotante - Ventanas Termopanel CARACTERISTICAS DEL EDIFICIO Edificio cuenta con sala multiuso, gimnasio, lavandería, ciclerero y un amplio patio interior Arrienda CUALQUIERA de nuestras propiedades y paga todos los gastos iniciales del arriendo EN CUOTAS con tu tarjeta de crédito - Primer mes de arriendo o proporcional - Mes de garantía - Comisión corredor |
| DCR2 d(6.74e-09) | Departamento de un dormitorio, en San Diego cercano a Avenida Matta y a Pedro Lagos, el metro más cercano es Parque O'higgins, el cual está a 15 minutos caminando, cercano a Universidad De Chile, Universidad Bernardo Ohiggins. Contacto Nicolás Ibáñez León+569 6577 1999. |

4.2.8. Propiedades estadísticas - Conjunto A

El listado completo de las propiedades estadísticas se encuentra en el Anexo A.10. A continuación, se presentan las propiedades estadísticas en las que los modelos Tddpm y Smote muestran una diferencia mayor al 5 % con respecto al conjunto original de entrenamiento. Como referencia, se incluye el modelo Ctgan. Las variables se seleccionaron por ser 1) las que obtuvieron el peor resultado en cobertura y 2) las que obtuvieron el peor resultado en la distribución, respectivamente.

Tabla 4.28: Propiedades estadísticas de variable m_size con cambio >5 %, Economicos (A-1)

| Variable/Modelo | Real | tddpm_mlp | smote-enc | ctgan |
|-----------------|-------------|----------------|--------------------|---------------|
| nobs | 22059 | 27574 | 27574 | 27574 |
| mean | 146269 | 1875594 | 73666 | 138617 |
| std_err | 105454 | 879088 | 46661 | 553 |
| upper_ci | 352956 | 3598574 | 165120 | 139702 |
| lower_ci | -60417 | 152614 | -17788 | 137532 |
| std | 15662334 | 145976185 | 7748272 | 91900 |
| iqr | 340.500 | 322.722 | 365.708 | 144556.805 |
| iqr_normal | 252.413 | 239.234 | 271.100 | 107160.120 |
| mad | 290635 | 3749106 | 145665 | 77299 |
| mad_normal | 364257 | 4698808 | 182564 | 96880 |
| coef_var | 107.079 | 77.829 | 105.181 | 0.663 |
| range | 2.24100e+09 | 1.54249e+10 | 1.19075e+09 | 3.92397e+05 |
| max | 2.24100e+09 | 1.54249e+10 | 1.19075e+09 | 3.92397e+05 |
| min | 0.000 | 0.440 | 1.546 | 0.000 |
| skew | 134.762 | 83.944 | 137.694 | 0.154 |
| kurtosis | 19053 | 7466 | 20489 | 2 |
| jarque_bera | 3.33616e+11 | 6.40295e+10 | 4.82276e+11 | 1.02812e+03 |
| mode_freq | 0.027 | 0.027 | 0.006 | 0.104 |
| median | 145.000 | 144.000 | 149.683 | 137376.175 |
| 0.1 % | 2.000 | 4.095 | 15.010 | 0.000 |
| 1.0 % | 22.000 | 23.844 | 25.000 | 0.000 |
| 25.0 % | 66.000 | 68.000 | 67.667 | 63804.820 |
| 75.0 % | 406.500 | 390.722 | 433.375 | 208361.625 |
| 95.0 % | 5000 | 5000 | 4313 | 292812 |
| 99.0 % | 10200 | 7698 | 9396 | 334157 |
| 99.9 % | 70000 | 34028 | 53878 | 364825 |

Tabla 4.29: Propiedades estadísticas de variable county, Economicos (A-1)

| Variable/Modelo | Real | tddpm_mlp | smote-enc | ctgan |
|-----------------|---|---|---|---|
| top5 | ['Las Condes' 'Santiago' 'Providencia' 'Vitacura' 'Lo Barnechea'] | ['Las Condes' 'Santiago' 'Providencia' 'Vitacura' 'Lo Barnechea'] | ['Las Condes' 'Santiago' 'Providencia' 'Lo Barne- chea' 'Vitacura'] | ['Las Condes' 'Santiago' 'Viña del Mar' 'Vitacu- ra' 'Providencia'] |
| top5_freq | [3233 2703 1481 1415 1322] | [4168 3463 1920 1807 1774] | [4666 3849 1951 1853 1814] | [3814 2195 1986 1508 1382] |
| top5_prob | [0.14656149 0.12253502 0.06713813 0.06414615 0.05993019] | [0.15115689 0.12558932 0.06963081 0.06553275 0.06433597] | [0.16921738 0.13958802 0.07075506 0.06720099 0.06578661] | [0.13831871 0.07960397 0.07202437 0.0546892 0.05011968] |
| nobs | 22059 | 27574 | 27574 | 27574 |
| missing | 22059 | 0 | 0 | 0 |

4.2.9. Resumen de resultados - Conjunto A

En esta sección, se proporciona un resumen de los hallazgos más significativos tras el análisis de los resultados obtenidos de los modelos Tddpm y Smote en el Conjunto A.

1. En el conjunto A, Tddpm supera a Smote y al resto de los modelos en el *SDMetrics Score*, aunque Smote tiene una cobertura que es 12 puntos inferiores a Tddpm (Sección 4.2.2).
2. A pesar de las puntuaciones generales, la visualización de correlaciones muestra que Tddpm presenta una mayor similitud en las variables *rooms* y *bathrooms* en comparación con Smote (Sección 4.2.3).
3. En cuanto a cobertura de datos, ambos modelos (Smote y Tddpm) muestran puntuaciones bajas debido a elementos con cobertura inferior al 40 %, como es el caso de la variable *m_size*. Aun así, Tddpm supera ligeramente a Smote en la mayoría de las columnas (Sección 4.2.4).
4. Se sugiere que la baja cobertura en *m_size* podría deberse a su distribución, que presenta una larga cola caracterizada por valores altos pero infrecuentes (Sección 4.2.4).
5. Ambos modelos, Smote y Tddpm, muestran un buen rendimiento en cuanto a la forma y la distribución de los datos. Sin embargo, una buena distribución no asegura una cobertura completa (Sección 4.2.5).
6. El estudio demuestra que cuando el DCR (Distancia de Copia de Registro) es igual a 0, el registro se ha copiado directamente del conjunto de datos real (Sección 4.2.7).
7. El análisis muestra que incluso con el percentil 1, las diferencias pueden ser significativas. En este caso, las variables *m_size* (metros cuadrados) y *_price* (precio) cambian, así como la variable *county* (condado) en el segundo registro más cercano (Sección 4.2.6).
8. Se observa la coherencia de simulación en algunos registros. Por ejemplo, cuando el sistema genera un número de teléfono, este parece coherente. También menciona estar cerca de un metro, detalle que podría estar presente en una publicación real, aunque el metro indicado no exista (Sección 4.2.7).
9. Propiedades estadísticas - Conjunto A: La tabla muestra las propiedades estadísticas de las variables *m_size* y *county* en el Conjunto A, donde los modelos Tddpm y Smote muestran una diferencia mayor al 5 % con respecto al conjunto original de entrenamiento. Tanto en la variable *m_size* como en la variable *county*, el modelo Tddpm muestra grandes diferencias respecto al conjunto original, indicado por las celdas marcadas en rojo. En general, parece que el modelo Tddpm tiene dificultades para replicar de manera precisa las propiedades estadísticas de estas variables. (Sección 4.2.8)

4.2.10. SDMetrics Score - Conjunto B

Iniciaría contrastando los resultados entre ambos conjuntos para el modelo Tddpm La Tabla 4.30 muestra mejores *Score*, *Coverage*, *Column Shape* y *Column Pair Trends* comparadas con la Tabla 4.15. Puede deberse que al ser una cantidad de datos mayor, pudo tener más tiempo de aprender la distribución. Mejoría no notoria en los demás modelos, lo que podría indicar una mayor capacidad de Tddpm. Se puede ver que la cobertura es el indicador más bajo, solo alcanzando el 87 % en el mejor de los casos.

Tabla 4.30: Evaluación de Métricas de Rendimiento para Diversos Modelos de Aprendizaje Automático, Economicos

| Model Name | Column Pair Trends | Column Shapes | Coverage | Boundaries | Synthesis | Score |
|----------------|--------------------------|--------------------------|--------------------------|--------------------------|--------------------------|--------------------------|
| tddpm_mlp | 9.78e-01±2.79e-03 | 9.91e-01±1.71e-03 | 8.74e-01±3.37e-03 | 1.00e+00±0.00e+00 | 9.71e-01±2.17e-03 | 9.84e-01±1.85e-03 |
| smote-enc | 9.65e-01±1.01e-03 | 9.20e-01±1.07e-04 | 7.04e-01±3.34e-02 | 1.00e+00±0.00e+00 | 9.31e-01±3.00e-03 | 9.43e-01±4.67e-04 |
| copulagan | 7.67e-01±2.32e-02 | 7.81e-01±1.75e-02 | 6.33e-01±5.61e-04 | 1.00e+00±0.00e+00 | 1.00e+00±0.00e+00 | 7.74e-01±2.02e-02 |
| tvae | 7.77e-01±1.68e-02 | 7.00e-01±1.76e-02 | 2.77e-01±3.70e-03 | 1.00e+00±0.00e+00 | 1.00e+00±0.00e+00 | 7.38e-01±1.48e-02 |
| ctgan | 7.72e-01±1.35e-02 | 6.96e-01±8.58e-03 | 6.32e-01±9.52e-04 | 1.00e+00±0.00e+00 | 1.00e+00±0.00e+00 | 7.34e-01±5.42e-03 |
| gaussiancopula | 6.32e-01±0.00e+00 | 6.30e-01±7.85e-17 | 5.63e-01±0.00e+00 | 1.00e+00±0.00e+00 | 1.00e+00±0.00e+00 | 6.31e-01±0.00e+00 |

4.2.11. Correlación - Conjunto B

Los modelos Smote y Tddpm, al ser comparados con el conjunto original, presentan diferencias marcadas. Los conjuntos sintéticos han creado correlaciones que no se ven presentes en los datos originales. En el caso del modelo Smote, se presentan correlaciones en las variables *bathrooms*, *m_size*-*m_built*; mientras que Tddpm adicionalmente genera una correlación entre *_price*-*m_size* y *_price*-*m_built*.

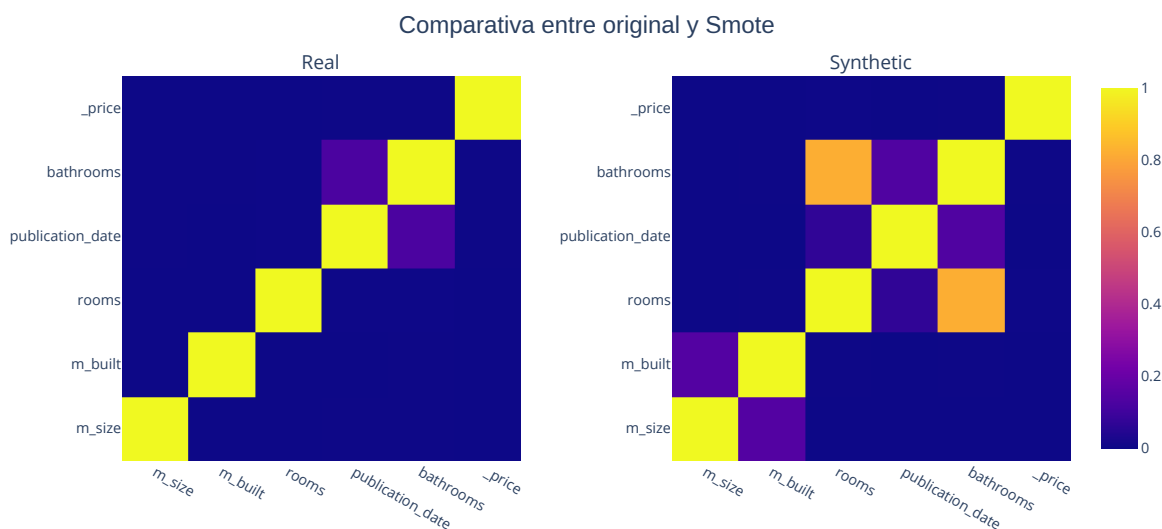


Figura 4.12: Correlación de conjunto original de entrenamiento y Smote, Economicos (B-1)

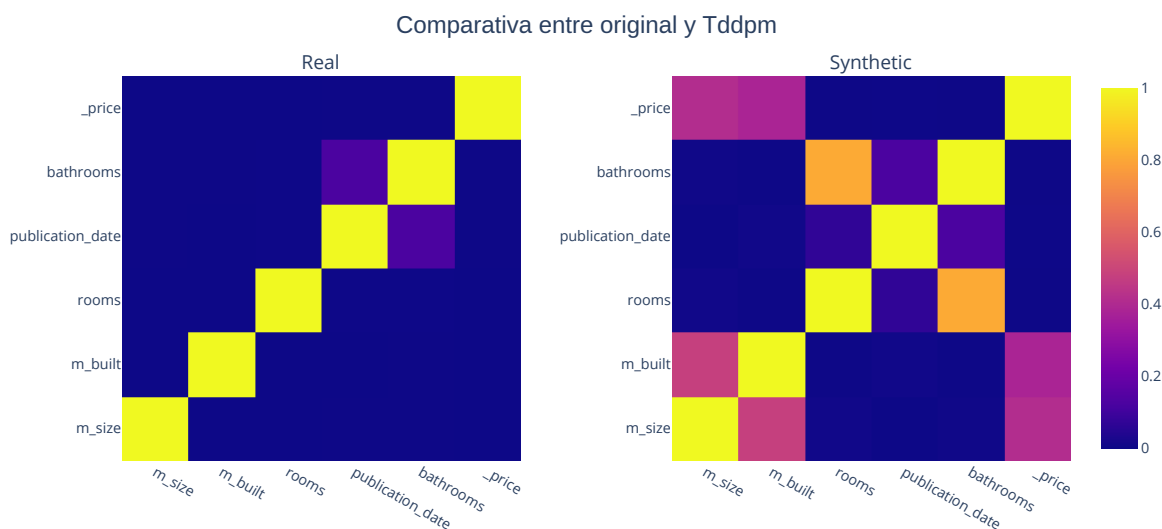


Figura 4.13: Correlación de conjunto original de entrenamiento y Tddpm, Economicos (B-1)

4.2.12. Reporte diagnóstico - Conjunto B

La cobertura es notablemente baja en las variables *rooms* y *m_size* en Smote, y en *bathrooms* y *rooms* en el caso de Tddpm. En general, el modelo Tddpm es ligeramente superior a Smote.

Tabla 4.31: Evaluación de Cobertura Categoría-Rango para Modelos SMOTE-ENC y TDDPM_MLP, Economicos

| Columna | Metrica | smote-enc | tddpm_mlp |
|------------------|------------------|--------------------------|--------------------------|
| _price | RangeCoverage | 1.00e+00±0.00e+00 | 1.00e+00±0.00e+00 |
| bathrooms | CategoryCoverage | 7.59e-01±3.45e-02 | 4.77e-01±3.59e-02 |
| county | CategoryCoverage | 8.19e-01±9.11e-03 | 8.66e-01±1.49e-02 |
| m_built | RangeCoverage | 8.78e-02±1.49e-02 | 1.00e+00±0.00e+00 |
| m_size | RangeCoverage | 2.53e-01±2.92e-01 | 1.00e+00±0.00e+00 |
| property_type | CategoryCoverage | 7.28e-01±4.28e-02 | 9.01e-01±5.66e-02 |
| publication_date | RangeCoverage | 9.66e-01±5.52e-02 | 1.00e+00±0.00e+00 |
| rooms | CategoryCoverage | 4.23e-01±2.28e-02 | 4.93e-01±1.49e-02 |
| state | CategoryCoverage | 1.00e+00±0.00e+00 | 1.00e+00±0.00e+00 |
| transaction_type | CategoryCoverage | 1.00e+00±0.00e+00 | 1.00e+00±0.00e+00 |

4.2.13. Reporte de calidad - Conjunto B

Ambos modelos presentan buenas métricas, superando el 91 % en términos de distribución y forma. Sin embargo, se observan excepciones en los casos de *m_built* (85 %) y *m_size* (55 %).

Tabla 4.32: Evaluación de Similitud de Distribución para Modelos SMOTE-ENC y TDDPM_MLP, Economicos

| Columna | Metrica | smote-enc | tddpm_mlp |
|------------------|--------------|--------------------------|--------------------------|
| _price | KSComplement | 9.85e-01±1.94e-04 | 9.93e-01±8.05e-04 |
| bathrooms | TVComplement | 9.98e-01±3.13e-04 | 9.95e-01±4.98e-04 |
| county | TVComplement | 9.10e-01±5.37e-04 | 9.84e-01±2.56e-03 |
| m_built | KSComplement | 8.56e-01±1.32e-03 | 9.91e-01±1.44e-03 |
| m_size | KSComplement | 5.51e-01±8.46e-07 | 9.90e-01±2.65e-03 |
| property_type | TVComplement | 9.79e-01±7.12e-04 | 9.89e-01±3.27e-03 |
| publication_date | KSComplement | 9.66e-01±9.67e-05 | 9.91e-01±5.41e-03 |
| rooms | TVComplement | 9.87e-01±9.57e-04 | 9.95e-01±7.29e-04 |
| state | TVComplement | 9.78e-01±4.57e-04 | 9.90e-01±1.06e-03 |
| transaction_type | TVComplement | 9.94e-01±1.97e-04 | 9.97e-01±1.53e-03 |

4.2.14. Privacidad - Conjunto B

Las distancias mínimas para los percentiles 5 y 1 son varias magnitudes menores en el Conjunto B que en el Conjunto A, pasando de $\times 10^{-9}$ en el Conjunto A a $\times 10^{-15}$ en el Conjunto B, como se puede ver al comparar la Tabla 4.33 con la Tabla 4.18. Se puede afirmar que el 95 % de los registros tiene al menos una distancia de $9,12 \times 10^{-15}$.

Tabla 4.33: Distancia de registros más cercanos, percentil 5, datos economicos

| Modelo | DCR ST | DCR SH | DCR TH | Score |
|----------------|--------------------------|--------------------------|-------------------|--------------------------|
| tddpm_mlp | 9.12e-15±1.09e-15 | 9.99e-15±8.14e-16 | 9.00e-17±0.00e+00 | 9.84e-01±1.85e-03 |
| smote-enc | 9.19e-15±6.41e-16 | 1.17e-14±6.96e-16 | 9.00e-17±0.00e+00 | 9.43e-01±4.67e-04 |
| copulagan | 2.65e-16±1.60e-16 | 2.84e-16±1.73e-16 | 9.00e-17±0.00e+00 | 7.74e-01±2.02e-02 |
| tvae | 1.00e-09±1.74e-09 | 1.00e-09±1.74e-09 | 9.00e-17±0.00e+00 | 7.38e-01±1.48e-02 |
| ctgan | 7.29e-09±8.52e-09 | 7.35e-09±8.45e-09 | 9.00e-17±0.00e+00 | 7.34e-01±5.42e-03 |
| gaussiancopula | 9.23e-13±0.00e+00 | 1.02e-12±0.00e+00 | 9.00e-17±0.00e+00 | 6.31e-01±0.00e+00 |

Tabla 4.34: Distancia de registros más cercanos, percentil 1, datos economicos

| Modelo | DCR ST | DCR SH | DCR TH | Score |
|----------------|--------------------------|--------------------------|-------------------|--------------------------|
| tddpm_mlp | 4.63e-16±2.28e-17 | 4.16e-16±3.23e-17 | 0.00e+00±0.00e+00 | 9.84e-01±1.85e-03 |
| smote-enc | 1.83e-16±9.41e-18 | 2.54e-16±1.73e-17 | 0.00e+00±0.00e+00 | 9.43e-01±4.67e-04 |
| copulagan | 9.00e-17±1.01e-26 | 9.00e-17±1.30e-26 | 0.00e+00±0.00e+00 | 7.74e-01±2.02e-02 |
| tvae | 2.41e-16±4.18e-16 | 2.38e-16±4.12e-16 | 0.00e+00±0.00e+00 | 7.38e-01±1.48e-02 |
| ctgan | 1.57e-16±2.72e-16 | 1.87e-16±3.25e-16 | 0.00e+00±0.00e+00 | 7.34e-01±5.42e-03 |
| gaussiancopula | 1.15e-15±0.00e+00 | 1.37e-15±0.00e+00 | 0.00e+00±0.00e+00 | 6.31e-01±0.00e+00 |

Tabla 4.35: Distancia de registros más cercanos, minimo, datos economicos

| Modelo | DCR ST | DCR SH | DCR TH | Score |
|----------------|--------------------------|--------------------------|-------------------|--------------------------|
| tddpm_mlp | 0.00e+00±0.00e+00 | 0.00e+00±0.00e+00 | 0.00e+00±0.00e+00 | 9.84e-01±1.85e-03 |
| smote-enc | 0.00e+00±0.00e+00 | 0.00e+00±0.00e+00 | 0.00e+00±0.00e+00 | 9.43e-01±4.67e-04 |
| copulagan | 4.57e-19±3.77e-21 | 5.21e-19±1.82e-22 | 0.00e+00±0.00e+00 | 7.74e-01±2.02e-02 |
| tvae | 8.99e-20±0.00e+00 | 8.99e-20±0.00e+00 | 0.00e+00±0.00e+00 | 7.38e-01±1.48e-02 |
| ctgan | 8.99e-20±0.00e+00 | 8.99e-20±0.00e+00 | 0.00e+00±0.00e+00 | 7.34e-01±5.42e-03 |
| gaussiancopula | 5.23e-19±0.00e+00 | 5.09e-19±0.00e+00 | 0.00e+00±0.00e+00 | 6.31e-01±0.00e+00 |

De las Tablas 4.36, 4.37 y 4.38 emergen dos características notables. La primera es que en el percentil 1 y el 5, en ambos casos, el modelo Tddpm mantiene la mayor razón entre el primer y el segundo registro más cercano. La segunda es que, al compararse con el Conjunto A (referenciado en la Tabla 4.22), la razón para el modelo Tddpm resulta ser superior.

Tabla 4.36: Proporción entre el más cercano y el segundo más cercano, percentil 5, datos económicos

| Modelo | NNDR ST | NNDR SH | NNDR TH | Score |
|----------------|--------------------------|--------------------------|-------------------|--------------------------|
| tddpm_mlp | 3.03e-01±4.42e-03 | 2.96e-01±1.27e-02 | 1.15e-07±0.00e+00 | 9.84e-01±1.85e-03 |
| smote-enc | 2.47e-01±3.63e-03 | 2.60e-01±6.24e-03 | 1.15e-07±0.00e+00 | 9.43e-01±4.67e-04 |
| copulagan | 1.07e-05±4.91e-06 | 2.27e-05±1.82e-05 | 1.15e-07±0.00e+00 | 7.74e-01±2.02e-02 |
| tvae | 4.28e-04±2.75e-04 | 4.49e-04±2.88e-04 | 1.15e-07±0.00e+00 | 7.38e-01±1.48e-02 |
| ctgan | 2.10e-03±7.18e-04 | 7.23e-03±1.01e-02 | 1.15e-07±0.00e+00 | 7.34e-01±5.42e-03 |
| gaussiancopula | 1.52e-02±0.00e+00 | 1.38e-02±0.00e+00 | 1.15e-07±0.00e+00 | 6.31e-01±0.00e+00 |

Tabla 4.37: Proporción entre el más cercano y el segundo más cercano, percentil 1, datos económicos

| Modelo | NNDR ST | NNDR SH | NNDR TH | Score |
|----------------|--------------------------|--------------------------|-------------------|--------------------------|
| tddpm_mlp | 3.14e-02±4.92e-03 | 3.08e-02±3.94e-03 | 0.00e+00±0.00e+00 | 9.84e-01±1.85e-03 |
| smote-enc | 2.52e-03±1.07e-03 | 3.47e-03±2.68e-04 | 0.00e+00±0.00e+00 | 9.43e-01±4.67e-04 |
| copulagan | 5.33e-09±1.38e-09 | 1.15e-07±1.65e-07 | 0.00e+00±0.00e+00 | 7.74e-01±2.02e-02 |
| tvae | 3.02e-05±4.14e-05 | 3.04e-05±4.15e-05 | 0.00e+00±0.00e+00 | 7.38e-01±1.48e-02 |
| ctgan | 1.21e-04±1.18e-04 | 1.35e-04±1.66e-04 | 0.00e+00±0.00e+00 | 7.34e-01±5.42e-03 |
| gaussiancopula | 6.43e-06±0.00e+00 | 6.43e-06±0.00e+00 | 0.00e+00±0.00e+00 | 6.31e-01±0.00e+00 |

Tabla 4.38: Proporción entre el más cercano y el segundo más cercano, mínimo, datos económicos

| Modelo | NNDR ST | NNDR SH | NNDR TH | Score |
|----------------|--------------------------|--------------------------|-------------------|--------------------------|
| tddpm_mlp | 0.00e+00±0.00e+00 | 0.00e+00±0.00e+00 | 0.00e+00±0.00e+00 | 9.84e-01±1.85e-03 |
| smote-enc | 0.00e+00±0.00e+00 | 0.00e+00±0.00e+00 | 0.00e+00±0.00e+00 | 9.43e-01±4.67e-04 |
| copulagan | 6.76e-13±2.95e-13 | 1.49e-12±5.43e-13 | 0.00e+00±0.00e+00 | 7.74e-01±2.02e-02 |
| tvae | 1.51e-12±1.68e-13 | 4.64e-12±1.76e-13 | 0.00e+00±0.00e+00 | 7.38e-01±1.48e-02 |
| ctgan | 2.46e-12±1.48e-12 | 3.61e-12±2.05e-12 | 0.00e+00±0.00e+00 | 7.34e-01±5.42e-03 |
| gaussiancopula | 5.50e-14±0.00e+00 | 1.81e-12±0.00e+00 | 0.00e+00±0.00e+00 | 6.31e-01±0.00e+00 |

4.2.15. Ejemplos de registros - Conjunto B

En el ejemplo de las Tablas 4.39 y 4.40, corresponde a un departamento de dos dormitorios.

Tabla 4.39: Ejemplos para el modelo Tddpm, percentil 2, Economicos (B-1)

| Variable/Distancia | Sintético | DCR1 d(1.24e-15) | DCR2 d(7.82e-13) |
|--------------------|--------------|---------------------------|---------------------------|
| _price | 9.128134 | 12.735812 | 2490.000000 |
| bathrooms | 1.000000 | 1.000000 | 1.000000 |
| county | Valparaíso | Santiago | Santiago |
| m_built | 50.000000 | 41.000000 | 4929.000000 |
| m_size | 48.000000 | 43.000000 | -1.000000 |
| property_type | Departamento | Departamento | Departamento |
| publication_date | 350.000000 | 350.000000 | 350.000000 |
| rooms | 2.000000 | 2.000000 | 2.000000 |
| state | Valparaíso | Metropolitana de Santiago | Metropolitana de Santiago |
| transaction_type | Arriendo | Arriendo | Venta |

Tabla 4.40: Ejemplos de texto modelo Tddpm, percentil 2, Economicos (B-1)

| Distancia | description |
|------------------|---|
| Sintético | Departamento de dos dormitorios, 2 baños, living comedor con salida a terraza, cocina amoblada equipada (incluye encimera), horno empotrado, campana, cubierta de granito, logia cerrada, estacionamiento subterráneo, bodega |
| DCR1 d(1.24e-15) | <p>Corredor arrienda, disponible inmediato, cercano a metro Franklin línea 2 y 6, supermercado 10, barrio Franklin y Bio Bio, amplio comercio, plazas, otros. Edificio Zenteno Efficient, año 2018, nuevo sin uso.</p> <p>San Diego 1721 ? Piso medio, 2 dormitorios, uno grande otro pequeño para cama de 1 plaza, 1 baño completo, cocina integrada, espacio para lavadora, sin balcón, sistema full electric en cocina, horno y termo electrico.</p> <p>Requisitos: 1.- Obligatorio 12 Cheques, puede ser del aval 2.- Sueldo TITULAR 3 veces el arriendo 3.- Certificado AFP últimos 12 meses 4.- Informe Dicom Platinum 5.- Cédula por ambos lados 6.- 1 mes de arriendo, 1 en garantía y comisión 50 %</p> <p>El Edificio cuenta con lavandería, sala multiuso, seguridad 24/7</p> |
| DCR2 d(7.82e-13) | <p>SE VENDE, Departamento CONDOMINIO EDIFICIO AVENIDA MATTA PLAZA, accesos controlados 24/7, cámaras de seguridad, alarma, timbres de pánico en cada Dpto, Ventanas de termopanel, citófono, cocina equipada con cubierta de granito, Hermosas áreas de jardines, 2 Dormitorios principal con Woking Closet y 1 Baño, Gimnasio equipado, Sala multiusos, Quinchos, Piscina, Sala primeros auxilios, Terrazas en segundo piso, Sala lavandería, estacionamientos de visitas. Excelente conectividad, Metro Irrazabal, privacidad y tranquilidad, además, cerca de supermercados, centros comerciales, jardines y colegios. Metros Cuadrados Metros Construidos: 47,29 M². Terraza Construida: 3 M². Terminaciones Piso baños: Cerámicos. Piso Living: Piso Flotante. Dormitorios: Alfombrados y Porcelanato. Otros suministros internet, teléfono, tv cable, wi-fi, Gastos Comunes \$ 50.000, No se paga Contribuciones. Precio: UF 2.490. ¡¡¡NO deje de visitar¡¡¡ Contáctanos: Carlos Miranda: +569 75894834. Paulina Montt: +569 96761295. Daniela Aguirre: +569 93221157. Email:: contacto@lodgepropiedades.cl</p> |

En el ejemplo presentado en las Tablas 4.41 y 4.42, el registro sintético muestra coherencia con los datos de entrada. Por ejemplo, el texto generado corresponde a un departamento con dos dormitorios, aunque indica la existencia de un baño adicional en comparación con los datos de la publicación. Sin embargo, no proporciona otra información relevante que pueda correlacionarse con los datos estructurados de la publicación.

Tabla 4.41: Ejemplos para el modelo Tddpm, percentil 4, Economicos (B-1)

| Variable/Distancia | Sintético | DCR1 d(5.13e-15) | DCR2 d(1.00e-09) |
|--------------------|---------------------------|---------------------------|---------------------------|
| _price | 16.231131 | 11.115125 | 16.672687 |
| bathrooms | 1.000000 | 1.000000 | 1.000000 |
| county | Ñuñoa | Pudahuel | La Florida |
| m_built | 54.023199 | -1.000000 | 200.000000 |
| m_size | 57.000000 | -1.000000 | 270.000000 |
| property_type | Departamento | Casa | Casa |
| publication_date | 142.000000 | 142.000000 | 142.000000 |
| rooms | 2.000000 | 2.000000 | 3.000000 |
| state | Metropolitana de Santiago | Metropolitana de Santiago | Metropolitana de Santiago |
| transaction_type | Arriendo | Arriendo | Arriendo |

Tabla 4.42: Ejemplos de texto modelo Tddpm, percentil 4, Economicos (B-1)

| Distancia | description |
|------------------|---|
| Sintético | Departamento de dos dormitorios, 2 baños, living comedor con salida a terraza, cocina amoblada equipada encimera, horno empotrado, campana, logia cerrada, estacionamiento subterráneo para vehículos (conserjería las 24 horas) |
| DCR1 d(5.13e-15) | Casa interior, entrada independiente, dos dormitorios, baño, cocina comedor, pequeño patio, cerca de negocios, supermercados, servicio urgencia, consultorio, cerca metro pudahuel, 300.000 mensual, 1 meses garantia, luz y agua adicional. Solo personas quieran vivir lugar tranquilo. Consultas 9-44104648 llama coordina tu visita, sin estacionamiento llamar lunes a viernes desde las 17:30, sabado y domingo mismo horario |
| DCR2 d(1.00e-09) | Arriendo Comercial / Habitacional. Casa aislada. Entrada auto (2) prestación de Servicios computacionales, asesorias mas informacion al correo mh@rammsy.cl |

4.2.16. Propiedades estadísticas - Conjunto B

El listado completo de las propiedades estadísticas se encuentra en el Anexo A.11. A continuación, se presentan las propiedades estadísticas en las que los modelos Tddpm y Smote muestran una diferencia mayor al 5 % con respecto al conjunto original de entrenamiento. Como referencia, se incluye el modelo Ctgan. Las variables se seleccionaron por ser 1) las que obtuvieron el peor resultado en cobertura y 2) las que obtuvieron el peor resultado en la distribución, respectivamente.

Tabla 4.43: Propiedades estadísticas de variable bathrooms con cambio >5 %, Economicos (B-1)

| Variable/Modelo | Real | tddpm_mlp | smote-enc | ctgan |
|-----------------|-------------|-------------|--------------|--------------------|
| nobs | 545870 | 682338 | 682338 | 682338 |
| mean | 0.815 | 0.790 | 0.809 | 1.507 |
| std_err | 0.003 | 0.002 | 0.002 | 0.007 |
| upper_ci | 0.820 | 0.793 | 0.813 | 1.521 |
| lower_ci | 0.810 | 0.786 | 0.805 | 1.493 |
| std | 1.898 | 1.609 | 1.691 | 5.740 |
| mad | 1.376 | 1.359 | 1.375 | 2.494 |
| mad_normal | 1.725 | 1.703 | 1.723 | 3.126 |
| coef_var | 2.328 | 2.037 | 2.089 | 3.809 |
| range | 437.000 | 116.000 | 146.000 | 437.000 |
| max | 436.000 | 115.000 | 145.000 | 436.000 |
| skew | 36.380 | 1.000 | 3.134 | 15.447 |
| kurtosis | 6629 | 41 | 165 | 527 |
| jarque_bera | 9.98582e+11 | 4.22514e+07 | 7.44954e+08 | 7.84347e+09 |
| 99.9 % | 9.000 | 7.000 | 9.000 | 83.000 |

Tabla 4.44: Propiedades estadísticas de variable *m_size* con cambio >5 %, Economicos (B-1)

| Variable/Modelo | Real | tddpm_mlp | smote-enc | ctgan |
|-----------------|--------------|--------------------|---------------------|----------------------|
| nobs | 545870 | 682338 | 682338 | 682338 |
| mean | 2.03551e+16 | 1.54755e+18 | 3.16803e+11 | 1.86487e+15 |
| std_err | 2.03549e+16 | 1.25490e+17 | 1.82548e+11 | 3.05751e+12 |
| upper_ci | 6.02499e+16 | 1.79351e+18 | 6.74592e+11 | 1.87086e+15 |
| lower_ci | -1.95397e+16 | 1.30160e+18 | -4.09850e+10 | 1.85888e+15 |
| std | 1.50388e+19 | 1.03659e+20 | 1.50792e+14 | 2.52561e+15 |
| iqr | 181.000 | 171.000 | 210.281 | 3211862663343589.000 |
| iqr_normal | 134.176 | 126.762 | 155.882 | 2380957355104258.000 |
| mad | 4.07100e+16 | 3.09404e+18 | 6.33595e+11 | 2.03095e+15 |
| mad_normal | 5.10224e+16 | 3.87781e+18 | 7.94093e+11 | 2.54542e+15 |
| coef_var | 738.823 | 66.983 | 475.979 | 1.354 |
| range | 1.11111e+22 | 1.11111e+22 | 8.17891e+16 | 2.07066e+16 |
| max | 1.11111e+22 | 1.11111e+22 | 8.17891e+16 | 2.07066e+16 |
| min | -1000.000 | -1000.000 | -881.043 | -1000.000 |
| skew | 738.828 | 82.168 | 507.710 | 1.473 |
| kurtosis | 545868 | 7532 | 264489 | 5 |
| jarque_bera | 6.77722e+15 | 1.61221e+12 | 1.98885e+15 | 3.39104e+05 |
| mode_freq | 0.449 | 0.454 | 0.279 | 0.454 |
| median | 36.000 | 37.000 | 46.170 | 472364610529319.625 |
| 75.0 % | 180.000 | 170.000 | 209.281 | 3211862663342589.000 |
| 95.0 % | 5000 | 5000 | 5070 | 7129564968780261 |
| 99.0 % | 50000 | 44090 | 68451 | 9903363003858036 |
| 99.9 % | 4920000 | 1753435 | 6574780 | 13009696522973218 |

4.3. Resumen de los Resultados

En esta sección, se proporciona un resumen de los hallazgos más significativos tras el análisis de los resultados obtenidos de los modelos Tddpm y Smote en el Conjunto B.

1. El modelo Tddpm obtuvo mejores Score, Coverage, Column Shape y Column Pair Trends en comparación con el conjunto A. Esto podría deberse a una mayor cantidad de datos, permitiendo más tiempo para aprender la distribución. Los otros modelos no mostraron una mejora notable, indicando una mayor capacidad de Tddpm. La cobertura más baja fue del 47 % en el peor de los casos (Sección 4.2.10 y 4.2.12).
2. Los modelos Smote y Tddpm presentaron diferencias marcadas al ser comparados con el conjunto original, creando correlaciones no presentes en los datos originales. Para Smote, las correlaciones fueron entre las variables *bathrooms-rooms* y *m_size-m_built*. Tddpm generó adicionalmente correlaciones entre *_price-m_size* y *_price-m_built* (Sección 4.2.11).
3. La cobertura fue notablemente baja en las variables *rooms* y *m_size* en Smote, y en *bathrooms* y *rooms* en Tddpm. En general, Tddpm superó ligeramente a Smote. (Sección 4.2.12)

4. Ambos modelos, Smote y Tddpm, presentaron buenas métricas, superando el 91 % en términos de distribución y forma. Sin embargo, hubo excepciones en Smote, los casos de *m_built* (85 %) y *m_size* (55 %) (Sección 4.2.13).
5. Las distancias mínimas para los percentiles 5 y 1 fueron considerablemente menores en el Conjunto B que en el Conjunto A. Se puede afirmar que el 95 % de los registros tiene al menos una distancia de $9,12 \times 10^{-15}$ (Sección 4.2.14).
6. En el conjunto B, el modelo Tddpm generó departamentos de dos dormitorios con características y diferencias notables entre los datos sintéticos y a pesar de estar en el percentil 2 más cercano (Sección 4.2.15).
7. En el modelo Tddpm la variable *bathrooms* posee un máximo, skew y Jarque-Bera distintos a los reales. Estas son las propiedades que consistentemente el modelo le ha ido peor. (Sección 4.2.16).

Capítulo 5

Conclusiones y discusión

Este capítulo resume y discute los hallazgos clave derivados de nuestro estudio sobre la generación de conjuntos de datos sintéticos estructurados, incluyendo textos. Se centra en la evaluación de diferentes modelos generativos y el análisis de métricas relevantes para la calidad de los datos. Además, se reflexiona sobre las implicaciones de la utilidad frente a la privacidad en los datos sintéticos, y se destaca el valor del modelo **Tddpm** para la preservación de la privacidad. Finalmente, se identifican limitaciones y se proponen caminos para investigaciones futuras, especialmente en lo que respecta a la creciente importancia de la generación de texto y la evaluación de la privacidad en dicho contexto.

5.1. Conclusiones

El objetivo principal de este estudio fue desarrollar un mecanismo para generar conjuntos de datos sintéticos estructurados, incluyendo textos, y comparar estos datos generados con sus contrapartes originales. Para lograr esto, se elaboró código y se examinaron los resultados producidos por varios enfoques, incluyendo **Tddpm**, **Smote**, **Ctgan**, **Tablepreset**, **Copulagan**, **Gaussiancopula** y **Tvae** para datos tabulares. Cada uno de estos modelos ha mostrado un grado de éxito notable en términos de distribución, correlación y cobertura. En lo que respecta a la generación de texto, se empleó el modelo **mt5**, que es un derivado de la serie de modelos **T5** y fue *fine-tuned* para el conjunto original. Este modelo ha demostrado su capacidad para producir textos coherentes basados en las entradas proporcionadas, aunque decepcionante en su capacidad de diversidad de los textos generados. Si se observa el anexo A.7 se puede notar que existen inicios de texto repetidos "Piso de madera en", "Departamento de 2 piso" son dos frecuentes inicios. Lo anterior no invalida la generación.

Además, se presentaron comparativas de métricas para facilitar la selección de modelos. Entre estas métricas se incluyen el **SDMetric Score**, que considera la distribución a través de las tendencias de pares de columnas (*Column Pair Trends*) y las formas de las columnas (*Column Shapes*). También se consideraron métricas de cobertura (*Coverage*) y límites (*Boundaries*). En este contexto, dos modelos tabulares sobresalieron: **Tddpm** y **Smote**.

En lo referente a la privacidad, se exploró la relación existente entre utilidad representada por *SDMetric Score* y privacidad representada por la distancia al registro más cercano (**DCR**). Se observó que a medida que el conjunto sintético se asemejaba más al original, mayor *SDMetric Score*, las métricas de privacidad disminuían, como se reflejaba en la disminución **DCR** y la relación entre el registro más cercano y el segundo más cercano (**NNDR**). Los modelos que tenían una mayor distancia generalmente rendían peor, y esto no se limitaba únicamente a la calidad del modelo. Al comparar los dos mejores modelos, **Tddpm** y **Smote**, se encontró que **Tddpm** superaba a **Smote** en términos de mayores distancias y una mayor razón en la distancia del primer al segundo registro, lo que proporcionaba una mayor protección al conjunto original.

Basándonos en nuestras observaciones, si se considera que la distancia al percentil 5 proporciona una salvaguarda suficiente para la privacidad, recomendamos el uso del modelo **Tddpm**. Sin embargo, esta recomendación está sujeta a revisión a medida que se desarrollen y evalúen más modelos. Adicionalmente, es importante realizar un cálculo particular para cada nuevo conjunto de datos, ya que, como se observó, la medida cambiará en función de cuán bien aprenda el modelo y las características de los datos, como la cantidad de nulos o el número de variables categóricas, por ejemplo.

En resumen, nuestro estudio contribuye al creciente cuerpo de literatura en el campo de la generación de datos sintéticos y ofrece una base sólida para futuras investigaciones.

5.2. Limitaciones

A pesar de los hallazgos significativos, nuestro estudio tiene ciertas limitaciones. Por ejemplo, debido a limitaciones de tiempo, no se pudo realizar una evaluación completa de todas las métricas listadas en la revisión bibliográfica. Estas limitaciones ofrecen oportunidades para futuras investigaciones. En particular, se recomienda la exploración de la *Cross-Classification* como una medida para la evaluación de textos.

Y más allá de las métricas que por tiempo no pudieron ser analizadas, me gustaría contextualizar en el tiempo que se desarrolló este trabajo y es que al iniciar esta tesis, a mediados de 2022, era evidente la creciente complejidad de la inteligencia artificial y la mejora continua de sus resultados. Sin embargo, era difícil anticipar que, durante el desarrollo de este trabajo, este crecimiento se aceleraría de tal manera que, al acercarse a la conclusión del mismo, los modelos utilizados aquí, como el **T5**, constituirían solo uno de los muchos modelos disponibles para la generación de texto. Desafortunadamente, debido a limitaciones de tiempo, no se podrán tratar otros modelos en profundidad y estos serán objeto de la sección de discusión. Para aquellos interesados en continuar con esta línea de investigación, se recomienda visitar el HuggingFace Leaderboard LLM [34], donde encontrarán una amplia gama de modelos a explorar y explotar.

Ejemplo de uso de ChatGPT en el marzo 2023 [35].

Prompt

Introducción a la relevancia de la generación de datos sintéticos para una tesis.

ChatGPT-4

En la contemporánea era de la información, los datos son un componente crucial en la toma de decisiones basadas en evidencias en un diverso espectro de sectores. No obstante, la abundancia de datos accesibles no se encuentra exenta de retos significativos, tales como los relacionados con la privacidad y seguridad de los datos, y la variabilidad y calidad de los mismos. En este contexto, la generación de datos sintéticos se erige como una herramienta valiosa para enfrentar dichos desafíos. Los datos sintéticos, producidos a partir de modelos que capturan las características intrínsecas de los datos originales, poseen el potencial de preservar la privacidad y confidencialidad, mientras habilitan la realización de análisis y modelado. Esta tesis se enfoca en el desarrollo y evaluación de métodos para la generación de datos sintéticos, ofreciendo una contribución significativa a este campo en expansión.

En la presentación de resultados y en las conclusiones, se evidenciaron registros con similitudes notables. Para incrementar la diversidad en los resultados, se propone incorporar elementos aleatorios en la entrada, con el fin de inducir una mayor variedad en los inicios. Otra opción sería ajustar los parámetros de generación, brindando al generador un mayor margen de "libertad creativa."^a través del ajuste del parámetro de temperatura. Este es un aspecto que claramente ofrece espacio para mejoras.

Muchos de los párrafos de este trabajo fueron analizados por ChatGPT, corregidos y mejorados. El impacto de los modelos generativos no solo quedará restringido a la capacidad de sustituir datos reales por datos sintéticos, como vimos en este estudio. También serán asistentes de bajo costo para tareas que antes estaban restringidas únicamente a humanos.

5.3. Discusión

Los modelos de generación de texto están en pleno auge. Recientemente han emergido modelos como **GPT-4** [36], **Llama** [37], **Palm2** [38] y **Falcon** [39], entre muchos otros que se pueden ver en el HuggingFace Leaderboard LLM [34]. El modelo **Chinchilla** [40] ha destacado la importancia de la calidad de los datos de entrada para la eficacia de estos modelos. Sería relevante llevar a cabo nuevos estudios con estos y otros modelos emergentes.

En relación con las métricas, tal como se mencionó en la conclusión, algunas de ellas no se calcularon en este trabajo debido a restricciones de tiempo. Además, el estudio de la privacidad en la generación de texto es un área que aún no ha sido ampliamente explorada. Determinar qué métricas son relevantes en este aspecto podría ser tan importante como la evaluación de la eficacia de los nuevos modelos.

Bibliografía

- [1] A. Krizhevsky, I. Sutskever y G. E. Hinton, “ImageNet Classification with Deep Convolutional Neural Networks,” en *Advances in Neural Information Processing Systems*, vol. 25, Curran Associates, Inc., 2012. dirección: <https://proceedings.neurips.cc/paper/2012/hash/c399862d3b9d6b76c8436e924a68c45b-Abstract.html> (visitado 19-02-2023).
- [2] “Papers with code - ImageNet benchmark (image classification).” (), dirección: <https://paperswithcode.com/sota/image-classification-on-imagenet> (visitado 19-02-2023).
- [3] “DALL·e 2,” OpenAI. (), dirección: <https://openai.com/dall-e-2/> (visitado 19-02-2023).
- [4] “Imagen: Text-to-Image Diffusion Models.” (), dirección: <https://imagen.research.google/> (visitado 19-02-2023).
- [5] “Stable diffusion public release,” Stability AI. (), dirección: <https://stability.ai/blog/stable-diffusion-public-release> (visitado 19-02-2023).
- [6] D. Milmo y D. M. G. t. editor, “Google v microsoft: Who will win the AI chatbot race?” *The Guardian*, 10 de feb. de 2023, ISSN: 0261-3077. dirección: <https://www.theguardian.com/technology/2023/feb/10/google-v-microsoft-who-will-win-the-ai-chatbot-race-bard-chatgpt> (visitado 19-02-2023).
- [7] “Microsoft and google are in a ‘game of thrones’ battle over a.i.— but apple and amazon still have huge roles to play, according to wedbush.” (15 de feb. de 2023), dirección: <https://finance.yahoo.com/news/microsoft-google-game-thrones-battle-174112314.html> (visitado 19-02-2023).
- [8] K. El Emam, L. Mosquera y R. Hoptroff, *Practical synthetic data generation: balancing privacy and the broad availability of data*. O’Reilly Media, 2020.
- [9] J. Gantz y D. Reinsel, “The digital universe in 2020: Big data, bigger digital shadows, and biggest growth in the far east,” *IDC iView: IDC Analyze the future*, vol. 2007, n.º 2012, págs. 1-16, 2012. dirección: <https://datastorageeas.com/sites/default/files/idc-the-digital-universe-in-2020.pdf>.
- [10] K. Adnan y R. Akbar, “An analytical study of information extraction from unstructured and multidimensional big data,” *Journal of Big Data*, vol. 6, págs. 1-38, 2019, Publisher: Springer. dirección: <https://link.springer.com/article/10.1186/s40537-019-0254-8>.
- [11] P. Bruce, A. Bruce y P. Gedeck, *Practical statistics for data scientists: 50+ essential concepts using R and Python*. O’Reilly Media, 2020.

- [12] S. De Capitani Di Vimercati, S. Foresti, G. Livraga y P. Samarati, “Data privacy: Definitions and techniques,” *International Journal of Uncertainty, Fuzziness and Knowledge-Based Systems*, vol. 20, n.º 6, págs. 793-817, 2012, Publisher: World Scientific.
- [13] P. Regulation, “Regulation (EU) 2016/679 of the European Parliament and of the Council,” *Regulation (eu)*, vol. 679, pág. 2016, 2016. dirección: https://dvbi.ru/Portals/0/DOCUMENTS_SHARE/RISK_MANAGEMENT/EBA/GDPR_eng_rus.pdf.
- [14] S. L. Pardau, “The California consumer privacy act: Towards a European-style privacy regime in the United States,” *J. Tech. L. & Pol’y*, vol. 23, pág. 68, 2018, Publisher: HeinOnline.
- [15] A. Act, “Health insurance portability and accountability act of 1996,” *Public law*, vol. 104, pág. 191, 1996. dirección: <http://www.eolusinc.com/pdf/hipaa.pdf>.
- [16] A. V. Solatorio y O. Dupriez, “REaLTabFormer: Generating Realistic Relational and Tabular Data using Transformers,” *arXiv preprint arXiv:2302.02041*, 2023.
- [17] D. Pujol, A. Gilad y A. Machanavajjhala, “PreFair: Privately Generating Justifiably Fair Synthetic Data,” *arXiv preprint arXiv:2212.10310*, 2022.
- [18] A. Acharya, S. Sikdar, S. Das y H. Rangwala, “GenSyn: A Multi-stage Framework for Generating Synthetic Microdata using Macro Data Sources,” *arXiv preprint arXiv:2212.05975*, 2022.
- [19] A. Kotelnikov, D. Baranchuk, I. Rubachev y A. Babenko, “TabDDPM: Modelling Tabular Data with Diffusion Models,” *arXiv preprint arXiv:2209.15421*, 2022.
- [20] V. Borisov, K. Seßler, T. Leemann, M. Pawelczyk y G. Kasneci, “Language models are realistic tabular data generators,” *arXiv preprint arXiv:2210.06280*, 2022. dirección: <https://arxiv.org/pdf/2210.06280.pdf>.
- [21] Z. Zhao, A. Kunar, R. Birke y L. Y. Chen, “CTAB-GAN+: Enhancing Tabular Data Synthesis,” *arXiv preprint arXiv:2204.00401*, 2022. dirección: <https://arxiv.org/abs/2204.00401>.
- [22] Z. Zhao, A. Kunar, R. Birke y L. Y. Chen, “CTAB-GAN: Effective Table Data Synthesizing,” en *Proceedings of The 13th Asian Conference on Machine Learning*, V. N. Balasubramanian e I. Tsang, eds., ép. Proceedings of Machine Learning Research, vol. 157, PMLR, 17 de nov. de 2021, págs. 97-112. dirección: <https://proceedings.mlr.press/v157/zhao21a.html>.
- [23] L. Xu, M. Skoularidou, A. Cuesta-Infante y K. Veeramachaneni, “Modeling tabular data using conditional gan,” *Advances in Neural Information Processing Systems*, vol. 32, 2019.
- [24] N. V. Chawla, K. W. Bowyer, L. O. Hall y W. P. Kegelmeyer, “SMOTE: synthetic minority over-sampling technique,” *Journal of artificial intelligence research*, vol. 16, págs. 321-357, 2002.
- [25] E. Andrejczuk, J. M. Eisenschlos, F. Piccinno, S. Krichene e Y. Altun, “Table-To-Text generation and pre-training with TabT5,” *arXiv preprint arXiv:2210.09162*, 2022.
- [26] M. Kale y A. Rastogi, “Text-to-text pre-training for data-to-text tasks,” *arXiv preprint arXiv:2005.10433*, 2020.
- [27] J. Herzig, P. K. Nowak, T. Müller, F. Piccinno y J. M. Eisenschlos, “TaPas: Weakly supervised table parsing via pre-training,” *arXiv preprint arXiv:2004.02349*, 2020.

- [28] “Synthetic data metrics.” (), dirección: <https://docs.sdv.dev/sdmetrics/> (visitado 17-06-2023).
- [29] *Virtual Data Lab (VDL)*, original-date: 2020-07-08T16:46:38Z, 14 de nov. de 2022. dirección: <https://github.com/mostly-ai/virtualdatalab> (visitado 02-07-2023).
- [30] H. Kaggle. “House Sales in King County, USA.” (2015), dirección: <https://www.kaggle.com/datasets/harlf0xem/housesalesprediction>.
- [31] A. Kotelnikov, D. Baranchuk, I. Rubachev y A. Babenko. “Overview — SDV 0.18.0 documentation.” (), dirección: <https://sdv.dev/SDV/> (visitado 26-02-2023).
- [32] N. Patki, R. Wedge y K. Veeramachaneni, “The synthetic data vault,” en *2016 IEEE International Conference on Data Science and Advanced Analytics (DSAA)*, IEEE, 2016, págs. 399-410.
- [33] Akim, *TabDDPM: Modelling Tabular Data with Diffusion Models*, original-date: 2022-10-02T23:01:07Z, 1 de mar. de 2023. dirección: <https://github.com/rotot0/tab-ddpm> (visitado 01-03-2023).
- [34] “Open LLM Leaderboard - a Hugging Face Space by HuggingFaceH4.” (), dirección: https://huggingface.co/spaces/HuggingFaceH4/open_llm_leaderboard (visitado 24-06-2023).
- [35] OpenAI, *ChatGPT: a large language model trained by OpenAI*, 2023. dirección: <https://openai.com/blog/chatgpt-a-large-scale-generative-language-model/>.
- [36] OpenAI, *GPT-4 Technical Report*, 27 de mar. de 2023. DOI: 10.48550/arXiv.2303.08774. arXiv: 2303.08774[cs]. dirección: <http://arxiv.org/abs/2303.08774> (visitado 21-06-2023).
- [37] “LLaMA: Open and Efficient Foundation Language Models - Meta Research,” Meta Research. (), dirección: <https://research.facebook.com/publications/llama-open-and-efficient-foundation-language-models/> (visitado 21-06-2023).
- [38] R. Anil, A. M. Dai, O. Firat y col., *PaLM 2 Technical Report*, 17 de mayo de 2023. DOI: 10.48550/arXiv.2305.10403. arXiv: 2305.10403[cs]. dirección: <http://arxiv.org/abs/2305.10403> (visitado 21-06-2023).
- [39] “Falcon LLM.” (), dirección: <https://falconllm.tii.ae/> (visitado 21-06-2023).
- [40] J. Hoffmann, S. Borgeaud, A. Mensch y col., *Training Compute-Optimal Large Language Models*, 29 de mar. de 2022. DOI: 10.48550/arXiv.2203.15556. arXiv: 2203.15556[cs]. dirección: <http://arxiv.org/abs/2203.15556> (visitado 21-06-2023).

Apéndice A

Anexos

Este capítulo de Anexos proporciona información adicional y detallada que respalda la investigación realizada en esta tesis. Aunque estos detalles son esenciales para el completo entendimiento de la investigación, se han incluido en los anexos para mantener la fluidez del cuerpo principal de la tesis.

En las siguientes secciones, se presentan diversos elementos suplementarios. El código de entrenamiento de modelos económicos se proporciona para dar visibilidad a los métodos de aprendizaje automático utilizados. Se incluyen gráficos detallados de correlaciones y estadísticas para los conjuntos de datos utilizados, aportando un análisis más profundo de las características y estructuras de estos conjuntos de datos. También se proporcionan ejemplos de registros generados, ofreciendo una visión tangible de los resultados de la generación de datos.

Por favor, refiérase a estos anexos para una comprensión más completa y detallada de la investigación y los métodos utilizados en este trabajo.

A.1. Código de entrenamiento de económicos

```
1 import pandas as pd
2 from syntheticml.data.synthetic import Synthetic, MODELS
3 from syntheticml.models.tab_ddpm.sdv import SDV_MLP
4 import torch
5 import numpy as np
6 import itertools
7 import multiprocessing as mp
8 import os
9
10 def test_train(args):
11     lrc, ntc, sts, btsc, rtdlc, syn, df = args
12     #notebooks/economicos_good/2e-06_10_100000_5000_1024-512-256
13     checkpoint = "economicos_good2/" + "_".join(
14         map(str, [lrc, ntc, sts, btsc, "_".join(map(str, rtdlc))]))
15     checkpoint = "con_fechas"
16     if os.path.exists(f"{checkpoint}/final_model.pt") or os.path.exists(f"{checkpoint}/exit"):
17         return (checkpoint, 1)
18     model = SDV_MLP(syn.metadata,
19                     "_price",
20                     exclude_columns=syn.exclude_columns,
21                     df=df,
22                     batch_size=btsc,
23                     steps=sts,
24                     checkpoint=checkpoint,
25                     num_timesteps=ntc,
26                     weight_decay=0.0,
27                     lr=lrc,
28                     model_params=dict(rtdl_params=dict(
29                         dropout=0.0,
30                         d_layers=rtdlc
31                     ))
32                 )
33     model.fit(syn.train)
34     model.save(f"{checkpoint}/final_model.pt")
35     return (checkpoint, 1)
36
37 if __name__ == '__main__':
38     df = pd.read_parquet('../datasets/economicos/synth/split/train.parquet')
39     category_columns=("property_type", "transaction_type", "state", "county", "rooms", "bathrooms", "m_built", "m_size", "source", )
40     # TODO: Estudiar implicancia de valores nulos en categorias y numeros
41     df_converted = df.astype({k: 'str' for k in ("description", "price", "title", "address", "owner")})
42     basedate = pd.Timestamp('2017-12-01')
43     dtime = df_converted.pop("publication_date")
44     df_converted["publication_date"] = dtime.apply(lambda x: (x - basedate).days)
45     syn = Synthetic(df_converted,
46                     id="url",
47                     category_columns=category_columns,
48                     text_columns=("description", "price", "title", "address", "owner",),
49                     exclude_columns=tuple(),
50                     synthetic_folder = "../datasets/economicos/synth",
51                     models=['copulagan', 'tvae', 'gaussiancopula', 'ctgan', 'smote-enc'],
52                     n_sample = df.shape[0],
53                     target_column="_price"
54                 )
55
56     lrs = np.linspace(2e-6, 2e-3, 10)
57     num_timesteps = np.linspace(10, 1000, 3, dtype=int)
58     batch_size = np.linspace(2500, 5000, 3, dtype=int)
59     steps = np.linspace(150000, 500000, 5, dtype=int)
60     rtdl_params = [
61         [1024, 512, 256], [512, 256], [256, 128], [256, 128, 128], [256, 128, 128, 128]
62     ]
63     try:
64         torch.multiprocessing.set_start_method('spawn')
65     except:
66         pass
67     with mp.Pool(1) as p:
68         fitted_models = dict(list(p.map(test_train, itertools.product(lrs, num_timesteps, steps, batch_size, rtdl_params, [syn],
69                               ↪ [df_converted])))))
```

Código 6: Código de ejemplo en Python para sumar dos números. Fuente: Autor.

A.2. Archivo Devcontainer

```
1 {
2   "name": "SyntheticData",
3   "image": "nvidia/cuda:12.1.0-devel-ubuntu22.04",
4   "extensions": [
5     "jebbs.plantuml",
6     "ms-toolsai.jupyter-keymap",
7     "MS-CEINTL.vscode-language-pack-es",
8     "SimonSiefke.svg-preview",
9     "adamvoss.vscode-languagetool",
10    "mathematic.vscode-latex",
11    "maltehei.latex-citations",
12    "James-Yu.latex-workshop",
13    "valentjn.vscode-ltex"
14    "yzhang.markdown-all-in-one",
15    "ms-python.python",
16    "ms-azuretools.vscode-docker",
17    "ms-toolsai.jupyter"
18  ],
19  "postCreateCommand": "bash ./devcontainer/postscript.sh",
20  "runArgs": ["--gpus", "all"],
21  "settings": {
22    "terminal.integrated.shell.linux": "/bin/bash"
23  },
24  "features": {
25    "ghcr.io/devcontainers/features/python:1": {"version": "3.10"}
26  },
27  "mounts": [
28    "source=${localEnv:HOME}/models,target=/models,type=bind"
29  ]
30 }
```

Código 7: Devcontainer del proyecto en curso.

A.3. Lista completa de figura pairwise kingcounty

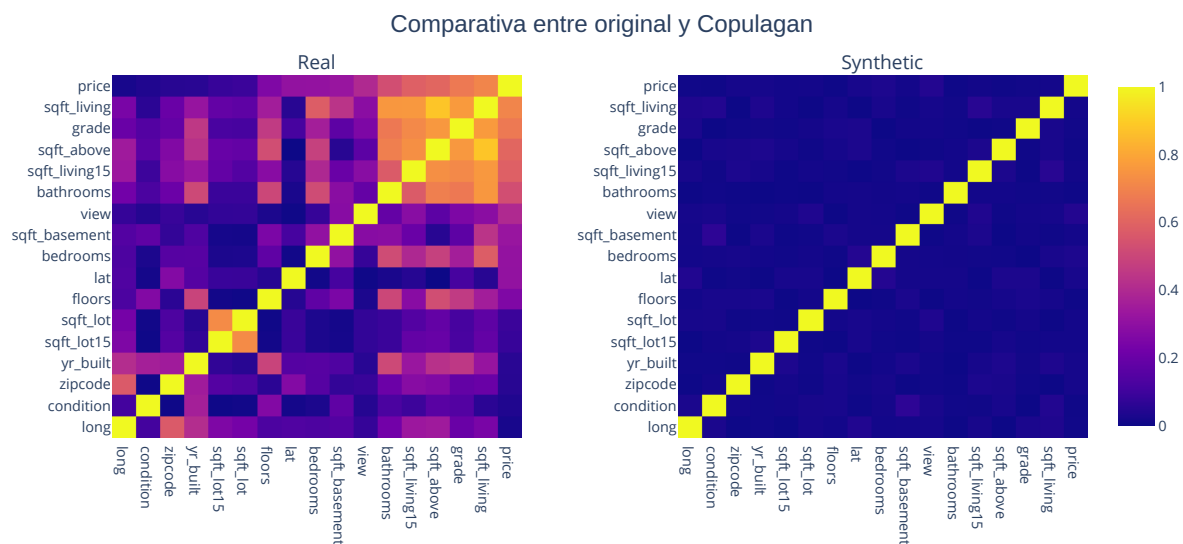


Figura A.1: Correlación de conjunto original de entrenamiento y Copulagan, King county (A-3)

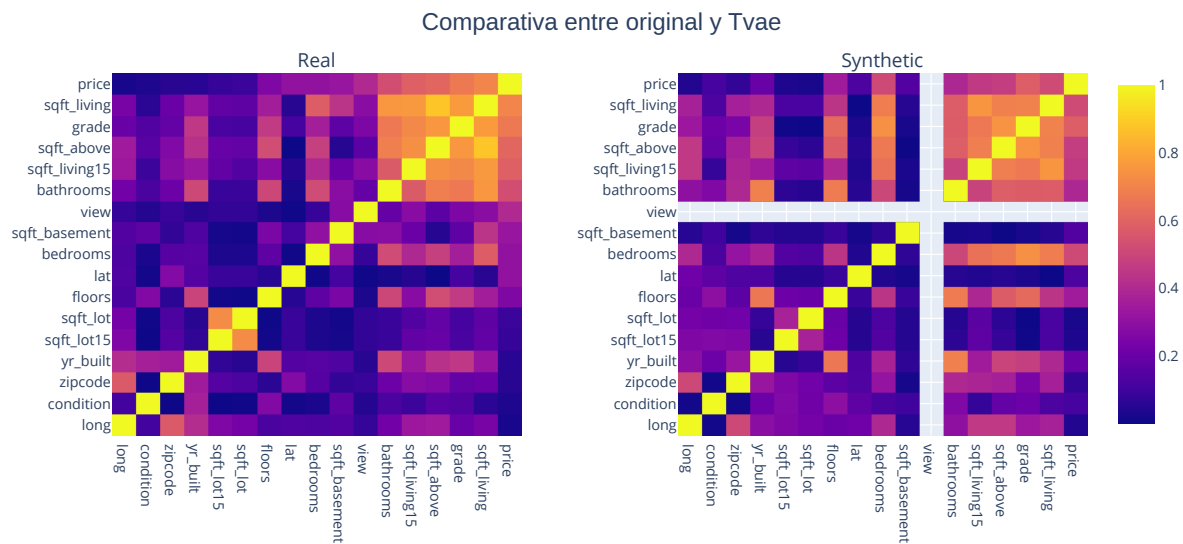


Figura A.2: Correlación de conjunto original de entrenamiento y Tvae, King county (A-3)

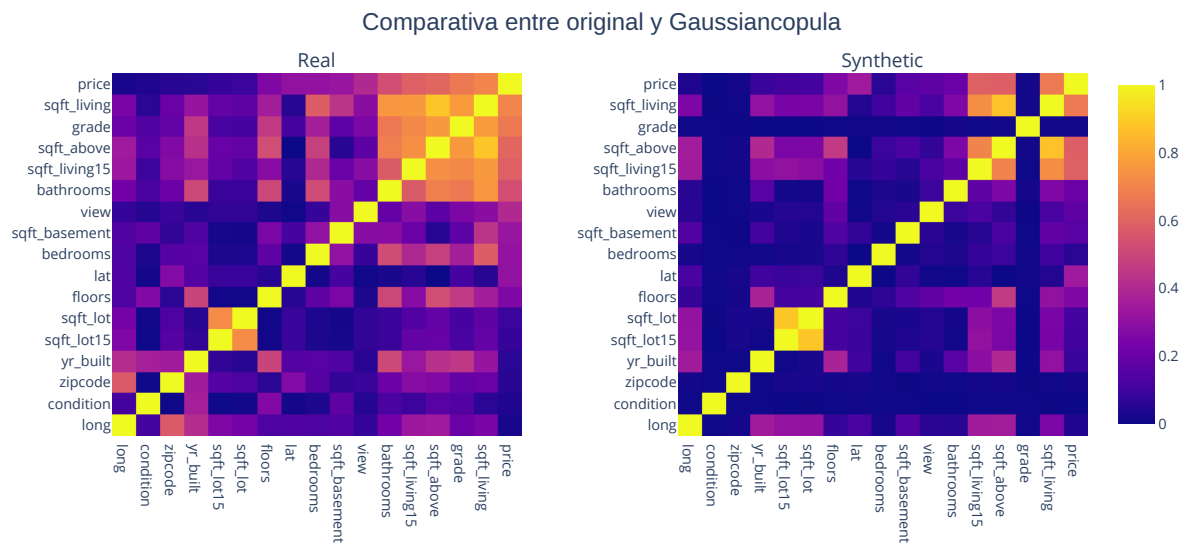


Figura A.3: Correlación de conjunto original de entrenamiento y Gaussiancopula, King county (A-3)

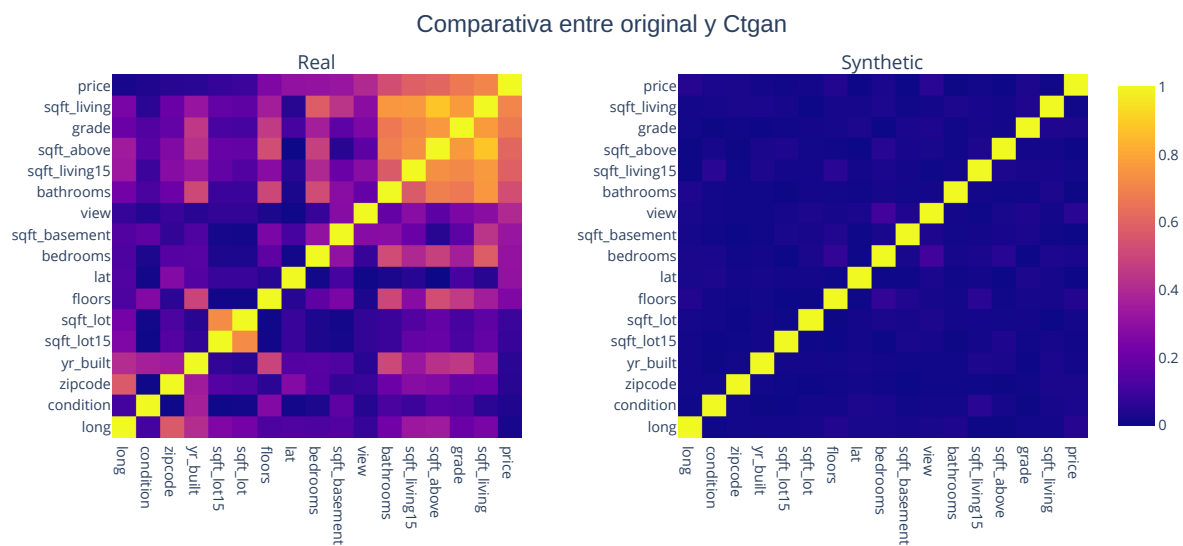


Figura A.4: Correlación de conjunto original de entrenamiento y Ctgan, King county (A-3)

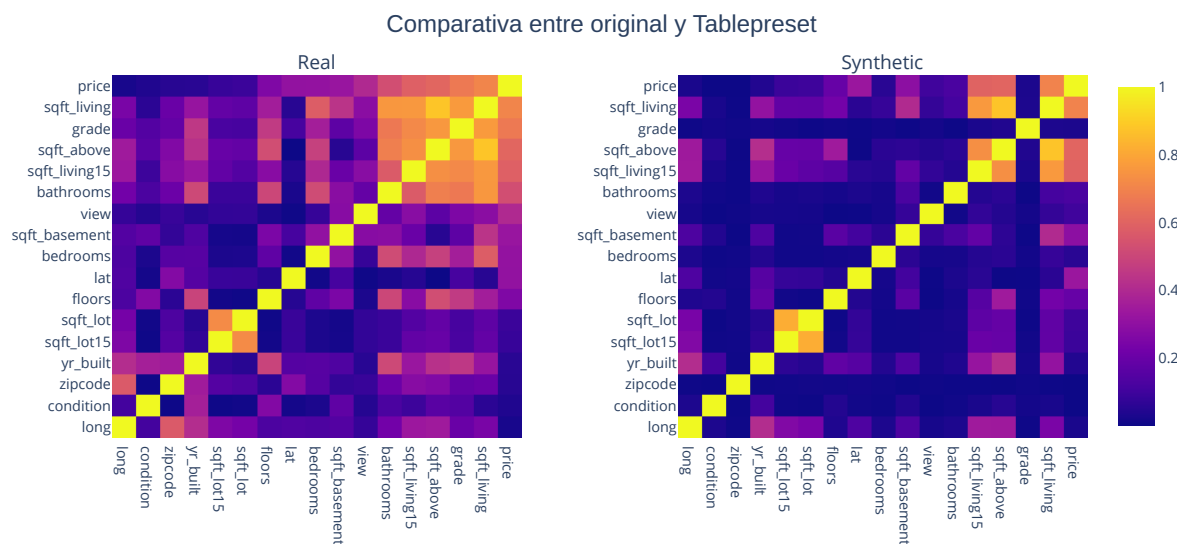


Figura A.5: Correlación de conjunto original de entrenamiento y Tablepreset, King county (A-3)

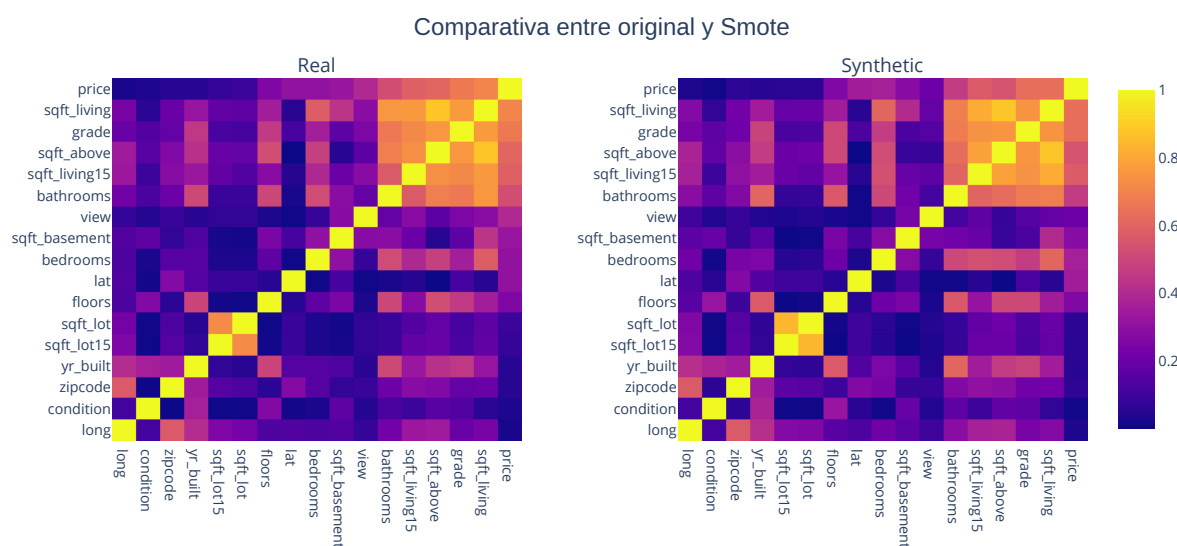


Figura A.6: Correlación de conjunto original de entrenamiento y Smote, King county (A-3)

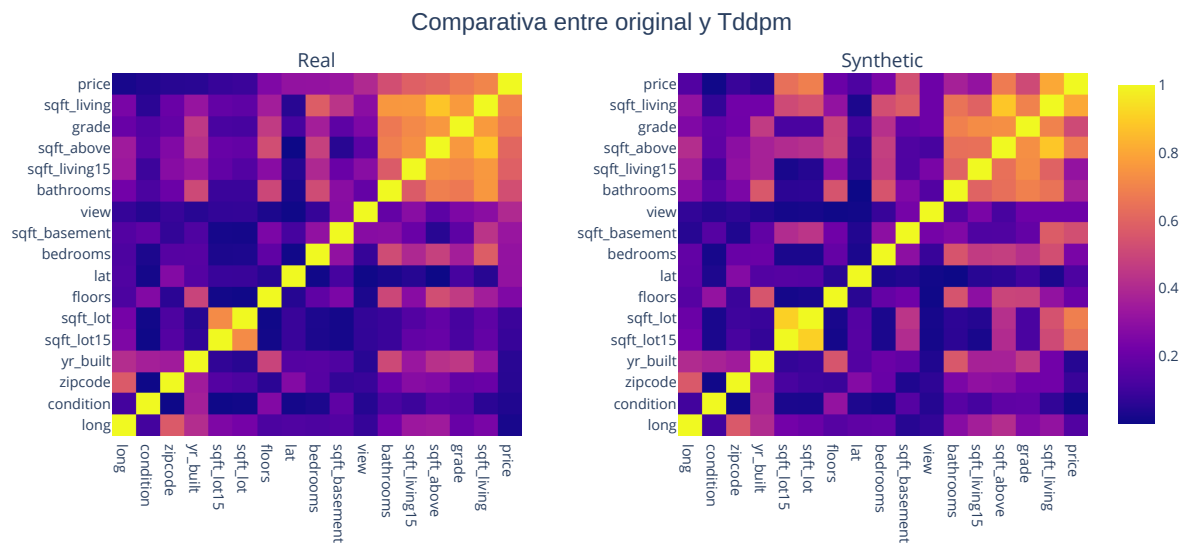


Figura A.7: Correlación de conjunto original de entrenamiento y Tddpm, King county (A-3)

A.4. Smote y Tddpm en KingCounty Gráficas por Columnas

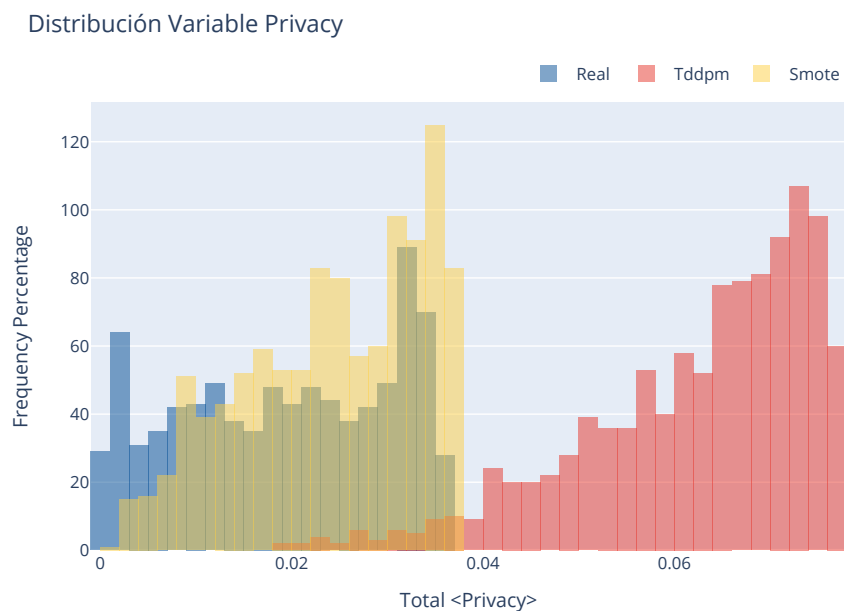


Figura A.8: Frecuencia del campo Privacy en el modelo real y Top 2, King county (A-1)

Distribución Variable Bedrooms

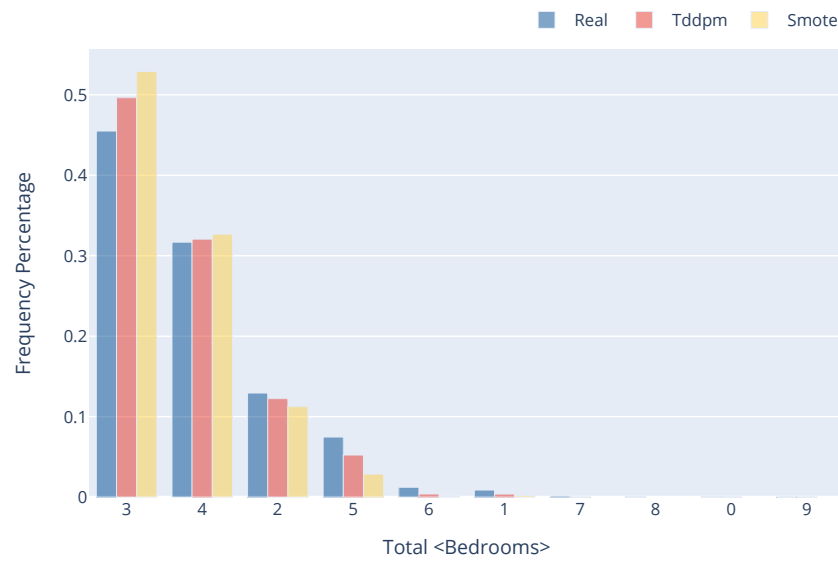


Figura A.9: Frecuencia del campo Bedrooms en el modelo real y Top 2, King county (A-1)

Distribución Variable Grade

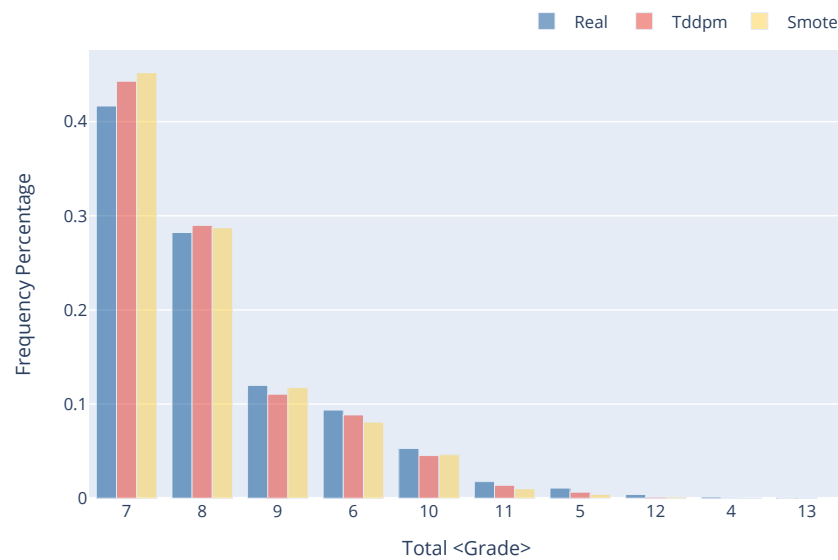


Figura A.10: Frecuencia del campo Grade en el modelo real y Top 2, King county (A-1)

Distribución Variable Floors

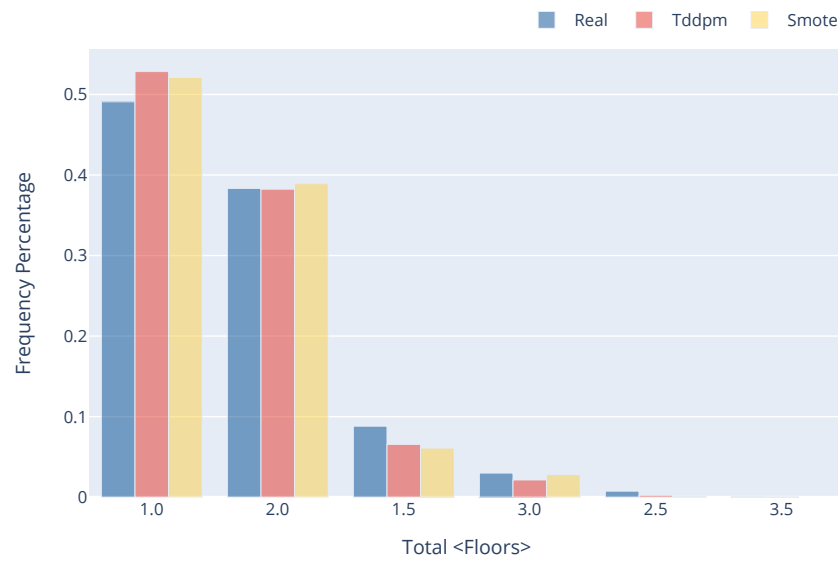


Figura A.11: Frecuencia del campo Floors en el modelo real y Top 2, King county (A-1)

Distribución Variable Bathrooms

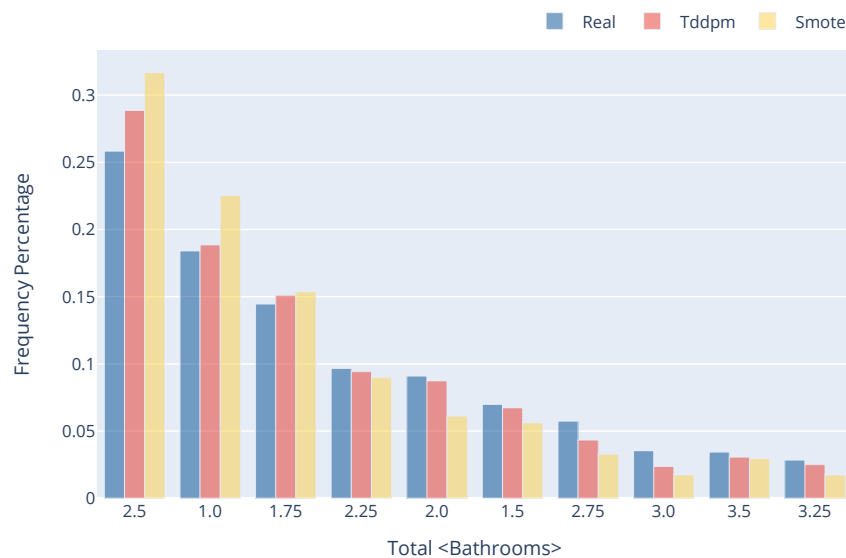


Figura A.12: Frecuencia del campo Bathrooms en el modelo real y Top 2, King county (A-1)

Distribución Variable Sqft Basement

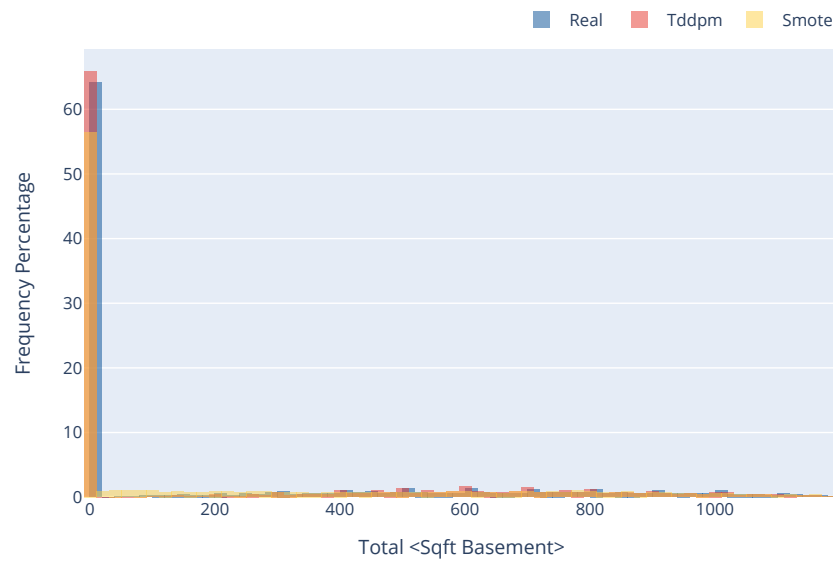


Figura A.13: Frecuencia del campo Sqft basement en el modelo real y Top 2, King county (A-1)

Distribución Variable Sqft Living

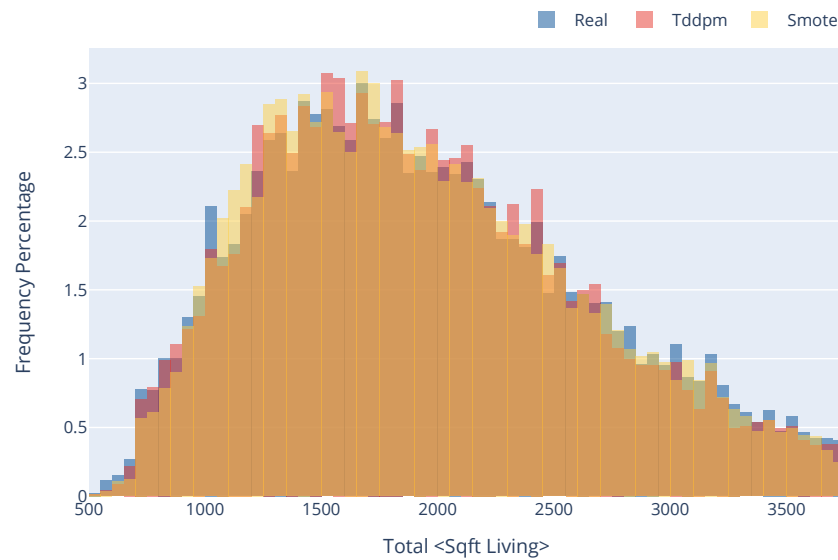


Figura A.14: Frecuencia del campo Sqft living en el modelo real y Top 2, King county (A-1)

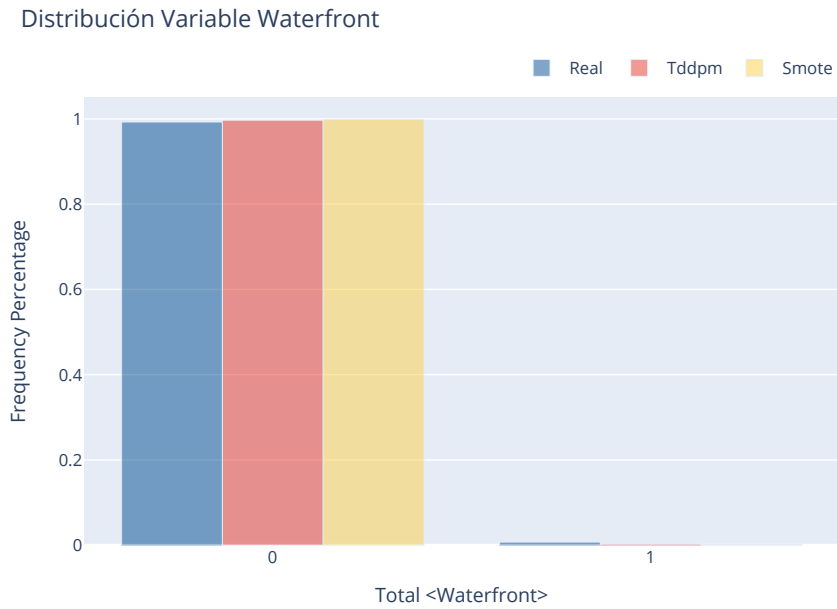


Figura A.15: Frecuencia del campo Waterfront en el modelo real y Top 2, King county (A-1)

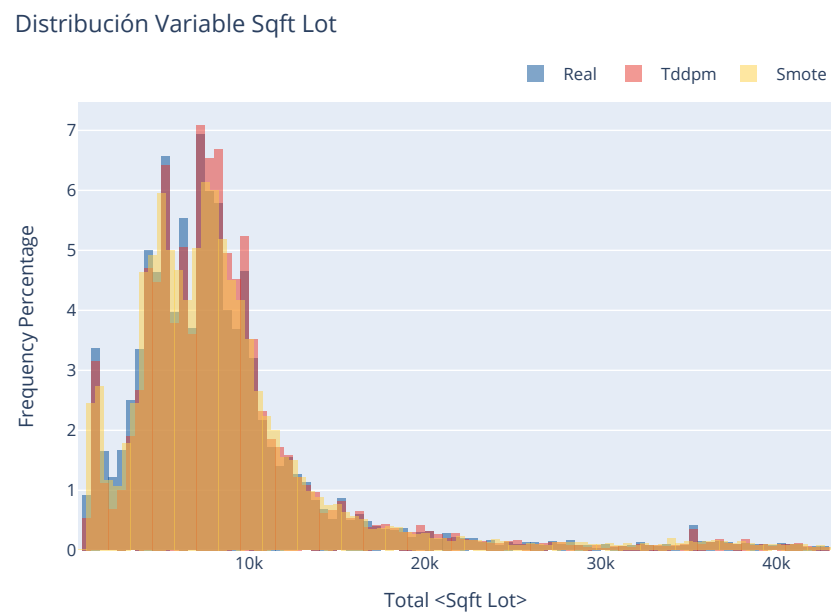


Figura A.16: Frecuencia del campo Sqft lot en el modelo real y Top 2, King county (A-1)

Distribución Variable Sqft Living15

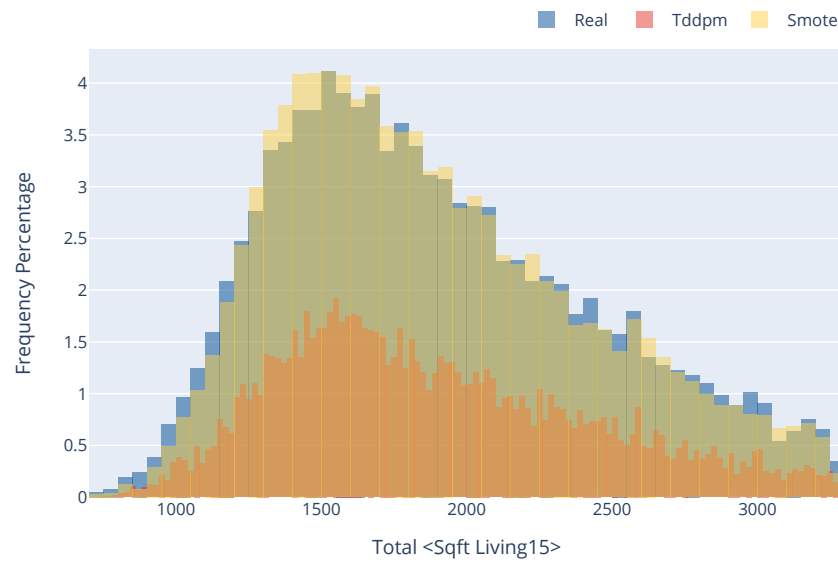


Figura A.17: Frecuencia del campo Sqft living15 en el modelo real y Top 2, King county (A-1)

Distribución Variable Yr Built

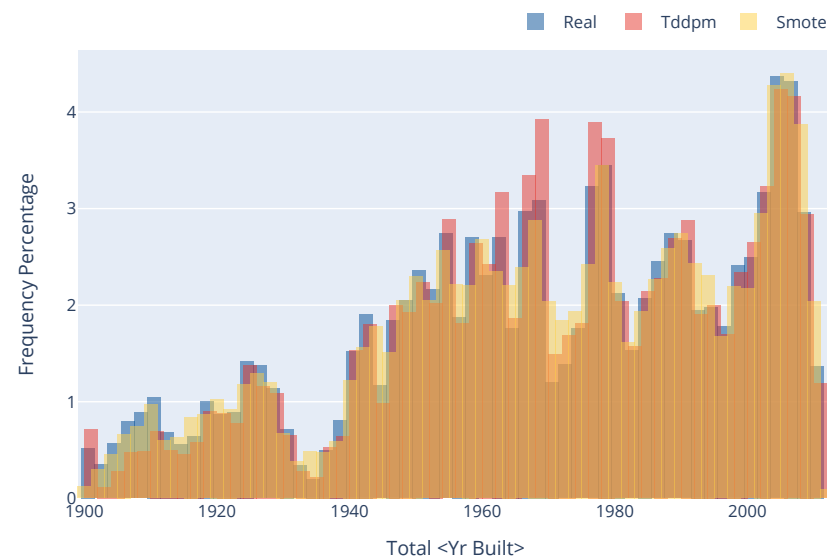


Figura A.18: Frecuencia del campo Yr built en el modelo real y Top 2, King county (A-1)

Distribución Variable Condition

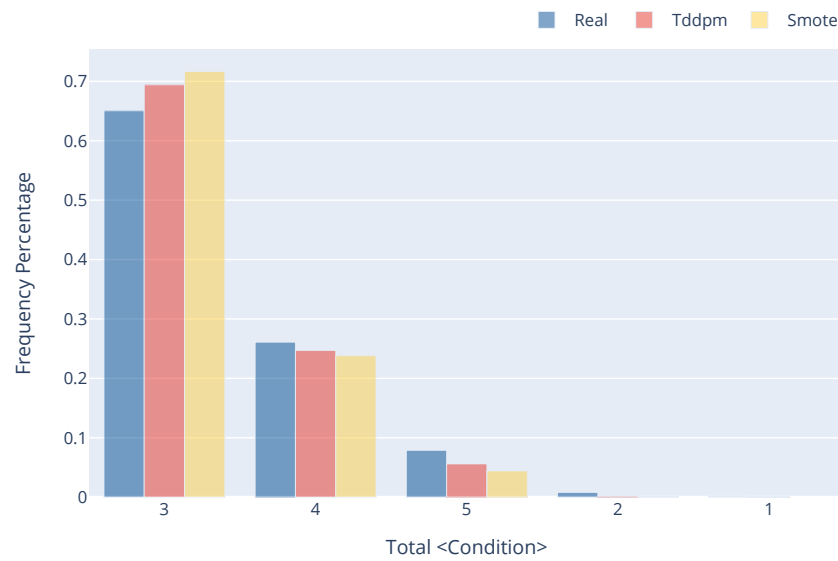


Figura A.19: Frecuencia del campo Condition en el modelo real y Top 2, King county (A-1)

Distribución Variable Sqft Above

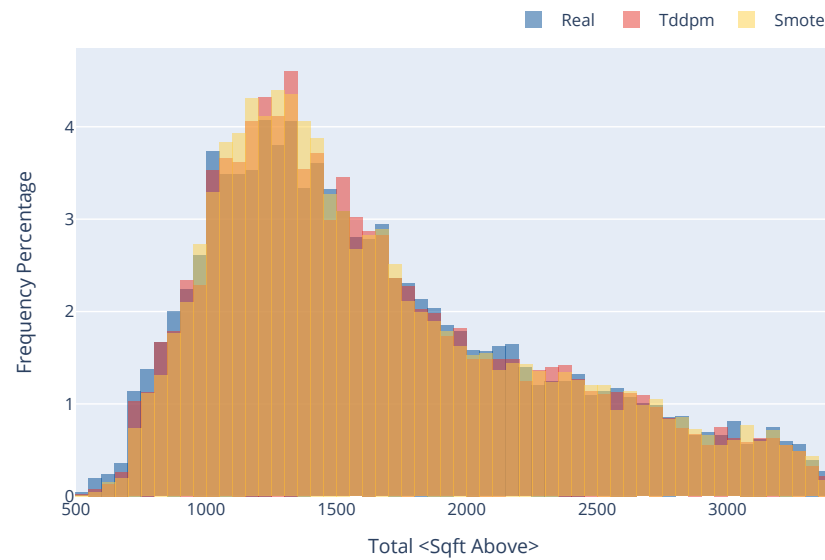


Figura A.20: Frecuencia del campo Sqft above en el modelo real y Top 2, King county (A-1)

Distribución Variable Sqft Lot15

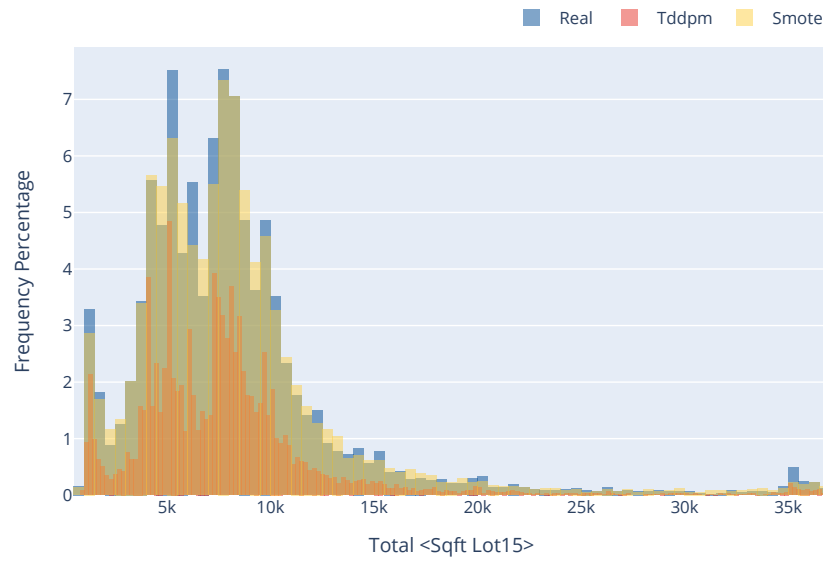


Figura A.21: Frecuencia del campo Sqft lot15 en el modelo real y Top 2, King county (A-1)

Distribución Variable View

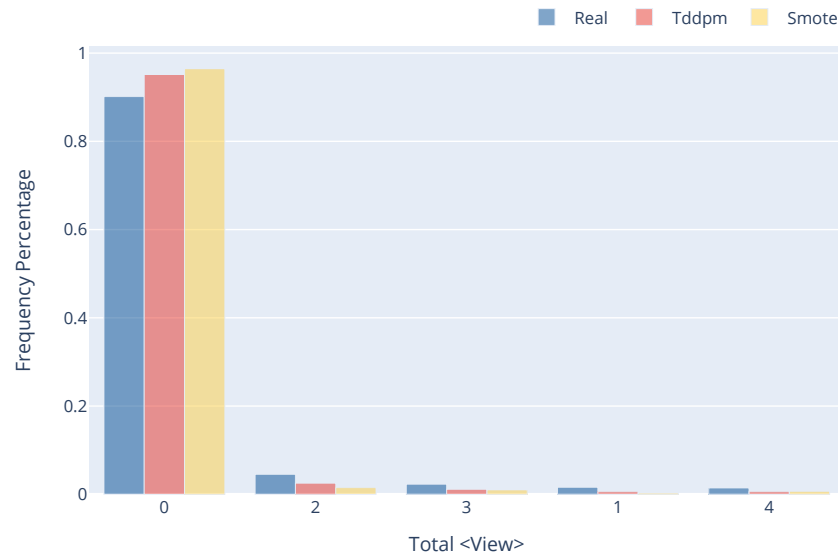


Figura A.22: Frecuencia del campo View en el modelo real y Top 2, King county (A-1)

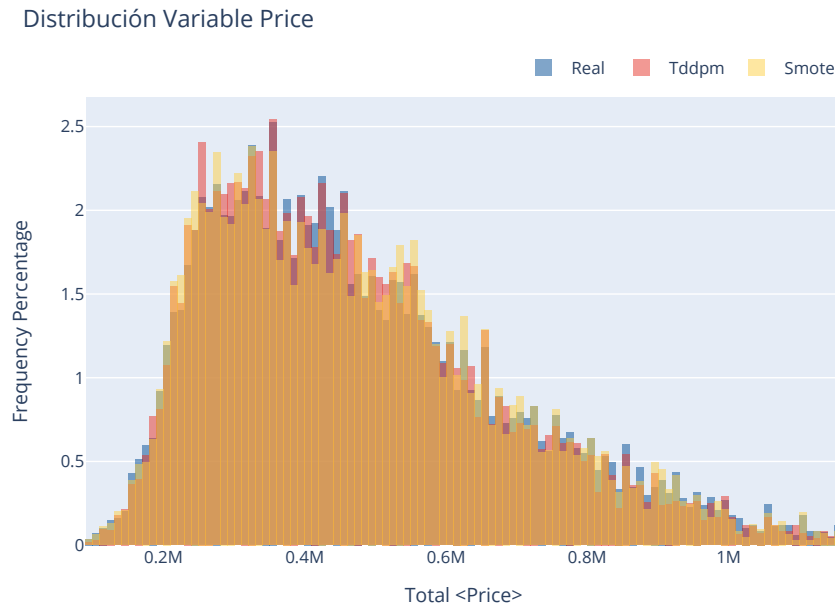


Figura A.23: Frecuencia del campo Price en el modelo real y Top 2, King county (A-1)

A.5. Figuras de correlación Económicos - Conjunto A

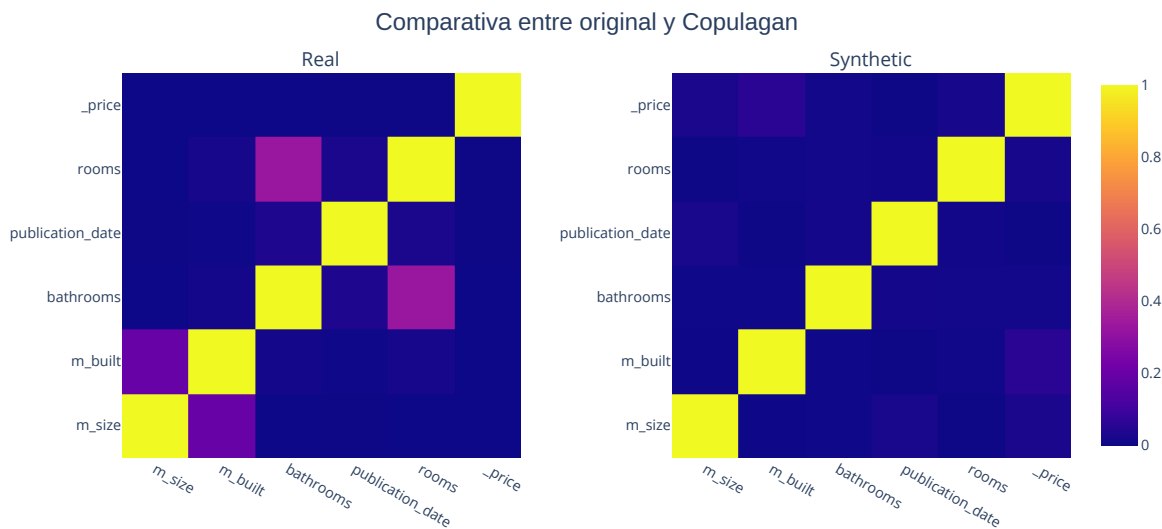


Figura A.24: Correlación de conjunto original de entrenamiento y Copulagan, Economicos (A-1)

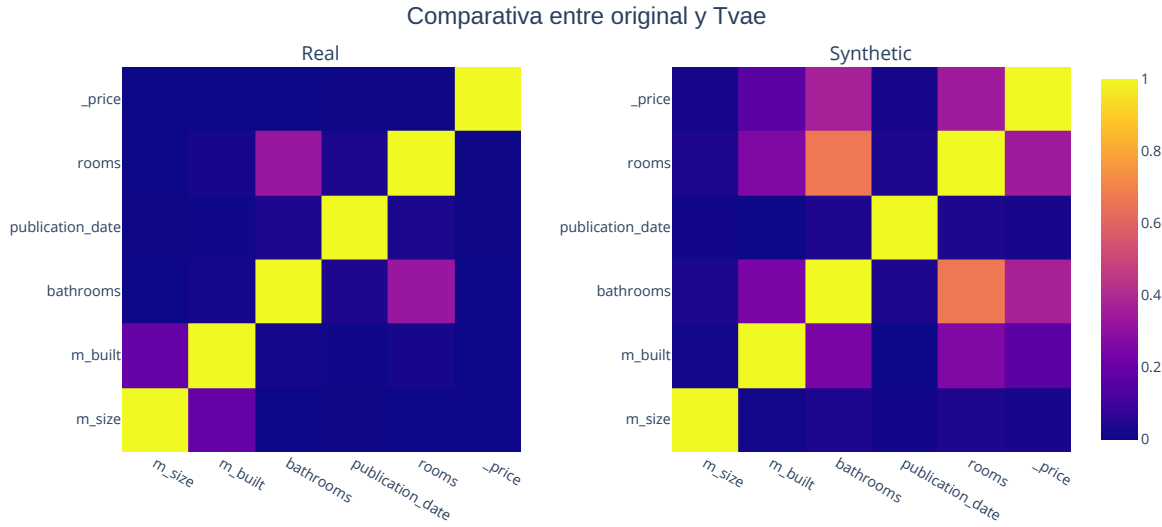


Figura A.25: Correlación de conjunto original de entrenamiento y Tvae, Economicos (A-1)

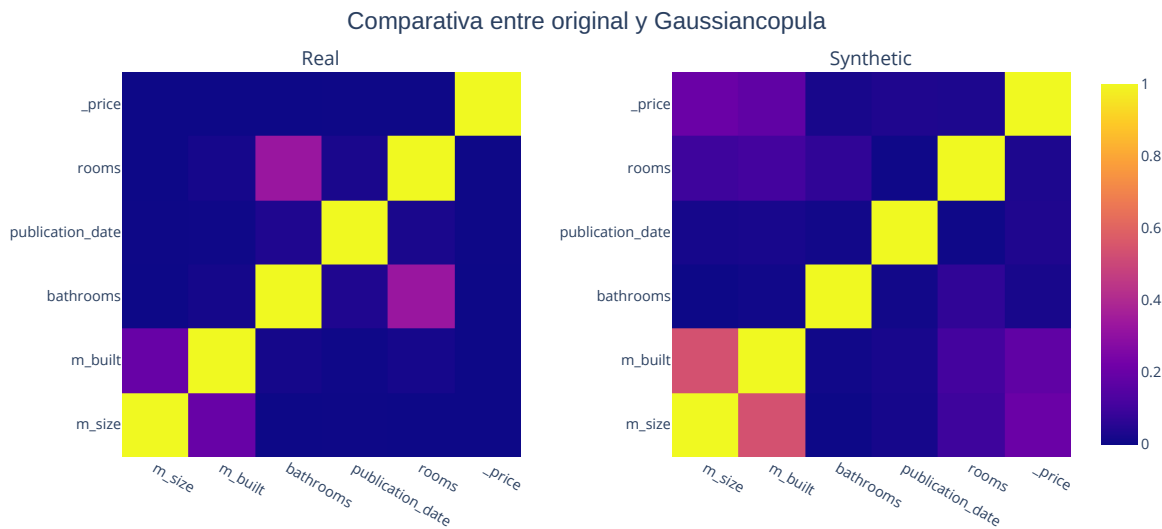


Figura A.26: Correlación de conjunto original de entrenamiento y Gaussiancopula, Economicos (A-1)

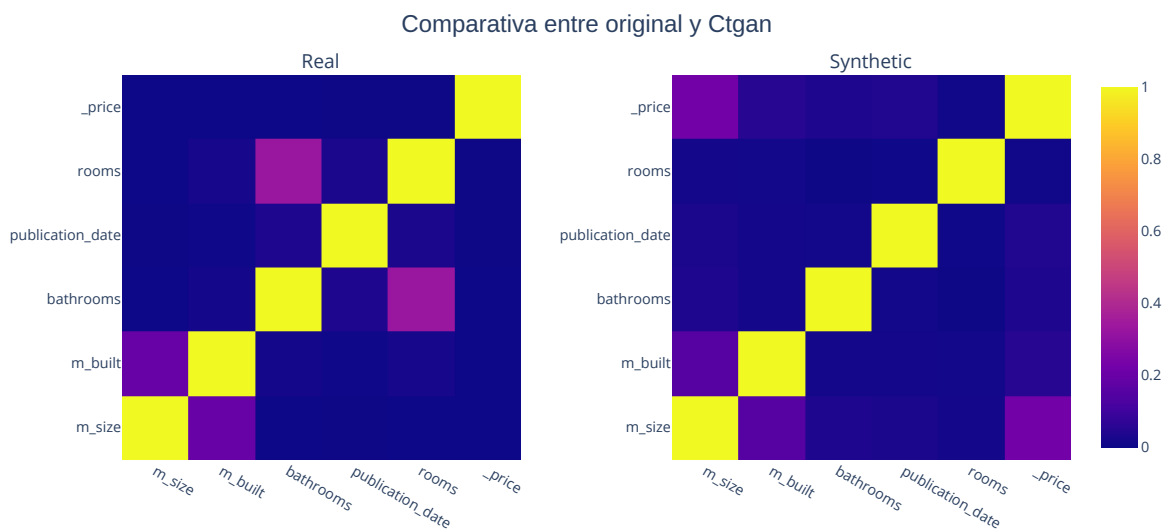


Figura A.27: Correlación de conjunto original de entrenamiento y Ctgan, Economicos (A-1)

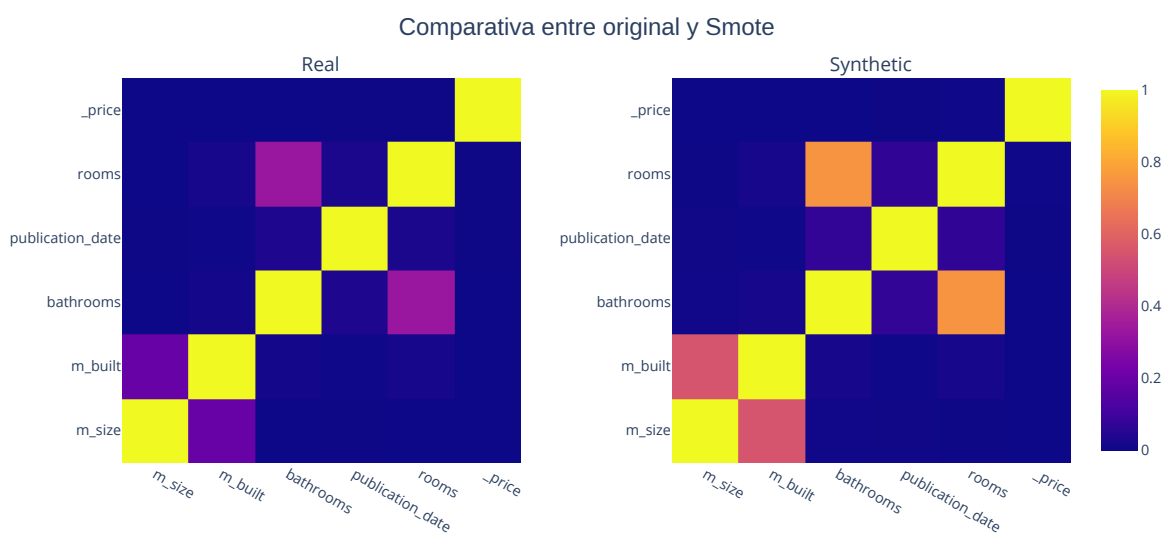


Figura A.28: Correlación de conjunto original de entrenamiento y Smote, Economicos (A-1)

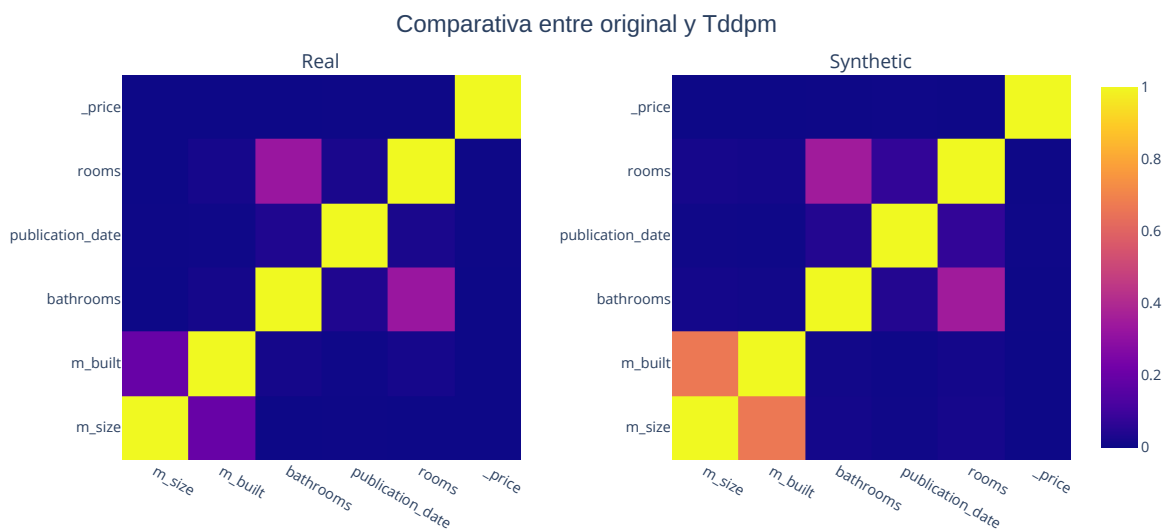


Figura A.29: Correlación de conjunto original de entrenamiento y Tddpm, Economicos (A-1)

A.6. Figuras de correlación Económicos - Conjunto B

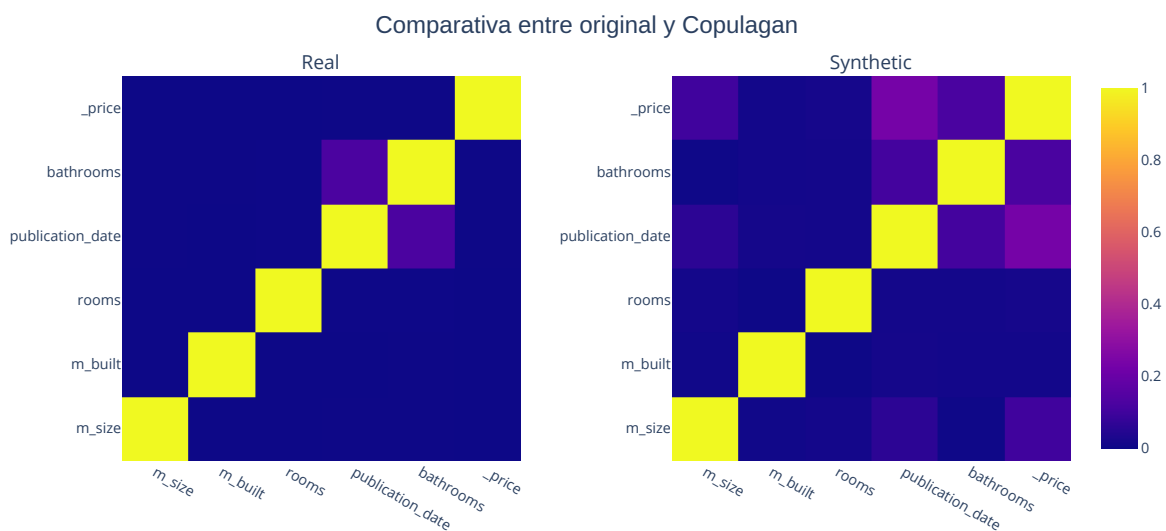


Figura A.30: Correlación de conjunto original de entrenamiento y Copulagan, Economicos (B-1)

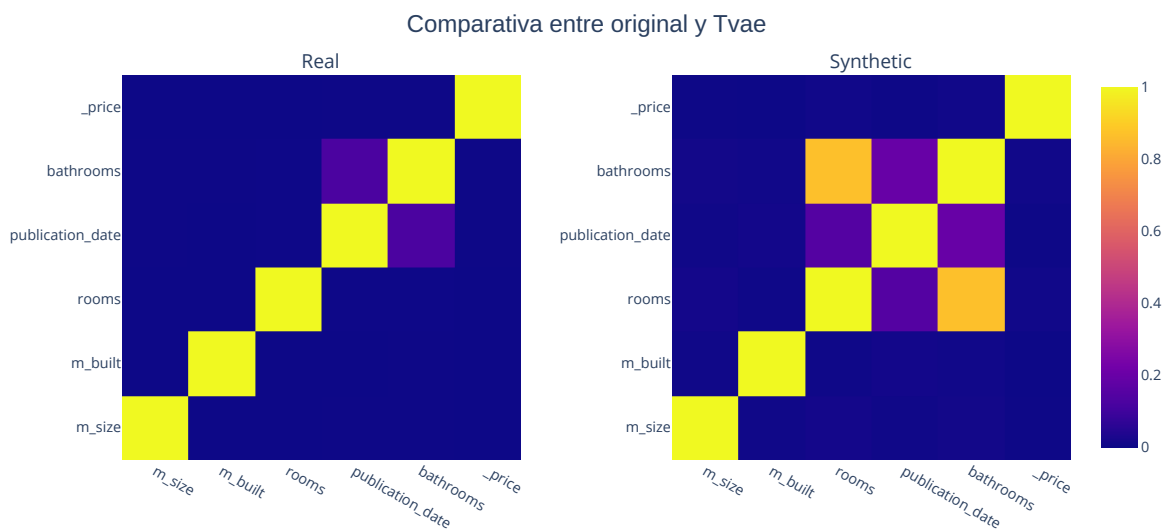


Figura A.31: Correlación de conjunto original de entrenamiento y Tvae, Economicos (B-1)

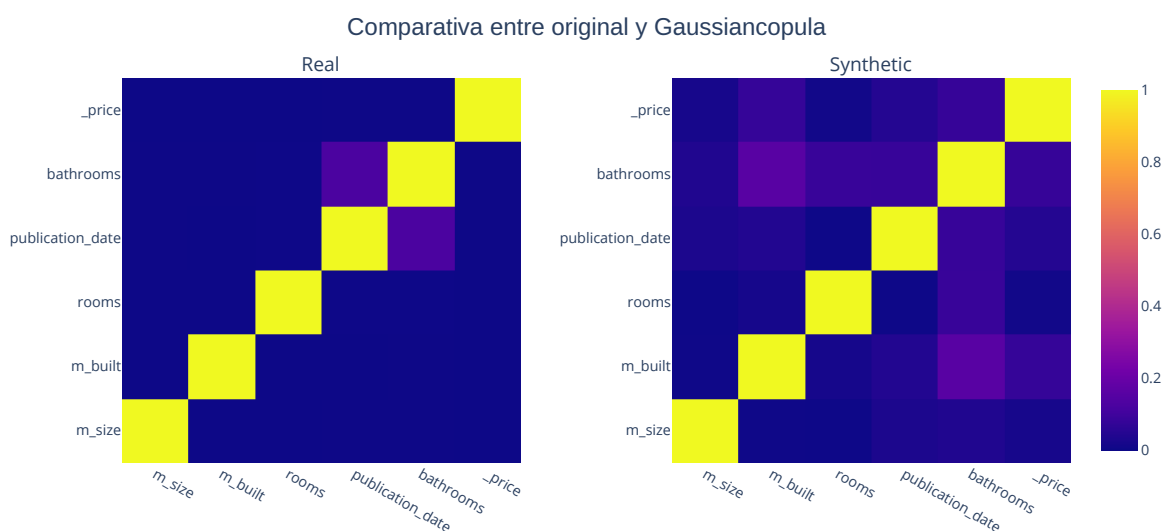


Figura A.32: Correlación de conjunto original de entrenamiento y Gaussiancopula, Economicos (B-1)

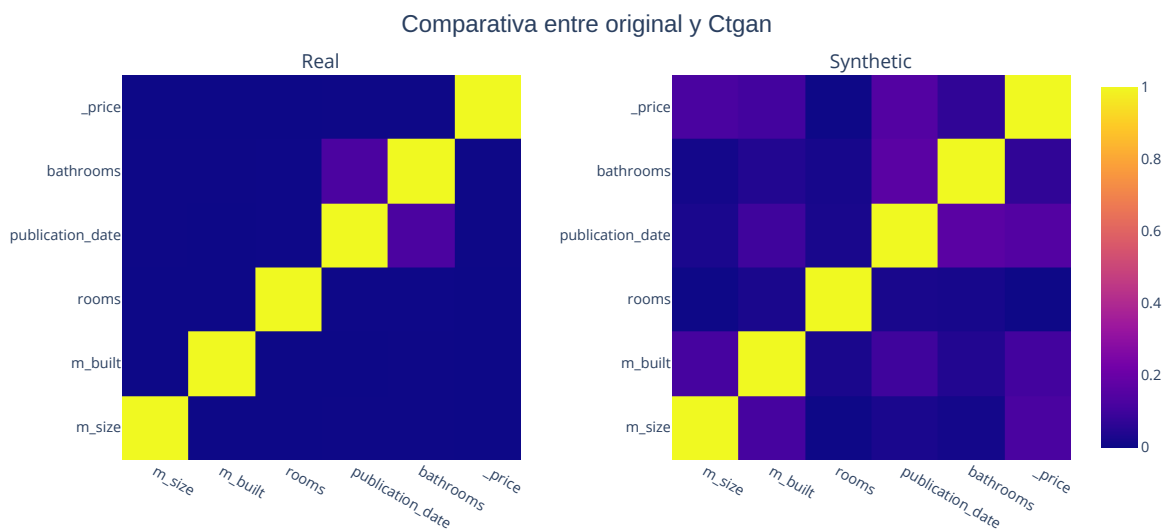


Figura A.33: Correlación de conjunto original de entrenamiento y Ctgan, Economicos (B-1)

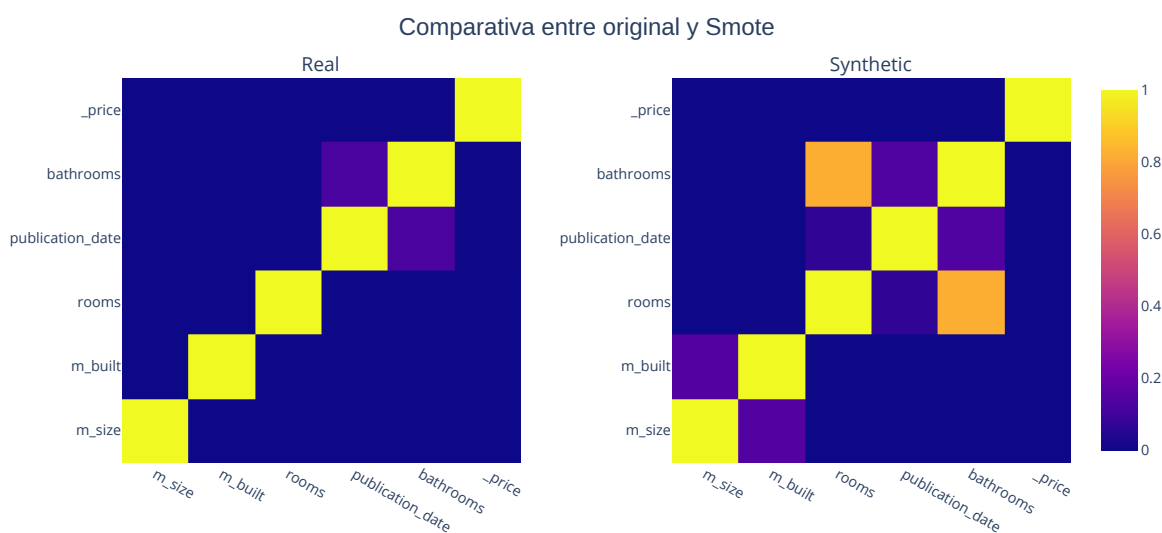


Figura A.34: Correlación de conjunto original de entrenamiento y Smote, Economicos (B-1)

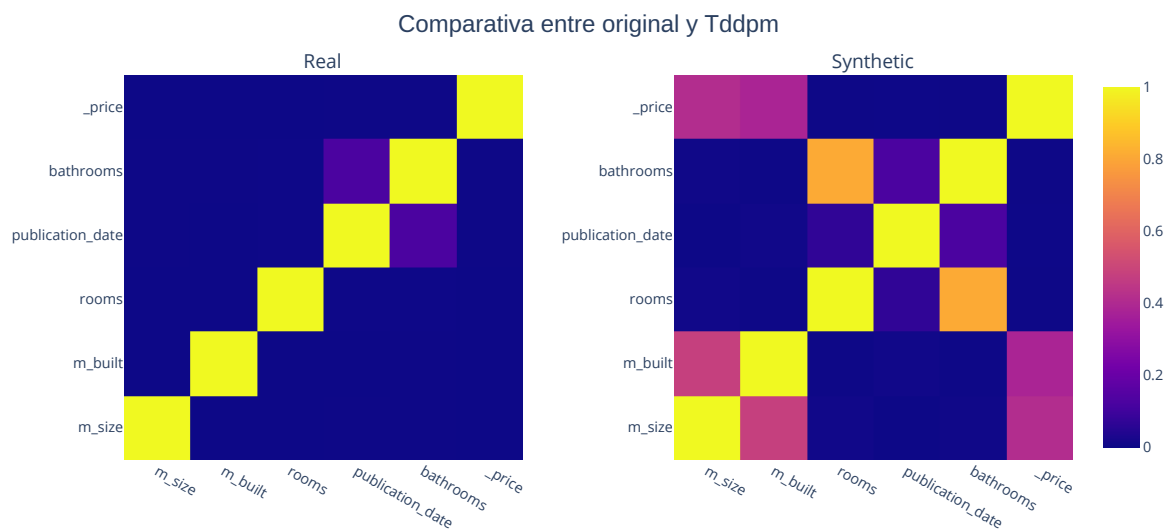


Figura A.35: Correlación de conjunto original de entrenamiento y Tddpm, Economicos (B-1)

A.7. Ejemplos de 10 Registros Generados Aleatoriamente en Descripciones Económicas A-1

Tabla A.1: Ejemplos de textos aleatorios del modelo Tddpm, conjunto Economicos (A-1)

| description |
|--|
| Piso de madera en el primer piso, living comedor con salida a terraza que tienen 2 baños completos (incluye una sala de estar) Living comedor amplio para lavadora separados por un bodega altura del hall de entrada; logia equipada como estacionamiento techado! |
| Departamento de 2 pisos, 1 baño con salida a terraza en living comedor que comparte un gran jardín para dos vehículos (incluye una bodega). Cuenta con 3 estacionamientos principales del edificio al lado de la calle San Miguel) Condominio cuenta con:- Cocina equipada completamente equipada como sala de estar/cocina amoblada; amplio hall de entrada por todo el departamento! El dormitorio principal está equipado con estacionamiento techado cerrado se entregan los siguientes elementos: – Living comedor completo + Comedor separado Amplio Hall de entrada Ascensor Gran Terraza Lavadora Techada Encimera Ventanas termopanel Termopanel Horno horno cubierta dishwasher |
| Excelente conectividad, cercana a metro La Florida con accesos controlados en el sector de la Florida (propiedades). Cuenta con 2 estacionamientos para dos vehículos que cuentan con un baño completo al jardín del barrio Los Angeles; 1 bodega: 3 pisos + living comedor/comedor-instalación completamente equipada como una gran terraza techada por todo el terreno! |
| Dormitorio principal en suite con walk in closet, baño de visitas, sala de estar, quincho, terraza para 2 vehículos, living comedor amplio que comparte una gran vista al metro Las Condes (a pasos del Metro Los Condes) 1 Baño completo Amplio Living Comedor Con salida a terraza Además cuenta con: Calefacción por radiadores El sector se encuentra muy cerca de la estacionamientos La casa está equipada con logia Techada Espectacular Vista panorámica sobre las calles principales cercanas a supermercados, comercios comerciales, centros comerciales, hospitales etc. |
| Departamento de 2 pisos, 1 baño completo, living comedor con salida a terraza en el primer piso (cocina equipada), sala de estar, quincho, lavandería, gimnasio, estacionamiento para dos vehículos, amplio jardín al lado del metro San Miguel; 3 estacionamientos techados, logia completamente equipada por una gran vista panorámica sobre las principales calles cercanas a supermercados, centros comerciales, hospitales etc. |
| - Living comedor con salida a terraza, living comedor en su primer piso (cocina equipada) - Cocina amoblada de madera para 2 vehículos que cuentan con lavandería completamente integrada al jardín; baño completo: sala de estar amplio como estacionamiento por losa radiante! - Sala de reuniones + bodega |
| Piso de madera en el primer piso, living comedor con salida a terraza que tienen 2 baños completos (incluye una sala de estar) Living comedor amplio para lavadora separados por un bodega altura del hall de entrada; logia equipada como estacionamiento techado A pasos de metro Los Barnechees! Calefacción central controlada Por radiadores: Ventanas termopanel Condominio Amplio Hall de entrada Cocina amoblada Edificio cuenta con 3 estacionamientos El principal es uno de los dos pisos principales La casa está construida completamente integrada En este sector encontramos 1 gran jardín Se vende inmejorable conectividad cercana a Metro Lo Barnecheo Centro Comercial Las Casas son muy bien equipadas Para más información sobre su propiedad contactar directamente a www.clpropiedades.com |
| Piso de madera en el primer piso, living comedor con salida a terraza que tiene una vista panorámica al centro del barrio Peñaflor (principal) 2 baños completos 1 bodega 3 estacionamientos 4 estacionamientos 5 pisos 6 bodegas Living Comedor Cocina amoblada Condominio Amplio Hall de entrada Calefacción por radiadores Ventanas termopanel Termopanel Lavadora Techada Amueblada: Terraza Totalmente equipada! |
| Dormitorio principal en suite con walk in closet, baño de visitas, sala de estar para 2 vehículos, living comedor amplio que comparte una gran terraza completamente equipada por lavandería altura del jardín el primer piso: Living comedor como salida a terraza (con vista panorámica) Terraza techada 3 estacionamientos 1 bodega 4 estacionamiento 5 pisos Amplio hall de entrada Condominio cuenta con acceso directo a todo locomoción controlada A pasos de metro Metro San Francisco Las Casas se Venden un departamento muy bien equipado! Cuenta con amplia ventanas termopanel/calefacción central-instalación energética +56 9 8 6 7 |
| Departamento de 2 pisos, 1 baño con walk in closet, living comedor en su primer piso, sala de estar, quincho, terraza para dos autos, 3 estacionamientos, 5 bodegas, 4 estacionamiento (incluye un amplio jardín) Living comedor equipado por lavandería alrededor del dormitorio principal que comparte una vista panorámica sobre el mar se encuentra muy cerca de las playas más cercanas a supermercados, centros comerciales, gimnasio, comercio, restaurante, cafetería, etc. |

A.8. Ejemplos de 10 Registros Generados Aleatoriamente en Descripciones Económicas

Tabla A.2: Ejemplos de textos aleatorios del modelo Tddpm, conjunto Economicos (B-1)

| description |
|--|
| Cuenta con oficinas, baños, sala de reuniones, estacionamiento para vehículos |
| Departamento de 3 dormitorios, 2 baños, living comedor con salida a terraza, cocina amoblada equipada (incluye encimera), horno empotrado, campana, cubierta de granito, logia cerrada, estacionamiento techado para visitas |
| Departamento de dos dormitorios, 2 baños, living comedor con salida a terraza, cocina amoblada equipada encimera, horno empotrado, campana, logia cerrada, estacionamiento subterráneo para vehículos (conserjería las 24 horas) |
| Cuenta con 3 dormitorios, 2 baños, living comedor, cocina amoblada, logia, estacionamiento techado para dos vehículos (con ventanas de aluminio) |
| Vendo parcela de 5000 m2 en Pucón, con vista al valle del lago El Lagos (condominio) se encuentra cerca de la playa Las Araucanía |
| Departamento de 1 dormitorio, living comedor con salida a terraza en el primer piso (cocina equipada), baño completo; estacionamiento techado para 2 vehículos + bodega |
| Cuenta con 4 dormitorios, 2 baños, living comedor, cocina amoblada, logia, estacionamiento techado para dos vehículos en el primer piso (incluye lavadora) |
| Excelente casa en Puente Alto, 3 dormitorios, 2 baños, living comedor, cocina amoblada, logia, estacionamiento techado para dos vehículos con acceso controlado las 24 horas |

A.9. Estadísticos KingCounty

Tabla A.3: Propiedades estadísticas de variable view, King county (A-3)

| Variable/Modelo | Real | tddpm_mlp | smote-enc | ctgan |
|------------------|---|---|---|---|
| top5 | [0 2 3 1 4] | [0 2 3 4 1] | [0 2 3 4 1] | [0 2 4 3 1] |
| top5_freq | [15586 783 396 275 250] | [20422 590 315 160 126] | [20868 331 200 140 75] | [16772 1981 1266 812 782] |
| top5_prob | [0.90144592 0.04528629 0.02290341 0.01590515 0.01445922] | [0.94489428 0.02729839 0.01457456 0.00740295 0.00582982] | [0.96548533 0.01531415 0.00925326 0.00647728 0.00346997] | [0.77601444 0.0916578 0.05857586 0.03756998 0.03618193] |
| nobs | 17290 | 21613 | 21614 | 21613 |
| missing | 0.000 | 0.000 | 0.000 | 0.000 |
| mean | 0.233 | 0.134 | 0.088 | 0.567 |
| std_err | 0.006 | 0.004 | 0.003 | 0.008 |
| upper_ci | 0.244 | 0.142 | 0.094 | 0.582 |
| lower_ci | 0.222 | 0.126 | 0.081 | 0.551 |
| std | 0.762 | 0.589 | 0.494 | 1.165 |
| iqr | 0.000 | 0.000 | 0.000 | 0.000 |
| iqr_normal | 0.000 | 0.000 | 0.000 | 0.000 |
| mad | 0.420 | 0.253 | 0.169 | 0.879 |
| mad_normal | 0.527 | 0.317 | 0.212 | 1.102 |
| coef_var | 3.269 | 4.402 | 5.628 | 2.056 |
| range | 4.000 | 4.000 | 4.000 | 4.000 |
| max | 4.000 | 4.000 | 4.000 | 4.000 |
| min | 0.000 | 0.000 | 0.000 | 0.000 |
| skew | 3.402 | 4.653 | 6.021 | 1.925 |
| kurtosis | 13.971 | 24.722 | 40.167 | 5.389 |
| jarque_bera | 120072 | 502895 | 1374638 | 18491 |
| jarque_bera_pval | 0.000 | 0.000 | 0.000 | 0.000 |
| mode | 0.000 | 0.000 | 0.000 | 0.000 |
| mode_freq | 0.901 | 0.945 | 0.965 | 0.776 |
| median | 0.000 | 0.000 | 0.000 | 0.000 |
| 0.1 % | 0.000 | 0.000 | 0.000 | 0.000 |
| 1.0 % | 0.000 | 0.000 | 0.000 | 0.000 |
| 5.0 % | 0.000 | 0.000 | 0.000 | 0.000 |
| 25.0 % | 0.000 | 0.000 | 0.000 | 0.000 |
| 75.0 % | 0.000 | 0.000 | 0.000 | 0.000 |
| 95.0 % | 2.000 | 1.000 | 0.000 | 4.000 |
| 99.0 % | 4.000 | 3.000 | 3.000 | 4.000 |
| 99.9 % | 4.000 | 4.000 | 4.000 | 4.000 |

Tabla A.4: Propiedades estadísticas de variable yr_renovated, King county (A-3)

| Variable/Modelo | Real | tddpm_mlp | smote-enc | ctgan |
|------------------|---|--|--|--|
| top5 | [0 2014 2005 2000 2003] | [0. 2014. 2015. 1955.66277505 2006.44440938] | [0. 2014. 2005. 2006. 2000.] | [0 1 2 3 4] |
| top5_freq | [16571 76 32 30 29] | [20904 43 5 1 1] | [20762 18 5 3 3] | [15888 1082 893 782 614] |
| top5_prob | [0.95841527 0.0043956 0.00185078 0.00173511 0.00167727] | [9.67195669e-01 1.98954333e-03 2.31342248e-04 4.62684495e-05 4.62684495e-05] | [9.60581105e-01 8.32793560e-04 2.31331544e-04 1.38798927e-04 1.38798927e-04] | [0.73511313 0.05006246 0.04131773 0.03618193 0.02840883] |
| nobs | 17290 | 21613 | 21614 | 21613 |
| missing | 0.000 | 0.000 | 0.000 | 0.000 |
| mean | 83.003 | 65.610 | 72.998 | 76.292 |
| std_err | 3.031 | 2.424 | 2.514 | 2.536 |
| upper_ci | 88.943 | 70.361 | 77.926 | 81.263 |
| lower_ci | 77.063 | 60.859 | 68.070 | 71.321 |
| std | 398.503 | 356.361 | 369.663 | 372.863 |
| iqr | 0.000 | 0.000 | 0.000 | 1.000 |
| iqr_normal | 0.000 | 0.000 | 0.000 | 0.741 |
| mad | 159.103 | 126.915 | 140.273 | 144.963 |
| mad_normal | 199.407 | 159.064 | 175.806 | 181.684 |
| coef_var | 4.801 | 5.432 | 5.064 | 4.887 |
| range | 2015 | 2015 | 2015 | 2015 |
| max | 2015 | 2015 | 2015 | 2015 |
| min | 0.000 | 0.000 | 0.000 | 0.000 |
| skew | 4.593 | 5.249 | 4.937 | 4.749 |
| kurtosis | 22.096 | 28.552 | 25.530 | 23.603 |
| jarque_bera | 323506 | 687184 | 544922 | 463512 |
| jarque_bera_pval | 0.000 | 0.000 | 0.000 | 0.000 |
| mode | 0.000 | 0.000 | 0.000 | 0.000 |
| mode_freq | 0.958 | 0.967 | 0.961 | 0.735 |
| median | 0.000 | 0.000 | 0.000 | 0.000 |
| 0.1 % | 0.000 | 0.000 | 0.000 | 0.000 |
| 1.0 % | 0.000 | 0.000 | 0.000 | 0.000 |
| 5.0 % | 0.000 | 0.000 | 0.000 | 0.000 |
| 25.0 % | 0.000 | 0.000 | 0.000 | 0.000 |
| 75.0 % | 0.000 | 0.000 | 0.000 | 1.000 |
| 95.0 % | 0.000 | 0.000 | 0.000 | 8.000 |
| 99.0 % | 2008 | 2008 | 2005 | 2002 |
| 99.9 % | 2014 | 2014 | 2014 | 2015 |

Tabla A.5: Propiedades estadísticas de variable sqft_lot, King county (A-3)

| Variable/Modelo | Real | tddpm_mlp | smote-enc | ctgan |
|------------------|---|---|---|---|
| top5 | [5000 4000 6000 7200 4800] | [5000. 4000. 6000. 7200. 7500.] | [5000. 4000. 3600. 6000. 7200.] | [520 4312 642 1105 4267] |
| top5_freq | [301 209 208 179 98] | [294 268 218 201 109] | [57 39 32 20 11] | [5159 7 7 6 6] |
| top5_prob | [0.01740891 0.01208791 0.01203008 0.01035281 0.00566802] | [0.01360292 0.01239994 0.01008652 0.00929996 0.00504326] | [0.00263718 0.00180439 0.00148052 0.00092533 0.00050893] | [0.23869893 0.00032388 0.00032388 0.00027761 0.00027761] |
| nobs | 17290 | 21613 | 21614 | 21613 |
| missing | 0.000 | 0.000 | 0.000 | 0.000 |
| mean | 14799 | 16438 | 13507 | 9579 |
| std_err | 295.375 | 574.001 | 206.847 | 164.968 |
| upper_ci | 15378 | 17563 | 13912 | 9903 |
| lower_ci | 14220 | 15313 | 13101 | 9256 |
| std | 38839 | 84386 | 30410 | 24253 |
| iqr | 5606 | 5038 | 5475 | 8679 |
| iqr_normal | 4155 | 3735 | 4059 | 6434 |
| mad | 13382 | 16484 | 11151 | 9367 |
| mad_normal | 16772 | 20660 | 13975 | 11740 |
| coef_var | 2.624 | 5.134 | 2.252 | 2.532 |
| range | 1164274 | 1650829 | 958936 | 324058 |
| max | 1164794 | 1651359 | 959567 | 324578 |
| min | 520.000 | 529.965 | 630.944 | 520.000 |
| skew | 11.588 | 17.333 | 10.344 | 7.011 |
| kurtosis | 215.591 | 326.519 | 178.841 | 60.174 |
| jarque_bera | 32946220 | 95337170 | 28231599 | 3120785 |
| jarque_bera_pval | 0.000 | 0.000 | 0.000 | 0.000 |
| mode | 5000 | 5000 | 5000 | 520 |
| mode_freq | 0.017 | 0.014 | 0.003 | 0.239 |
| median | 7600 | 7618 | 7666 | 4602 |
| 0.1 % | 737.156 | 818.002 | 834.632 | 520.000 |
| 1.0 % | 1005 | 1056 | 1082 | 520 |
| 5.0 % | 1756 | 1988 | 1813 | 520 |
| 25.0 % | 5001 | 5097 | 5109 | 704 |
| 75.0 % | 10607 | 10135 | 10584 | 9383 |
| 95.0 % | 42999 | 35585 | 39715 | 25720 |
| 99.0 % | 212192 | 191215 | 168317 | 152365 |
| 99.9 % | 435600 | 1651359 | 362801 | 268851 |

Tabla A.6: Propiedades estadísticas de variable floors, King county (A-3)

| Variable/Modelo | Real | tddpm_mlp | smote-enc | ctgan |
|------------------|---|--|--|---|
| top5 | [1. 2. 1.5 3. 2.5] | [1. 2. 1.5 3. 2.5] | [1. 2. 1.5 3. 2.5] | [1. 2. 1.5 3. 2.5] |
| top5_freq | [8488 6628 1523 517 128] | [11240 8399 1438 489 47] | [11137 8525 1332 581 39] | [12466 6155 1835 531 467] |
| top5_prob | [0.49091961 0.38334297 0.0880856 0.02990168 0.00740312] | [0.52005737 0.38860871 0.06653403 0.02262527 0.00217462] | [0.51526788 0.39442028 0.06162672 0.02688073 0.00180439] | [0.57678249 0.28478231 0.0849026 0.02456855 0.02160737] |
| nobs | 17290 | 21613 | 21614 | 21613 |
| missing | 0.000 | 0.000 | 0.000 | 0.000 |
| mean | 1.499 | 1.470 | 1.482 | 1.427 |
| std_err | 0.004 | 0.004 | 0.004 | 0.004 |
| upper_ci | 1.507 | 1.477 | 1.489 | 1.435 |
| lower_ci | 1.491 | 1.463 | 1.475 | 1.420 |
| std | 0.543 | 0.529 | 0.538 | 0.563 |
| iqr | 1.000 | 1.000 | 1.000 | 1.000 |
| iqr_normal | 0.741 | 0.741 | 0.741 | 0.741 |
| mad | 0.490 | 0.489 | 0.496 | 0.493 |
| mad_normal | 0.614 | 0.613 | 0.622 | 0.618 |
| coef_var | 0.362 | 0.359 | 0.363 | 0.394 |
| range | 2.500 | 2.000 | 2.000 | 2.500 |
| max | 3.500 | 3.000 | 3.000 | 3.500 |
| min | 1.000 | 1.000 | 1.000 | 1.000 |
| skew | 0.615 | 0.589 | 0.599 | 1.103 |
| kurtosis | 2.526 | 2.336 | 2.400 | 3.643 |
| jarque_bera | 1252 | 1646 | 1618 | 4758 |
| jarque_bera_pval | 0.000 | 0.000 | 0.000 | 0.000 |
| mode | 1.000 | 1.000 | 1.000 | 1.000 |
| mode_freq | 0.491 | 0.520 | 0.515 | 0.577 |
| median | 1.500 | 1.000 | 1.000 | 1.000 |
| 0.1 % | 1.000 | 1.000 | 1.000 | 1.000 |
| 1.0 % | 1.000 | 1.000 | 1.000 | 1.000 |
| 5.0 % | 1.000 | 1.000 | 1.000 | 1.000 |
| 25.0 % | 1.000 | 1.000 | 1.000 | 1.000 |
| 75.0 % | 2.000 | 2.000 | 2.000 | 2.000 |
| 95.0 % | 2.000 | 2.000 | 2.000 | 2.500 |
| 99.0 % | 3.000 | 3.000 | 3.000 | 3.000 |
| 99.9 % | 3.000 | 3.000 | 3.000 | 3.500 |

Tabla A.7: Propiedades estadísticas de variable date, King county (A-3)

| Variable/Modelo | Real | tddpm_mlp | smote-enc | ctgan |
|-----------------|---|---|---|---|
| top5 | ['20140623T000000' '20140625T000000' '20140626T000000' '20150421T000000' '20150325T000000'] | ['20140623T000000' '20150325T000000' '20150421T000000' '20140625T000000' '20140825T000000'] | ['20140625T000000' '20140623T000000' '20140825T000000' '20150422T000000' '20150427T000000'] | ['20150310T000000' '20150327T000000' '20140603T000000' '20150226T000000' '20150329T000000'] |
| top5_freq | [123 105 101 101 101] | [179 171 160 150 149] | [169 166 135 133 133] | [471 406 372 321 286] |
| top5_prob | [0.00711394 0.00607287 0.00584153 0.00584153 0.00584153] | [0.00828205 0.0079119 0.00740295 0.00694027 0.006894] | [0.00781901 0.00768021 0.00624595 0.00615342 0.00615342] | [0.02179244 0.01878499 0.01721186 0.01485217 0.01323278] |
| nobs | 17290 | 21613 | 21614 | 21613 |
| missing | 17290 | 0 | 0 | 0 |

Tabla A.8: Propiedades estadísticas de variable bathrooms, King county (A-3)

| Variable/Modelo | Real | tddpm_mlp | smote-enc | ctgan |
|------------------|---|---|---|---|
| top5 | [2.5 1. 1.75 2.25 2.] | [2.5 1. 1.75 2.25 2.] | [2.5 1. 1.75 2.25 2.] | [2.5 1. 1.75 2.25 2.] |
| top5_freq | [4333 3088 2425 1621 1526] | [6052 3979 3245 2158 1698] | [6736 4809 3275 1934 1345] | [5486 4029 2410 1477 1270] |
| top5_prob | [0.25060729 0.17860035 0.14025448 0.09375361 0.08825911] | [0.28001666 0.18410216 0.15014112 0.09984731 0.07856383] | [0.31164986 0.22249468 0.15152216 0.08947904 0.06222819] | [0.25382871 0.18641558 0.11150696 0.0683385 0.05876093] |
| nobs | 17290 | 21613 | 21614 | 21613 |
| missing | 0.000 | 0.000 | 0.000 | 0.000 |
| mean | 2.114 | 2.084 | 2.018 | 2.233 |
| std_err | 0.006 | 0.005 | 0.005 | 0.006 |
| upper_ci | 2.125 | 2.093 | 2.028 | 2.245 |
| lower_ci | 2.102 | 2.074 | 2.009 | 2.220 |
| std | 0.767 | 0.721 | 0.710 | 0.930 |
| iqr | 1.000 | 0.750 | 1.000 | 1.250 |
| iqr_normal | 0.741 | 0.556 | 0.741 | 0.927 |
| mad | 0.615 | 0.587 | 0.596 | 0.733 |
| mad_normal | 0.771 | 0.736 | 0.746 | 0.919 |
| coef_var | 0.363 | 0.346 | 0.352 | 0.417 |
| range | 8.000 | 7.250 | 4.750 | 8.000 |
| max | 8.000 | 7.750 | 5.500 | 8.000 |
| min | 0.000 | 0.500 | 0.750 | 0.000 |
| skew | 0.464 | 0.316 | 0.128 | 0.441 |
| kurtosis | 3.989 | 3.852 | 2.742 | 3.687 |
| jarque_bera | 1326 | 1013 | 119 | 1126 |
| jarque_bera_pval | 0.000 | 0.000 | 0.000 | 0.000 |
| mode | 2.500 | 2.500 | 2.500 | 2.500 |
| mode_freq | 0.251 | 0.280 | 0.312 | 0.254 |
| median | 2.250 | 2.250 | 2.250 | 2.500 |
| 0.1 % | 0.750 | 1.000 | 1.000 | 0.000 |
| 1.0 % | 1.000 | 1.000 | 1.000 | 0.750 |
| 5.0 % | 1.000 | 1.000 | 1.000 | 1.000 |
| 25.0 % | 1.500 | 1.750 | 1.500 | 1.500 |
| 75.0 % | 2.500 | 2.500 | 2.500 | 2.750 |
| 95.0 % | 3.500 | 3.250 | 3.250 | 4.000 |
| 99.0 % | 4.250 | 3.750 | 3.500 | 4.750 |
| 99.9 % | 5.428 | 5.000 | 4.500 | 6.000 |

Tabla A.9: Propiedades estadísticas de variable yr_built, King county (A-3)

| Variable/Modelo | Real | tddpm_mlp | smote-enc | ctgan |
|------------------|--|---|--|---|
| top5 | [2014 2005 2006 2004 2007] | [2006. 2005. 2004. 2008. 2007.] | [2014. 2006. 2004. 2005. 2003.] | [2015 1978 1980 1977 1975] |
| top5_freq | [449 371 366 350 347] | [511 484 426 406 404] | [270 109 104 103 102] | [1581 325 324 316 314] |
| top5_prob | [0.02596877 0.02145749 0.02116831 0.02024291 0.0200694] | [0.02364318 0.02239393 0.01971036 0.01878499 0.01869245] | [0.0124919 0.00504303 0.0048117 0.00476543 0.00471916] | [0.07315042 0.01503725 0.01499098 0.01462083 0.01452829] |
| nobs | 17290 | 21613 | 21614 | 21613 |
| missing | 0.000 | 0.000 | 0.000 | 0.000 |
| mean | 1971 | 1972 | 1971 | 1973 |
| std_err | 0.224 | 0.191 | 0.198 | 0.203 |
| upper_ci | 1972 | 1973 | 1972 | 1974 |
| lower_ci | 1971 | 1972 | 1971 | 1973 |
| std | 29.436 | 28.054 | 29.073 | 29.823 |
| iqr | 46.000 | 44.000 | 45.388 | 45.000 |
| iqr_normal | 34.100 | 32.617 | 33.646 | 33.359 |
| mad | 24.632 | 23.315 | 24.378 | 24.488 |
| mad_normal | 30.872 | 29.221 | 30.553 | 30.691 |
| coef_var | 0.015 | 0.014 | 0.015 | 0.015 |
| range | 115.000 | 115.000 | 115.000 | 115.000 |
| max | 2015 | 2015 | 2015 | 2015 |
| min | 1900 | 1900 | 1900 | 1900 |
| skew | -0.472 | -0.477 | -0.465 | -0.446 |
| kurtosis | 2.337 | 2.432 | 2.310 | 2.412 |
| jarque_bera | 957.631 | 1108.611 | 1206.759 | 1027.161 |
| jarque_bera_pval | 0.000 | 0.000 | 0.000 | 0.000 |
| mode | 2014 | 2006 | 2014 | 2015 |
| mode_freq | 0.026 | 0.024 | 0.012 | 0.073 |
| median | 1975 | 1974 | 1975 | 1975 |
| 0.1 % | 1900 | 1900 | 1901 | 1900 |
| 1.0 % | 1904 | 1906 | 1906 | 1902 |
| 5.0 % | 1915 | 1919 | 1916 | 1918 |
| 25.0 % | 1951 | 1954 | 1952 | 1954 |
| 75.0 % | 1997 | 1998 | 1997 | 1999 |
| 95.0 % | 2011 | 2009 | 2010 | 2015 |
| 99.0 % | 2014 | 2014 | 2014 | 2015 |
| 99.9 % | 2015 | 2015 | 2014 | 2015 |

Tabla A.10: Propiedades estadísticas de variable sqft_above, King county (A-3)

| Variable/Modelo | Real | tddpm_mlp | smote-enc | ctgan |
|------------------|--|---|--|---|
| top5 | [1300 1010 1200 1220 1140] | [1300. 1010. 1220. 1340. 1060.] | [1800. 1830. 770. 1200. 1160.] | [1553 1446 1533 1479 1384] |
| top5_freq | [166 165 160 152 148] | [196 178 176 173 170] | [15 13 12 12 11] | [25 25 25 24 23] |
| top5_prob | [0.00960093 0.00954309 0.0092539 0.00879121 0.00855986] | [0.00906862 0.00823578 0.00814325 0.00800444 0.00786564] | [0.00069399 0.00060146 0.0005552 0.0005552 0.00050893] | [0.00115671 0.00115671 0.00115671 0.00111044 0.00106417] |
| nobs | 17290 | 21613 | 21614 | 21613 |
| missing | 0.000 | 0.000 | 0.000 | 0.000 |
| mean | 1786 | 1766 | 1771 | 2006 |
| std_err | 6.249 | 5.870 | 5.222 | 7.523 |
| upper_ci | 1798 | 1778 | 1781 | 2021 |
| lower_ci | 1774 | 1755 | 1760 | 1991 |
| std | 821.626 | 862.982 | 767.744 | 1105.973 |
| iqr | 1000.000 | 958.755 | 961.973 | 1127.000 |
| iqr_normal | 741.301 | 710.726 | 713.112 | 835.446 |
| mad | 635.012 | 616.093 | 600.877 | 820.979 |
| mad_normal | 795.870 | 772.158 | 753.087 | 1028.945 |
| coef_var | 0.460 | 0.489 | 0.434 | 0.551 |
| range | 8570 | 9120 | 7429 | 7255 |
| max | 8860 | 9410 | 7819 | 7545 |
| min | 290.000 | 290.229 | 389.730 | 290.000 |
| skew | 1.428 | 2.895 | 1.273 | 1.577 |
| kurtosis | 6.260 | 21.428 | 4.922 | 5.740 |
| jarque_bera | 13530 | 336010 | 9168 | 15721 |
| jarque_bera_pval | 0.000 | 0.000 | 0.000 | 0.000 |
| mode | 1300 | 1300 | 1800 | 1446 |
| mode_freq | 0.010 | 0.009 | 0.001 | 0.001 |
| median | 1560 | 1540 | 1554 | 1691 |
| 0.1 % | 520.000 | 534.834 | 609.393 | 371.224 |
| 1.0 % | 700.000 | 718.132 | 739.478 | 559.120 |
| 5.0 % | 850.000 | 868.899 | 887.703 | 814.000 |
| 25.0 % | 1200 | 1200 | 1211 | 1275 |
| 75.0 % | 2200 | 2159 | 2173 | 2402 |
| 95.0 % | 3380 | 3228 | 3296 | 4282 |
| 99.0 % | 4371 | 4263 | 4147 | 5802 |
| 99.9 % | 6070 | 9410 | 5082 | 7015 |

Tabla A.11: Propiedades estadísticas de variable sqft_basement, King county (A-3)

| Variable/Modelo | Real | tddpm_mlp | smote-enc | ctgan |
|------------------|---|---|--|---|
| top5 | [0 600 700 500 800] | [0. 500. 600. 700. 800.] | [0. 600. 400. 380. 200.] | [0 6 8 7 10] |
| top5_freq | [10553 182 169 167 164] | [13152 228 220 204 181] | [11754 16 12 11 9] | [4948 817 816 789 759] |
| top5_prob | [0.61035281 0.01052632 0.00977444 0.00965876 0.00948525] | [0.60852265 0.01054921 0.01017906 0.00943876 0.00837459] | [5.43814195e-01 7.40260942e-04 5.55195706e-04 5.08929398e-04 4.16396780e-04] | [0.22893629 0.03780132 0.03775505 0.03650581 0.03511775] |
| nobs | 17290 | 21613 | 21614 | 21613 |
| missing | 0.000 | 0.000 | 0.000 | 0.000 |
| mean | 287.933 | 312.217 | 271.488 | 248.476 |
| std_err | 3.337 | 3.470 | 2.753 | 3.448 |
| upper_ci | 294.472 | 319.019 | 276.884 | 255.234 |
| lower_ci | 281.393 | 305.416 | 266.091 | 241.717 |
| std | 438.727 | 510.175 | 404.769 | 506.927 |
| iqr | 550.000 | 600.000 | 503.482 | 17.000 |
| iqr_normal | 407.716 | 444.781 | 373.232 | 12.602 |
| mad | 360.277 | 385.339 | 330.089 | 367.559 |
| mad_normal | 451.541 | 482.950 | 413.705 | 460.667 |
| coef_var | 1.524 | 1.634 | 1.491 | 2.040 |
| range | 4820 | 4820 | 3456 | 3194 |
| max | 4820 | 4820 | 3456 | 3194 |
| min | 0.000 | 0.000 | 0.000 | 0.000 |
| skew | 1.571 | 3.287 | 1.525 | 2.300 |
| kurtosis | 5.639 | 24.533 | 5.001 | 8.137 |
| jarque_bera | 12126 | 456478 | 11979 | 42810 |
| jarque_bera_pval | 0.000 | 0.000 | 0.000 | 0.000 |
| mode | 0.000 | 0.000 | 0.000 | 0.000 |
| mode_freq | 0.610 | 0.609 | 0.544 | 0.229 |
| median | 0.000 | 0.000 | 0.000 | 9.000 |
| 0.1 % | 0.000 | 0.000 | 0.000 | 0.000 |
| 1.0 % | 0.000 | 0.000 | 0.000 | 0.000 |
| 5.0 % | 0.000 | 0.000 | 0.000 | 0.000 |
| 25.0 % | 0.000 | 0.000 | 0.000 | 1.000 |
| 75.0 % | 550.000 | 600.000 | 503.482 | 18.000 |
| 95.0 % | 1180 | 1148 | 1096 | 1393 |
| 99.0 % | 1650 | 1702 | 1514 | 2170 |
| 99.9 % | 2324 | 4820 | 2078 | 2914 |

Tabla A.12: Propiedades estadísticas de variable bedrooms, King county (A-3)

| Variable/Modelo | Real | tddpm_mlp | smote-enc | ctgan |
|------------------|---|--|--|--|
| top5 | [3 4 2 5 6] | [3 4 2 5 6] | [3 4 2 5 1] | [3 4 2 5 1] |
| top5_freq | [7865 5477 2237 1292 212] | [10764 7042 2416 1223 89] | [11340 7133 2395 682 42] | [7651 7589 2472 1742 451] |
| top5_prob | [0.45488722 0.3167727 0.12938115 0.07472527 0.01226142] | [0.49803359 0.32582242 0.11178457 0.05658631 0.00411789] | [0.52465994 0.33001758 0.11080781 0.03155362 0.00194318] | [0.35399991 0.35113126 0.11437561 0.08059964 0.02086707] |
| nobs | 17290 | 21613 | 21614 | 21613 |
| missing | 0.000 | 0.000 | 0.000 | 0.000 |
| mean | 3.368 | 3.335 | 3.282 | 3.975 |
| std_err | 0.007 | 0.005 | 0.005 | 0.025 |
| upper_ci | 3.382 | 3.346 | 3.291 | 4.025 |
| lower_ci | 3.354 | 3.324 | 3.272 | 3.926 |
| std | 0.931 | 0.805 | 0.712 | 3.717 |
| iqr | 1.000 | 1.000 | 1.000 | 1.000 |
| iqr_normal | 0.741 | 0.741 | 0.741 | 0.741 |
| mad | 0.734 | 0.648 | 0.589 | 1.354 |
| mad_normal | 0.920 | 0.812 | 0.738 | 1.697 |
| coef_var | 0.277 | 0.241 | 0.217 | 0.935 |
| range | 33.000 | 33.000 | 8.000 | 33.000 |
| max | 33.000 | 33.000 | 9.000 | 33.000 |
| min | 0.000 | 0.000 | 1.000 | 0.000 |
| skew | 2.304 | 2.542 | 0.139 | 6.765 |
| kurtosis | 63.268 | 88.155 | 3.373 | 52.903 |
| jarque_bera | 2631992 | 6553502 | 195 | 2407490 |
| jarque_bera_pval | 0.000 | 0.000 | 0.000 | 0.000 |
| mode | 3.000 | 3.000 | 3.000 | 3.000 |
| mode_freq | 0.455 | 0.498 | 0.525 | 0.354 |
| median | 3.000 | 3.000 | 3.000 | 3.000 |
| 0.1 % | 1.000 | 1.000 | 1.000 | 0.000 |
| 1.0 % | 2.000 | 2.000 | 2.000 | 0.000 |
| 5.0 % | 2.000 | 2.000 | 2.000 | 2.000 |
| 25.0 % | 3.000 | 3.000 | 3.000 | 3.000 |
| 75.0 % | 4.000 | 4.000 | 4.000 | 4.000 |
| 95.0 % | 5.000 | 5.000 | 4.000 | 6.000 |
| 99.0 % | 6.000 | 5.000 | 5.000 | 33.000 |
| 99.9 % | 7.000 | 6.000 | 5.387 | 33.000 |

Tabla A.13: Propiedades estadísticas de variable long, King county (A-3)

| Variable/Modelo | Real | tddpm_mlp | smote-enc | ctgan |
|------------------|---|---|---|---|
| top5 | [-122.29 -122.362 -122.288 -122.3 - 122.372] | [-122.3 -122.29 -122.189 -122.304 -122.307] | [-122.284 -122.351 -122.017 -122.387 - 122.29] | [-122.331 -122.337 -122.347 -122.324 - 122.319] |
| top5_freq | [100 88 81 81 81] | [113 101 88 87 84] | [26 22 21 20 18] | [130 120 110 108 107] |
| top5_prob | [0.00578369 0.00508965 0.00468479 0.00468479 0.00468479] | [0.00522833 0.00467311 0.00407162 0.00402536 0.00388655] | [0.00120292 0.00101786 0.00097159 0.00092533 0.00083279] | [0.0060149 0.00555221 0.00508953 0.00499699 0.00495072] |
| nobs | 17290 | 21613 | 21614 | 21613 |
| missing | 0.000 | 0.000 | 0.000 | 0.000 |
| mean | -122.214 | -122.218 | -122.213 | -122.215 |
| std_err | 0.001 | 0.001 | 0.001 | 0.001 |
| upper_ci | -122.212 | -122.216 | -122.211 | -122.213 |
| lower_ci | -122.216 | -122.220 | -122.215 | -122.218 |
| std | 0.140 | 0.135 | 0.139 | 0.161 |
| iqr | 0.204 | 0.194 | 0.201 | 0.217 |
| iqr_normal | 0.151 | 0.144 | 0.149 | 0.161 |
| mad | 0.115 | 0.111 | 0.114 | 0.130 |
| mad_normal | 0.144 | 0.139 | 0.143 | 0.163 |
| coef_var | -0.001 | -0.001 | -0.001 | -0.001 |
| range | 1.204 | 1.203 | 1.187 | 0.941 |
| max | -121.315 | -121.316 | -121.322 | -121.578 |
| min | -122.519 | -122.519 | -122.509 | -122.519 |
| skew | 0.867 | 0.790 | 0.788 | 1.113 |
| kurtosis | 3.953 | 3.648 | 3.486 | 4.064 |
| jarque_bera | 2819 | 2626 | 2450 | 5485 |
| jarque_bera_pval | 0.000 | 0.000 | 0.000 | 0.000 |
| mode | -122.290 | -122.300 | -122.284 | -122.331 |
| mode_freq | 0.006 | 0.005 | 0.001 | 0.006 |
| median | -122.231 | -122.228 | -122.226 | -122.262 |
| 0.1 % | -122.497 | -122.519 | -122.476 | -122.519 |
| 1.0 % | -122.408 | -122.405 | -122.405 | -122.426 |
| 5.0 % | -122.387 | -122.386 | -122.386 | -122.398 |
| 25.0 % | -122.329 | -122.326 | -122.325 | -122.339 |
| 75.0 % | -122.125 | -122.132 | -122.125 | -122.122 |
| 95.0 % | -121.979 | -121.999 | -121.981 | -121.922 |
| 99.0 % | -121.787 | -121.810 | -121.801 | -121.702 |
| 99.9 % | -121.699 | -121.721 | -121.714 | -121.609 |

Tabla A.14: Propiedades estadísticas de variable condition, King county (A-3)

| Variable/Modelo | Real | tddpm_mlp | smote-enc | ctgan |
|------------------|--|--|--|--|
| top5 | [3 4 5 2 1] | [3 4 5 2 1] | [3 4 5 2 1] | [3 4 5 2 1] |
| top5_freq | [11248 4512 1364 139 27] | [14771 5499 1282 54 7] | [15485 5206 896 25 2] | [15887 3813 1366 297 250] |
| top5_prob | [0.65054945 0.26096009 0.07888953 0.00803933 0.0015616] | [6.83431268e-01 2.54430204e-01 5.93161523e-02 2.49849628e-03 3.23879147e-04] | [7.16433793e-01 2.40862404e-01 4.14546128e-02 1.15665772e-03 9.25326177e-05] | [0.73506686 0.1764216 0.0632027 0.01374173 0.01156711] |
| nobs | 17290 | 21613 | 21614 | 21613 |
| missing | 0.000 | 0.000 | 0.000 | 0.000 |
| mean | 3.408 | 3.370 | 3.322 | 3.266 |
| std_err | 0.005 | 0.004 | 0.004 | 0.004 |
| upper_ci | 3.417 | 3.378 | 3.330 | 3.275 |
| lower_ci | 3.398 | 3.362 | 3.315 | 3.257 |
| std | 0.652 | 0.599 | 0.552 | 0.647 |
| iqr | 1.000 | 1.000 | 1.000 | 0.000 |
| iqr_normal | 0.741 | 0.741 | 0.741 | 0.000 |
| mad | 0.560 | 0.514 | 0.465 | 0.478 |
| mad_normal | 0.702 | 0.644 | 0.583 | 0.599 |
| coef_var | 0.191 | 0.178 | 0.166 | 0.198 |
| range | 4.000 | 4.000 | 4.000 | 4.000 |
| max | 5.000 | 5.000 | 5.000 | 5.000 |
| min | 1.000 | 1.000 | 1.000 | 1.000 |
| skew | 1.028 | 1.281 | 1.447 | 0.824 |
| kurtosis | 3.556 | 3.815 | 4.246 | 5.519 |
| jarque_bera | 3269 | 6513 | 8939 | 8157 |
| jarque_bera_pval | 0.000 | 0.000 | 0.000 | 0.000 |
| mode | 3.000 | 3.000 | 3.000 | 3.000 |
| mode_freq | 0.651 | 0.683 | 0.716 | 0.735 |
| median | 3.000 | 3.000 | 3.000 | 3.000 |
| 0.1 % | 1.000 | 2.000 | 2.000 | 1.000 |
| 1.0 % | 3.000 | 3.000 | 3.000 | 1.000 |
| 5.0 % | 3.000 | 3.000 | 3.000 | 3.000 |
| 25.0 % | 3.000 | 3.000 | 3.000 | 3.000 |
| 75.0 % | 4.000 | 4.000 | 4.000 | 3.000 |
| 95.0 % | 5.000 | 5.000 | 4.000 | 5.000 |
| 99.0 % | 5.000 | 5.000 | 5.000 | 5.000 |
| 99.9 % | 5.000 | 5.000 | 5.000 | 5.000 |

Tabla A.15: Propiedades estadísticas de variable price, King county (A-3)

| Variable/Modelo | Real | tddpm_mlp | smote-enc | ctgan |
|------------------|---|---|---|--|
| top5 | [350000. 450000. 425000. 550000. 325000.] | [350000. 500000. 300000. 450000. 425000.] | [550000. 350000. 450000. 325000. 250000.] | [75000. 441284. 373224. 155731. 552865.] |
| top5_freq | [143 140 123 123 123] | [144 141 140 140 140] | [213 205 182 182 173] | [523 3 2 2 2] |
| top5_prob | [0.00827068 0.00809717 0.00711394 0.00711394 0.00711394] | [0.00666266 0.00652385 0.00647758 0.00647758 0.00647758] | [0.00985472 0.00948459 0.00842047 0.00842047 0.00800407] | [2.41983991e-02 1.38805349e-04 9.25368991e-05 9.25368991e-05 9.25368991e-05] |
| nobs | 17290 | 21613 | 21614 | 21613 |
| missing | 0.000 | 0.000 | 0.000 | 0.000 |
| mean | 537768 | 540676 | 519947 | 479590 |
| std_err | 2749 | 3439 | 2114 | 2796 |
| upper_ci | 543156 | 547416 | 524090 | 485070 |
| lower_ci | 532380 | 533936 | 515804 | 474110 |
| std | 361464 | 505561 | 310773 | 411063 |
| iqr | 319850 | 305000 | 310000 | 340312 |
| iqr_normal | 237105 | 226097 | 229803 | 252274 |
| mad | 231680 | 235939 | 211646 | 264694 |
| mad_normal | 290368 | 295706 | 265259 | 331745 |
| coef_var | 0.672 | 0.935 | 0.598 | 0.857 |
| range | 7625000 | 7624938 | 4127000 | 4329847 |
| max | 7700000 | 7700000 | 4208000 | 4404847 |
| min | 75000 | 75062 | 81000 | 75000 |
| skew | 4.032 | 9.444 | 2.710 | 3.070 |
| kurtosis | 39.678 | 126.853 | 15.954 | 17.323 |
| jarque_bera | 1016020 | 14135158 | 177569 | 218683 |
| jarque_bera_pval | 0.000 | 0.000 | 0.000 | 0.000 |
| mode | 350000 | 350000 | 550000 | 75000 |
| mode_freq | 0.008 | 0.007 | 0.010 | 0.024 |
| median | 450000 | 448898 | 450500 | 376938 |
| 0.1 % | 95000 | 95123 | 95000 | 75000 |
| 1.0 % | 154467 | 163882 | 153000 | 75000 |
| 5.0 % | 210000 | 215000 | 210000 | 100318 |
| 25.0 % | 320150 | 320000 | 317000 | 235649 |
| 75.0 % | 640000 | 625000 | 627000 | 575961 |
| 95.0 % | 1150000 | 1050858 | 1039000 | 1234294 |
| 99.0 % | 1950000 | 1894340 | 1770000 | 2237925 |
| 99.9 % | 3331995 | 7700000 | 2750000 | 3641937 |

Tabla A.16: Propiedades estadísticas de variable sqft_lot15, King county (A-3)

| Variable/Modelo | Real | tddpm_mlp | smote-enc | ctgan |
|------------------|---|---|---|---|
| top5 | [5000 4000 6000 7200 4800] | [5000. 4000. 6000. 7200. 4800.] | [5000. 4000. 3600. 6000. 5200.] | [651 3104 6478 4042 7791] |
| top5_freq | [349 289 224 160 120] | [392 351 265 172 142] | [71 71 32 28 24] | [1594 7 7 7 7] |
| top5_prob | [0.02018508 0.01671486 0.01295547 0.0092539 0.00694043] | [0.01813723 0.01624023 0.01226114 0.00795817 0.00657012] | [0.00328491 0.00328491 0.00148052 0.00129546 0.00111039] | [0.07375191 0.00032388 0.00032388 0.00032388 0.00032388] |
| nobs | 17290 | 21613 | 21614 | 21613 |
| missing | 0.000 | 0.000 | 0.000 | 0.000 |
| mean | 12725 | 11502 | 11986 | 11668 |
| std_err | 209.331 | 172.030 | 159.853 | 148.745 |
| upper_ci | 13135 | 11839 | 12300 | 11960 |
| lower_ci | 12315 | 11165 | 11673 | 11377 |
| std | 27525 | 25291 | 23501 | 21868 |
| iqr | 4963 | 4701 | 4846 | 7302 |
| iqr_normal | 3679 | 3485 | 3592 | 5413 |
| mad | 10095 | 8064 | 8799 | 9375 |
| mad_normal | 12652 | 10106 | 11028 | 11749 |
| coef_var | 2.163 | 2.199 | 1.961 | 1.874 |
| range | 870549 | 870549 | 866657 | 317306 |
| max | 871200 | 871200 | 867405 | 317957 |
| min | 651.000 | 651.000 | 748.259 | 651.000 |
| skew | 9.701 | 14.230 | 10.620 | 6.711 |
| kurtosis | 163.253 | 329.215 | 218.687 | 59.802 |
| jarque_bera | 18772189 | 96561454 | 42302376 | 3067794 |
| jarque_bera_pval | 0.000 | 0.000 | 0.000 | 0.000 |
| mode | 5000 | 5000 | 4000 | 651 |
| mode_freq | 0.020 | 0.018 | 0.003 | 0.074 |
| median | 7615 | 7672 | 7673 | 7104 |
| 0.1 % | 886.289 | 651.000 | 929.527 | 651.000 |
| 1.0 % | 1189 | 1225 | 1207 | 651 |
| 5.0 % | 1965 | 2416 | 2213 | 651 |
| 25.0 % | 5083 | 5100 | 5164 | 3787 |
| 75.0 % | 10046 | 9801 | 10010 | 11089 |
| 95.0 % | 36822 | 33447 | 35670 | 36797 |
| 99.0 % | 168296 | 106557 | 123646 | 120278 |
| 99.9 % | 306998 | 257142 | 246150 | 251946 |

Tabla A.17: Propiedades estadísticas de variable lat, King county (A-3)

| Variable/Modelo | Real | tddpm_mlp | smote-enc | ctgan |
|------------------|---|--|---|--|
| top5 | [47.5402 47.6875 47.686 47.6624 47.5518] | [47.7776 47.1559 47.16139285 47.65148565 47.65162378] | [47.5446 47.6265 47.6647 47.6955 47.6961] | [47.7776 47.6108 47.1593 47.618 47.6221] |
| top5_freq | [14 13 13 13 13] | [18 3 1 1 1] | [8 5 5 4 4] | [12 12 20 19 18 18] |
| top5_prob | [0.00080972 0.00075188 0.00075188 0.00075188 0.00075188] | [8.32832092e-04 1.38805349e-04 4.62684495e-05 4.62684495e-05 4.62684495e-05] | [0.00037013 0.00023133 0.00023133 0.00018507 0.00018507] | [0.05607736 0.00092537 0.0008791 0.00083283 0.00083283] |
| nobs | 17290 | 21613 | 21614 | 21613 |
| missing | 0.000 | 0.000 | 0.000 | 0.000 |
| mean | 47.560 | 47.562 | 47.561 | 47.594 |
| std_err | 0.001 | 0.001 | 0.001 | 0.001 |
| upper_ci | 47.562 | 47.564 | 47.563 | 47.596 |
| lower_ci | 47.558 | 47.560 | 47.559 | 47.592 |
| std | 0.138 | 0.137 | 0.137 | 0.124 |
| iqr | 0.206 | 0.205 | 0.203 | 0.174 |
| iqr_normal | 0.153 | 0.152 | 0.150 | 0.129 |
| mad | 0.115 | 0.114 | 0.113 | 0.100 |
| mad_normal | 0.144 | 0.143 | 0.142 | 0.125 |
| coef_var | 0.003 | 0.003 | 0.003 | 0.003 |
| range | 0.618 | 0.622 | 0.605 | 0.618 |
| max | 47.778 | 47.778 | 47.777 | 47.778 |
| min | 47.159 | 47.156 | 47.171 | 47.159 |
| skew | -0.487 | -0.473 | -0.494 | -0.575 |
| kurtosis | 2.328 | 2.266 | 2.361 | 2.917 |
| jarque_bera | 1009 | 1290 | 1247 | 1197 |
| jarque_bera_pval | 0.000 | 0.000 | 0.000 | 0.000 |
| mode | 47.540 | 47.778 | 47.545 | 47.778 |
| mode_freq | 0.001 | 0.001 | 0.000 | 0.056 |
| median | 47.572 | 47.571 | 47.572 | 47.605 |
| 0.1 % | 47.193 | 47.189 | 47.193 | 47.170 |
| 1.0 % | 47.257 | 47.262 | 47.250 | 47.267 |
| 5.0 % | 47.311 | 47.312 | 47.313 | 47.367 |
| 25.0 % | 47.472 | 47.475 | 47.475 | 47.520 |
| 75.0 % | 47.678 | 47.681 | 47.678 | 47.693 |
| 95.0 % | 47.750 | 47.748 | 47.749 | 47.778 |
| 99.0 % | 47.773 | 47.772 | 47.771 | 47.778 |
| 99.9 % | 47.777 | 47.778 | 47.776 | 47.778 |

Tabla A.18: Propiedades estadísticas de variable waterfront, King county (A-3)

| Variable/Modelo | Real | tddpm_mlp | smote-enc | ctgan |
|------------------|----------------------------|----------------------------|----------------------------|----------------------------|
| top5 | [0 1] | [0 1] | [0 1] | [0 1] |
| top5_freq | [17166 124] | [21553 60] | [21586 28] | [19823 1790] |
| top5_prob | [0.99282822 0.00717178] | [0.99722389 0.00277611] | [0.99870454 0.00129546] | [0.91717948 0.08282052] |
| nobs | 17290 | 21613 | 21614 | 21613 |
| missing | 0.000 | 0.000 | 0.000 | 0.000 |
| mean | 0.007 | 0.003 | 0.001 | 0.083 |
| std_err | 0.001 | 0.000 | 0.000 | 0.002 |
| upper_ci | 0.008 | 0.003 | 0.002 | 0.086 |
| lower_ci | 0.006 | 0.002 | 0.001 | 0.079 |
| std | 0.084 | 0.053 | 0.036 | 0.276 |
| iqr | 0.000 | 0.000 | 0.000 | 0.000 |
| iqr_normal | 0.000 | 0.000 | 0.000 | 0.000 |
| mad | 0.014 | 0.006 | 0.003 | 0.152 |
| mad_normal | 0.018 | 0.007 | 0.003 | 0.190 |
| coef_var | 11.766 | 18.953 | 27.766 | 3.328 |
| range | 1.000 | 1.000 | 1.000 | 1.000 |
| max | 1.000 | 1.000 | 1.000 | 1.000 |
| min | 0.000 | 0.000 | 0.000 | 0.000 |
| skew | 11.681 | 18.900 | 27.730 | 3.027 |
| kurtosis | 137.443 | 358.219 | 769.930 | 10.165 |
| jarque_bera | 13414600 | 114917884 | 532476328 | 79239 |
| jarque_bera_pval | 0.000 | 0.000 | 0.000 | 0.000 |
| mode | 0.000 | 0.000 | 0.000 | 0.000 |
| mode_freq | 0.993 | 0.997 | 0.999 | 0.917 |
| median | 0.000 | 0.000 | 0.000 | 0.000 |
| 0.1 % | 0.000 | 0.000 | 0.000 | 0.000 |
| 1.0 % | 0.000 | 0.000 | 0.000 | 0.000 |
| 5.0 % | 0.000 | 0.000 | 0.000 | 0.000 |
| 25.0 % | 0.000 | 0.000 | 0.000 | 0.000 |
| 75.0 % | 0.000 | 0.000 | 0.000 | 0.000 |
| 95.0 % | 0.000 | 0.000 | 0.000 | 1.000 |
| 99.0 % | 0.000 | 0.000 | 0.000 | 1.000 |
| 99.9 % | 1.000 | 1.000 | 1.000 | 1.000 |

Tabla A.19: Propiedades estadísticas de variable zipcode, King county (A-3)

| Variable/Modelo | Real | tddpm_mlp | smote-enc | ctgan |
|------------------|---|---|---|---|
| top5 | [98103 98038 98115 98052 98117] | [98052 98115 98103 98034 98038] | [98038 98103 98052 98042 98115] | [98006 98118 98103 98040 98034] |
| top5_freq | [489 473 462 459 455] | [662 649 623 620 619] | [619 605 589 561 559] | [885 778 666 589 572] |
| top5_prob | [0.02828224 0.02735685 0.02672065 0.02654714 0.02631579] | [0.03062971 0.03002822 0.02882524 0.02868644 0.02864017] | [0.02863885 0.02799112 0.02725086 0.0259554 0.02586287] | [0.04094758 0.03599685 0.03081479 0.02725212 0.02646555] |
| nobs | 17290 | 21613 | 21614 | 21613 |
| missing | 0.000 | 0.000 | 0.000 | 0.000 |
| mean | 98078 | 98078 | 98078 | 98081 |
| std_err | 0.406 | 0.363 | 0.361 | 0.381 |
| upper_ci | 98079 | 98079 | 98079 | 98082 |
| lower_ci | 98077 | 98077 | 98077 | 98080 |
| std | 53.326 | 53.361 | 53.037 | 56.072 |
| iqr | 84.000 | 84.000 | 84.000 | 86.000 |
| iqr_normal | 62.269 | 62.269 | 62.269 | 63.752 |
| mad | 46.554 | 46.714 | 46.383 | 49.470 |
| mad_normal | 58.347 | 58.547 | 58.132 | 62.002 |
| coef_var | 0.001 | 0.001 | 0.001 | 0.001 |
| range | 198.000 | 198.000 | 198.000 | 198.000 |
| max | 98199 | 98199 | 98199 | 98199 |
| min | 98001 | 98001 | 98001 | 98001 |
| skew | 0.402 | 0.399 | 0.392 | 0.371 |
| kurtosis | 2.153 | 2.140 | 2.136 | 2.025 |
| jarque_bera | 983.027 | 1238.956 | 1226.468 | 1350.558 |
| jarque_bera_pval | 0.000 | 0.000 | 0.000 | 0.000 |
| mode | 98103 | 98052 | 98038 | 98006 |
| mode_freq | 0.028 | 0.031 | 0.029 | 0.041 |
| median | 98065 | 98065 | 98065 | 98074 |
| 0.1 % | 98001 | 98001 | 98001 | 98001 |
| 1.0 % | 98001 | 98001 | 98001 | 98002 |
| 5.0 % | 98004 | 98004 | 98004 | 98006 |
| 25.0 % | 98033 | 98033 | 98033 | 98033 |
| 75.0 % | 98117 | 98117 | 98117 | 98119 |
| 95.0 % | 98177 | 98177 | 98177 | 98188 |
| 99.0 % | 98199 | 98199 | 98199 | 98199 |
| 99.9 % | 98199 | 98199 | 98199 | 98199 |

Tabla A.20: Propiedades estadísticas de variable grade, King county (A-3)

| Variable/Modelo | Real | tddpm_mlp | smote-enc | ctgan |
|------------------|---|---|---|--|
| top5 | [7 8 9 6 10] | [7 8 9 6 10] | [7 8 9 6 10] | [7 8 6 9 10] |
| top5_freq | [7201 4879 2072 1620 915] | [9607 6226 2568 1761 991] | [9705 6246 2567 1768 921] | [7896 5461 2560 1586 1325] |
| top5_prob | [0.41648352 0.28218623 0.11983806 0.09369578 0.05292076] | [0.44450099 0.28806737 0.11881738 0.08147874 0.04585203] | [0.44901453 0.28897937 0.11876561 0.08179883 0.04261127] | [0.36533568 0.252672 0.11844723 0.07338176 0.0613057] |
| nobs | 17290 | 21613 | 21614 | 21613 |
| missing | 0.000 | 0.000 | 0.000 | 0.000 |
| mean | 7.654 | 7.643 | 7.615 | 7.645 |
| std_err | 0.009 | 0.007 | 0.007 | 0.012 |
| upper_ci | 7.671 | 7.657 | 7.629 | 7.667 |
| lower_ci | 7.636 | 7.628 | 7.601 | 7.622 |
| std | 1.170 | 1.079 | 1.049 | 1.711 |
| iqr | 1.000 | 1.000 | 1.000 | 1.000 |
| iqr_normal | 0.741 | 0.741 | 0.741 | 0.741 |
| mad | 0.926 | 0.864 | 0.847 | 1.252 |
| mad_normal | 1.160 | 1.082 | 1.061 | 1.569 |
| coef_var | 0.153 | 0.141 | 0.138 | 0.224 |
| range | 12.000 | 9.000 | 8.000 | 12.000 |
| max | 13.000 | 13.000 | 12.000 | 13.000 |
| min | 1.000 | 4.000 | 4.000 | 1.000 |
| skew | 0.758 | 0.911 | 0.814 | 0.604 |
| kurtosis | 4.209 | 4.316 | 4.024 | 4.528 |
| jarque_bera | 2709 | 4551 | 3331 | 3416 |
| jarque_bera_pval | 0.000 | 0.000 | 0.000 | 0.000 |
| mode | 7.000 | 7.000 | 7.000 | 7.000 |
| mode_freq | 0.416 | 0.445 | 0.449 | 0.365 |
| median | 7.000 | 7.000 | 7.000 | 7.000 |
| 0.1 % | 4.000 | 5.000 | 5.000 | 3.000 |
| 1.0 % | 5.000 | 6.000 | 6.000 | 3.000 |
| 5.0 % | 6.000 | 6.000 | 6.000 | 5.000 |
| 25.0 % | 7.000 | 7.000 | 7.000 | 7.000 |
| 75.0 % | 8.000 | 8.000 | 8.000 | 8.000 |
| 95.0 % | 10.000 | 10.000 | 10.000 | 11.000 |
| 99.0 % | 11.000 | 11.000 | 11.000 | 13.000 |
| 99.9 % | 12.000 | 12.000 | 12.000 | 13.000 |

Tabla A.21: Propiedades estadísticas de variable sqft_living15, King county (A-3)

| Variable/Modelo | Real | tddpm_mlp | smote-enc | ctgan |
|------------------|---|---|---|---|
| top5 | [1440 1540 1560 1500 1610] | [1440. 1520. 1500. 1550. 1640.] | [1830. 1310. 1440. 1160. 2370.] | [1738 1706 1818 2079 1893] |
| top5_freq | [156 154 152 137 136] | [210 165 159 158 156] | [18 16 16 16 15] | [28 28 26 25 24] |
| top5_prob | [0.00902256 0.00890688 0.00879121 0.00792366 0.00786582] | [0.00971637 0.00763429 0.00735668 0.00731042 0.00721788] | [0.00083279 0.00074026 0.00074026 0.00074026 0.00069399] | [0.00129552 0.00129552 0.00120298 0.00115671 0.00111044] |
| nobs | 17290 | 21613 | 21614 | 21613 |
| missing | 0.000 | 0.000 | 0.000 | 0.000 |
| mean | 1983 | 1953 | 1979 | 1759 |
| std_err | 5.181 | 4.370 | 4.397 | 4.540 |
| upper_ci | 1993 | 1961 | 1987 | 1768 |
| lower_ci | 1973 | 1944 | 1970 | 1750 |
| std | 681.232 | 642.407 | 646.410 | 667.478 |
| iqr | 880.000 | 810.000 | 839.395 | 835.000 |
| iqr_normal | 652.345 | 600.454 | 622.244 | 618.986 |
| mad | 533.237 | 500.663 | 509.027 | 510.410 |
| mad_normal | 668.313 | 627.488 | 637.971 | 639.704 |
| coef_var | 0.344 | 0.329 | 0.327 | 0.379 |
| range | 5811 | 5810 | 4652 | 5811 |
| max | 6210 | 6209 | 5279 | 6210 |
| min | 399.000 | 399.000 | 627.292 | 399.000 |
| skew | 1.095 | 1.104 | 1.041 | 1.033 |
| kurtosis | 4.572 | 4.942 | 4.196 | 5.310 |
| jarque_bera | 5237 | 7785 | 5190 | 8650 |
| jarque_bera_pval | 0.000 | 0.000 | 0.000 | 0.000 |
| mode | 1440 | 1440 | 1830 | 1706 |
| mode_freq | 0.009 | 0.010 | 0.001 | 0.001 |
| median | 1840 | 1820 | 1840 | 1695 |
| 0.1 % | 740.000 | 399.000 | 763.863 | 440.792 |
| 1.0 % | 950.000 | 958.640 | 985.793 | 640.000 |
| 5.0 % | 1140 | 1160 | 1177 | 839 |
| 25.0 % | 1480 | 1490 | 1501 | 1276 |
| 75.0 % | 2360 | 2300 | 2341 | 2111 |
| 95.0 % | 3280 | 3182 | 3236 | 2946 |
| 99.0 % | 4050 | 3890 | 3909 | 3865 |
| 99.9 % | 4986 | 4913 | 4774 | 5141 |

Tabla A.22: Propiedades estadísticas de variable sqft_living, King county (A-3)

| Variable/Modelo | Real | tddpm_mlp | smote-enc | ctgan |
|------------------|---|---|---|---|
| top5 | [1400 1300 1720 1250 1540] | [1800. 1300. 1440. 1580. 2240.] | [1800. 1830. 2230. 1690. 770.] | [290 1671 1460 1822 1618] |
| top5_freq | [109 107 106 106 105] | [134 122 119 108 105] | [15 15 13 12 12] | [95 24 21 20 20] |
| top5_prob | [0.00630422 0.00618855 0.00613071 0.00613071 0.00607287] | [0.00619997 0.00564475 0.00550595 0.00499699 0.00485819] | [0.00069399 0.00069399 0.00060146 0.0005552 0.0005552] | [0.0043955 0.00111044 0.00097164 0.00092537 0.00092537] |
| nobs | 17290 | 21613 | 21614 | 21613 |
| missing | 0.000 | 0.000 | 0.000 | 0.000 |
| mean | 2074 | 2079 | 2042 | 1832 |
| std_err | 6.900 | 7.340 | 5.682 | 5.975 |
| upper_ci | 2087 | 2093 | 2053 | 1844 |
| lower_ci | 2060 | 2064 | 2031 | 1820 |
| std | 907.298 | 1079.062 | 835.391 | 878.356 |
| iqr | 1110 | 1065 | 1057 | 1033 |
| iqr_normal | 822.844 | 789.339 | 783.883 | 765.764 |
| mad | 693.180 | 690.927 | 649.181 | 657.958 |
| mad_normal | 868.773 | 865.949 | 813.627 | 824.628 |
| coef_var | 0.437 | 0.519 | 0.409 | 0.479 |
| range | 11760 | 13250 | 10060 | 9364 |
| max | 12050 | 13540 | 10450 | 9654 |
| min | 290.000 | 290.306 | 389.730 | 290.000 |
| skew | 1.371 | 4.654 | 1.155 | 1.287 |
| kurtosis | 7.167 | 45.621 | 5.605 | 6.644 |
| jarque_bera | 17922 | 1713859 | 10916 | 17918 |
| jarque_bera_pval | 0.000 | 0.000 | 0.000 | 0.000 |
| mode | 1400 | 1800 | 1800 | 290 |
| mode_freq | 0.006 | 0.006 | 0.001 | 0.004 |
| median | 1910 | 1900 | 1894 | 1713 |
| 0.1 % | 522.890 | 569.633 | 620.406 | 290.000 |
| 1.0 % | 720.000 | 739.158 | 770.000 | 365.000 |
| 5.0 % | 940.000 | 960.000 | 967.472 | 638.000 |
| 25.0 % | 1430 | 1430 | 1433 | 1236 |
| 75.0 % | 2540 | 2495 | 2491 | 2269 |
| 95.0 % | 3740 | 3617 | 3604 | 3423 |
| 99.0 % | 4921 | 4949 | 4525 | 4754 |
| 99.9 % | 6966 | 13540 | 6095 | 6582 |

A.10. Estadísticos Económicos - Conjunto A

Tabla A.23: Propiedades estadísticas de variable property_type, Economicos (A-3)

| Variable/Modelo | Real | tddpm_mlp | smote-enc | ctgan |
|-----------------|--|--|---|--|
| top5 | ['Departamento' 'Casa' 'Oficina o Casa Oficina' 'Parcela o Chacra' 'Local o Casa comercial'] | ['Departamento' 'Casa' 'Oficina o Casa Oficina' 'Parcela o Chacra' 'Local o Casa comercial'] | ['Departamento' 'Casa' 'Oficina o Casa Oficina' 'Parcela o Chacra' 'Departamento Amoblado'] | ['Departamento' 'Casa' 'Oficina o Casa Oficina' 'Parcela o Chacra' 'Local o Casa comercial'] |
| top5_freq | [10592 8911 1553 413 255] | [13470 11435 1892 376 154] | [13613 11703 1796 237 121] | [10187 10078 3058 2086 1216] |
| top5_prob | [0.48016683 0.4039621 0.0704021 0.01872252 0.01155991] | [0.48850366 0.41470226 0.06861536 0.01363603 0.00558497] | [0.49368971 0.42442156 0.06513382 0.00859505 0.00438819] | [0.36944223 0.36548923 0.11090157 0.07565098 0.04409951] |
| nobs | 22059 | 27574 | 27574 | 27574 |
| missing | 22059 | 0 | 0 | 0 |

Tabla A.24: Propiedades estadísticas de variable publication_date, Economicos (A-3)

| Variable/Modelo | Real | tddpm_mlp | smote-enc | ctgan |
|------------------|---|--|---|--|
| top5 | [1545 1693 1546 1549 721] | [1545. 1693. 1546. 1549. 721.] | [1545. 1693. 1546. 1549. 721.] | [1693 1546 1548 1547 1549] |
| top5_freq | [10883 6103 895 320 125] | [14087 7611 1137 229 121] | [13284 7427 472 102 101] | [3459 1612 1598 1596 1514] |
| top5_prob | [0.49335872 0.27666712 0.04057301 0.01450655 0.00566662] | [0.51087981 0.27602089 0.0412345 0.00830492 0.00438819] | [0.48175818 0.26934794 0.01711757 0.00369914 0.00366287] | [0.12544426 0.05846087 0.05795314 0.05788061 0.0549068] |
| nobs | 22059 | 27574 | 27574 | 27574 |
| missing | 0.000 | 0.000 | 0.000 | 0.000 |
| mean | 1471 | 1476 | 1473 | 1504 |
| std_err | 2.056 | 1.786 | 1.820 | 1.432 |
| upper_ci | 1475 | 1479 | 1476 | 1507 |
| lower_ci | 1467 | 1472 | 1469 | 1501 |
| std | 305.403 | 296.604 | 302.208 | 237.822 |
| iqr | 148.000 | 148.000 | 148.000 | 9.000 |
| iqr_normal | 109.713 | 109.713 | 109.713 | 6.672 |
| mad | 206.755 | 199.027 | 203.032 | 133.263 |
| mad_normal | 259.128 | 249.443 | 254.463 | 167.021 |
| coef_var | 0.208 | 0.201 | 0.205 | 0.158 |
| range | 1489 | 1487 | 1462 | 1287 |
| max | 1693 | 1693 | 1693 | 1693 |
| min | 204.000 | 205.521 | 231.000 | 406.000 |
| skew | -2.019 | -2.039 | -2.043 | -2.746 |
| kurtosis | 5.892 | 6.010 | 5.988 | 10.071 |
| jarque_bera | 22679 | 29516 | 29441 | 92083 |
| jarque_bera_pval | 0.000 | 0.000 | 0.000 | 0.000 |
| mode | 1545 | 1545 | 1545 | 1693 |
| mode_freq | 0.493 | 0.511 | 0.482 | 0.125 |
| median | 1545 | 1545 | 1545 | 1547 |
| 0.1 % | 450.696 | 510.024 | 505.438 | 458.000 |
| 1.0 % | 531.000 | 538.813 | 533.029 | 558.730 |
| 5.0 % | 628.900 | 715.105 | 629.000 | 841.000 |
| 25.0 % | 1545 | 1545 | 1545 | 1543 |
| 75.0 % | 1693 | 1693 | 1693 | 1552 |
| 95.0 % | 1693 | 1693 | 1693 | 1693 |
| 99.0 % | 1693 | 1693 | 1693 | 1693 |
| 99.9 % | 1693 | 1693 | 1693 | 1693 |

Tabla A.25: Propiedades estadísticas de variable county, Economicos (A-3)

| Variable/Modelo | Real | tddpm_mlp | smote-enc | ctgan |
|-----------------|---|---|---|---|
| top5 | ['Las Condes' 'Santiago' 'Providencia' 'Vitacura' 'Lo Barnechea'] | ['Las Condes' 'Santiago' 'Providencia' 'Lo Barne- chea' 'Vitacura'] | ['Las Condes' 'Santiago' 'Providencia' 'Vitacura' 'Lo Barnechea'] | ['Santiago' 'Las Condes' 'Viña del Mar' 'Lo Bar- nechea' 'Providencia'] |
| top5_freq | [3233 2703 1481 1415 1322] | [4334 3507 1876 1775 1692] | [4577 3767 1945 1894 1855] | [5468 3919 1968 1961 1299] |
| top5_prob | [0.14656149 0.12253502 0.06713813 0.06414615 0.05993019] | [0.15717705 0.12718503 0.06803511 0.06437223 0.06136215] | [0.1659897 0.1366142 0.07053746 0.06868789 0.06727352] | [0.19830275 0.14212664 0.07137158 0.07111772 0.0471096] |
| nobs | 22059 | 27574 | 27574 | 27574 |
| missing | 22059 | 0 | 0 | 0 |

Tabla A.26: Propiedades estadísticas de variable _price, Economicos (A-3)

| Variable/Modelo | Real | tddpm_mlp | smote-enc | ctgan |
|------------------|---|---|--|--|
| top5 | [12500. 10500. 11500. 8500. 9000.] | [12500. 8500. 11500. 10500. 14000.] | [10500. 11500. 12500. 13500. 20000.] | [0. 68118.45452695 98057.57024952 26479.35274704 123382.2413035] |
| top5_freq | [104 99 91 86 85] | [110 106 91 85 82] | [179 160 149 144 135] | [9385 2 2 2 2] |
| top5_prob | [0.00471463 0.00448796 0.0041253 0.00389864 0.0038533] | [0.00398927 0.0038442 0.00330021 0.00308261 0.00297382] | [0.00649162 0.00580257 0.00540364 0.00522231 0.00489592] | [3.40356858e-01 7.25320955e-05 7.25320955e-05 7.25320955e-05 7.25320955e-05] |
| nobs | 22059 | 27574 | 27574 | 27574 |
| missing | 0.000 | 0.000 | 0.000 | 0.000 |
| mean | 110379 | 59460 | 78222 | 38997 |
| std_err | 32746 | 20065 | 22702 | 241 |
| upper_ci | 174559 | 98786 | 122716 | 39468 |
| lower_ci | 46199 | 20134 | 33727 | 38525 |
| std | 4863477 | 3331817 | 3769711 | 39936 |
| iqr | 9959 | 10119 | 10405 | 71052 |
| iqr_normal | 7383 | 7501 | 7713 | 52671 |
| mad | 202281 | 100814 | 137997 | 34948 |
| mad_normal | 253522 | 126351 | 172953 | 43801 |
| coef_var | 44.062 | 56.034 | 48.193 | 1.024 |
| range | 390000000 | 364203170 | 390000000 | 143410 |
| max | 390000000 | 364203170 | 390000000 | 143410 |
| min | 0.000 | 0.000 | 0.000 | 0.000 |
| skew | 60.579 | 85.625 | 75.012 | 0.614 |
| kurtosis | 4067 | 8059 | 6474 | 2 |
| jarque_bera | 1.51936e+10 | 7.45932e+10 | 4.81365e+10 | 2.70036e+03 |
| jarque_bera_pval | 0.000 | 0.000 | 0.000 | 0.000 |
| mode | 12500 | 12500 | 10500 | 0 |
| mode_freq | 0.005 | 0.004 | 0.006 | 0.340 |
| median | 5084 | 5224 | 5084 | 29046 |
| 0.1 % | 0.263 | 0.232 | 0.389 | 0.000 |
| 1.0 % | 6.270 | 7.390 | 7.452 | 0.000 |
| 5.0 % | 11.760 | 12.141 | 12.005 | 0.000 |
| 25.0 % | 2041 | 2179 | 2095 | 0 |
| 75.0 % | 12000 | 12298 | 12500 | 71052 |
| 95.0 % | 32000 | 31122 | 32500 | 112381 |
| 99.0 % | 58942 | 54746 | 55000 | 129106 |
| 99.9 % | 262695 | 110823 | 135000 | 138297 |

Tabla A.27: Propiedades estadísticas de variable bathrooms, Economicos (A-3)

| Variable/Modelo | Real | tddpm_mlp | smote-enc | ctgan |
|------------------|--|--|--|--|
| top5 | [2. 1. 3. 4. 5.] | [2. 1. 3. 4. 5.] | [2. 1. 3. 4. 5.] | [3. 2. 1. 5. 4.] |
| top5_freq | [7511 5440 4486 2665 1084] | [9658 6711 5628 3439 1334] | [9405 6758 5627 3356 1316] | [9608 4916 3986 3475 3097] |
| top5_prob | [0.34049594 0.24661136 0.20336371 0.12081237 0.04914094] | [0.35025749 0.24338145 0.20410532 0.12471894 0.04837891] | [0.34108218 0.24508595 0.20406905 0.12170886 0.04772612] | [0.34844419 0.17828389 0.14455647 0.12602452 0.11231595] |
| nobs | 22059 | 27574 | 27574 | 27574 |
| missing | 0.000 | 0.000 | 0.000 | 0.000 |
| mean | 2.604 | 2.512 | 2.588 | 3.620 |
| std_err | 0.025 | 0.011 | 0.012 | 0.046 |
| upper_ci | 2.652 | 2.533 | 2.612 | 3.711 |
| lower_ci | 2.556 | 2.491 | 2.564 | 3.529 |
| std | 3.655 | 1.792 | 2.039 | 7.719 |
| iqr | 1.000 | 1.000 | 1.000 | 2.000 |
| iqr_normal | 0.741 | 0.741 | 0.741 | 1.483 |
| mad | 1.203 | 1.095 | 1.180 | 1.767 |
| mad_normal | 1.507 | 1.372 | 1.479 | 2.214 |
| coef_var | 1.404 | 0.714 | 0.788 | 2.132 |
| range | 435.000 | 179.000 | 179.000 | 435.000 |
| max | 436.000 | 180.000 | 180.000 | 436.000 |
| min | 1.000 | 1.000 | 1.000 | 1.000 |
| skew | 82.448 | 36.498 | 27.293 | 42.809 |
| kurtosis | 9252 | 3497 | 2130 | 2239 |
| jarque_bera | 7.86518e+10 | 1.40304e+10 | 5.20223e+09 | 5.75190e+09 |
| jarque_bera_pval | 0.000 | 0.000 | 0.000 | 0.000 |
| mode | 2.000 | 2.000 | 2.000 | 3.000 |
| mode_freq | 0.340 | 0.350 | 0.341 | 0.348 |
| median | 2.000 | 2.000 | 2.000 | 3.000 |
| 0.1 % | 1.000 | 1.000 | 1.000 | 1.000 |
| 1.0 % | 1.000 | 1.000 | 1.000 | 1.000 |
| 5.0 % | 1.000 | 1.000 | 1.000 | 1.000 |
| 25.0 % | 2.000 | 2.000 | 2.000 | 2.000 |
| 75.0 % | 3.000 | 3.000 | 3.000 | 4.000 |
| 95.0 % | 5.000 | 5.000 | 5.000 | 7.000 |
| 99.0 % | 8.000 | 7.000 | 8.000 | 14.000 |
| 99.9 % | 17.942 | 13.000 | 17.427 | 42.000 |

Tabla A.28: Propiedades estadísticas de variable m_built, Economicos (A-3)

| Variable/Modelo | Real | tddpm_mlp | smote-enc | ctgan |
|------------------|---|--|--|--|
| top5 | [140. 60. 120. 50. 70.] | [140. 60. 50. 120. 70.] | [140. 50. 60. 70. 40.] | [1. 526.52 926.3 825.58 804.72] |
| top5_freq | [700 467 444 431 415] | [939 568 545 529 486] | [354 165 159 150 136] | [17926 3 3 3 2] |
| top5_prob | [0.03173308 0.0211705 0.02012784 0.01953851 0.01881318] | [0.03405382 0.02059912 0.019765 0.01918474 0.0176253] | [0.01283818 0.0059839 0.0057663 0.00543991 0.00493218] | [6.50105172e-01 1.08798143e-04 1.08798143e-04 1.08798143e-04 7.25320955e-05] |
| nobs | 22059 | 27574 | 27574 | 27574 |
| missing | 0.000 | 0.000 | 0.000 | 0.000 |
| mean | 1771 | 2455 | 1326 | 391 |
| std_err | 664.365 | 912.066 | 379.290 | 10.197 |
| upper_ci | 3073 | 4243 | 2070 | 411 |
| lower_ci | 469.205 | 667.459 | 583.072 | 370.831 |
| std | 98673 | 151452 | 62983 | 1693 |
| iqr | 140.000 | 132.453 | 139.471 | 358.523 |
| iqr_normal | 103.782 | 98.188 | 103.390 | 265.773 |
| mad | 3202 | 4581 | 2323 | 550 |
| mad_normal | 4013 | 5742 | 2912 | 689 |
| coef_var | 55.706 | 61.689 | 47.482 | 4.333 |
| range | 11999999 | 11999999 | 6213436 | 40897 |
| max | 12000000 | 12000000 | 6213437 | 40898 |
| min | 1.000 | 1.000 | 1.000 | 1.000 |
| skew | 96.078 | 74.742 | 76.091 | 13.993 |
| kurtosis | 10659 | 5793 | 6548 | 239 |
| jarque_bera | 1.04399e+11 | 3.85432e+10 | 4.92421e+10 | 6.48622e+07 |
| jarque_bera_pval | 0.000 | 0.000 | 0.000 | 0.000 |
| mode | 140.000 | 140.000 | 140.000 | 1.000 |
| mode_freq | 0.032 | 0.034 | 0.013 | 0.650 |
| median | 107.000 | 106.000 | 107.688 | 1.000 |
| 0.1 % | 2.000 | 4.799 | 13.968 | 1.000 |
| 1.0 % | 23.000 | 23.982 | 25.208 | 1.000 |
| 5.0 % | 33.000 | 34.000 | 34.000 | 1.000 |
| 25.0 % | 60.000 | 60.000 | 60.278 | 1.000 |
| 75.0 % | 200.000 | 192.453 | 199.749 | 359.523 |
| 95.0 % | 490.000 | 450.000 | 469.831 | 1534.202 |
| 99.0 % | 1200 | 833 | 1116 | 2331 |
| 99.9 % | 37947 | 10395 | 32578 | 28397 |

Tabla A.29: Propiedades estadísticas de variable rooms, Economicos (A-3)

| Variable/Modelo | Real | tddpm_mlp | smote-enc | ctgan |
|------------------|--|--|--|--|
| top5 | [3. 2. 4. 1. 5.] | [3. 2. 4. 1. 5.] | [3. 2. 4. 1. 5.] | [3. 5. 2. 4. 1.] |
| top5_freq | [6355 4614 4168 2671 2232] | [8206 5706 5435 3276 2794] | [8192 5817 5466 3228 2869] | [6358 4459 4267 3642 1764] |
| top5_prob | [0.28809103 0.20916633 0.18894782 0.12108436 0.10118319] | [0.29759919 0.20693407 0.19710597 0.11880757 0.10132734] | [0.29709146 0.2109596 0.19823022 0.1170668 0.10404729] | [0.23057953 0.16171031 0.15474723 0.13208095 0.06397331] |
| nobs | 22059 | 27574 | 27574 | 27574 |
| missing | 0.000 | 0.000 | 0.000 | 0.000 |
| mean | 3.446 | 3.324 | 3.316 | 5.324 |
| std_err | 0.026 | 0.012 | 0.012 | 0.052 |
| upper_ci | 3.497 | 3.348 | 3.339 | 5.426 |
| lower_ci | 3.395 | 3.301 | 3.292 | 5.223 |
| std | 3.881 | 2.004 | 1.986 | 8.593 |
| iqr | 2.000 | 2.000 | 2.000 | 3.000 |
| iqr_normal | 1.483 | 1.483 | 1.483 | 2.224 |
| mad | 1.454 | 1.293 | 1.285 | 3.109 |
| mad_normal | 1.822 | 1.621 | 1.610 | 3.896 |
| coef_var | 1.126 | 0.603 | 0.599 | 1.614 |
| range | 399.000 | 47.000 | 56.000 | 399.000 |
| max | 400.000 | 48.000 | 57.000 | 400.000 |
| min | 1.000 | 1.000 | 1.000 | 1.000 |
| skew | 57.785 | 5.038 | 4.703 | 24.930 |
| kurtosis | 5331 | 70 | 66 | 948 |
| jarque_bera | 2.61061e+10 | 5.32586e+06 | 4.60194e+06 | 1.02949e+09 |
| jarque_bera_pval | 0.000 | 0.000 | 0.000 | 0.000 |
| mode | 3.000 | 3.000 | 3.000 | 3.000 |
| mode_freq | 0.288 | 0.298 | 0.297 | 0.231 |
| median | 3.000 | 3.000 | 3.000 | 4.000 |
| 0.1 % | 1.000 | 1.000 | 1.000 | 1.000 |
| 1.0 % | 1.000 | 1.000 | 1.000 | 1.000 |
| 5.0 % | 1.000 | 1.000 | 1.000 | 1.000 |
| 25.0 % | 2.000 | 2.000 | 2.000 | 3.000 |
| 75.0 % | 4.000 | 4.000 | 4.000 | 6.000 |
| 95.0 % | 6.000 | 6.000 | 6.000 | 14.000 |
| 99.0 % | 12.000 | 10.000 | 10.000 | 25.000 |
| 99.9 % | 25.000 | 22.427 | 23.000 | 57.000 |

Tabla A.30: Propiedades estadísticas de variable state, Economicos (A-3)

| Variable/Modelo | Real | tddpm_mlp | smote-enc | ctgan |
|-----------------|---|---|---|---|
| top5 | ['Metropolitana de Santiago' 'Valparaíso' 'Coquimbo' 'Araucanía' "Libertador General Bernardo O'higgins"] | ['Metropolitana de Santiago' 'Valparaíso' 'Coquimbo' 'Araucanía' "Libertador General Bernardo O'higgins"] | ['Metropolitana de Santiago' 'Valparaíso' 'Coquimbo' 'Araucanía' 'Maule'] | ['Metropolitana de Santiago' 'Valparaíso' 'Araucanía' 'Los Lagos' 'Coquimbo'] |
| top5_freq | [17248 2014 567 558 305] | [21950 2452 756 682 322] | [22494 2386 658 597 277] | [11784 4500 3155 1740 1316] |
| top5_prob | [0.78190308 0.0913006 0.02570379 0.0252958 0.01382656] | [0.79603975 0.08892435 0.02741713 0.02473344 0.01167767] | [0.81576848 0.08653079 0.02386306 0.02165083 0.0100457] | [0.42735911 0.16319721 0.11441938 0.06310292 0.04772612] |
| nobs | 22059 | 27574 | 27574 | 27574 |
| missing | 22059 | 0 | 0 | 0 |

Tabla A.31: Propiedades estadísticas de variable m_size, Economicos (A-3)

| Variable/Modelo | Real | tddpm_mlp | smote-enc | ctgan |
|------------------|---|---|---|--|
| top5 | [5000. 50. 60. 200. 70.] | [5000. 50. 60. 100. 200.] | [5000. 30. 45. 40. 50.] | [0. 222105.06 152316.2 41293.19 202121.85] |
| top5_freq | [601 342 321 285 281] | [742 396 361 346 343] | [151 78 77 66 62] | [10798 2 2 2 2] |
| top5_prob | [0.02724512 0.01550388 0.01455188 0.0129199 0.01273856] | [0.02690941 0.01436135 0.01309204 0.01254805 0.01243925] | [0.00547617 0.00282875 0.00279249 0.00239356 0.00224849] | [3.91600783e-01 7.25320955e-05 7.25320955e-05 7.25320955e-05 7.25320955e-05] |
| nobs | 22059 | 27574 | 27574 | 27574 |
| missing | 0.000 | 0.000 | 0.000 | 0.000 |
| mean | 146269 | 2040435 | 59502 | 92671 |
| std_err | 105454 | 960179 | 46375 | 630 |
| upper_ci | 352956 | 3922351 | 150396 | 93907 |
| lower_ci | -60417 | 158520 | -31392 | 91436 |
| std | 15662334 | 159441727 | 7700818 | 104688 |
| iqr | 340.500 | 319.835 | 364.247 | 170645.070 |
| iqr_normal | 252.413 | 237.094 | 270.017 | 126499.380 |
| mad | 290635 | 4078388 | 117393 | 90332 |
| mad_normal | 364257 | 5111501 | 147130 | 113215 |
| coef_var | 107.079 | 78.141 | 129.421 | 1.130 |
| range | 2.24100e+09 | 1.85996e+10 | 1.26328e+09 | 4.00260e+05 |
| max | 2.24100e+09 | 1.85996e+10 | 1.26328e+09 | 4.00260e+05 |
| min | 0.000 | 0.001 | 1.000 | 0.000 |
| skew | 134.762 | 90.861 | 160.494 | 0.825 |
| kurtosis | 19053 | 9035 | 26268 | 2 |
| jarque_bera | 3.33616e+11 | 9.37643e+10 | 7.92684e+11 | 3.48544e+03 |
| jarque_bera_pval | 0.000 | 0.000 | 0.000 | 0.000 |
| mode | 5000 | 5000 | 5000 | 0 |
| mode_freq | 0.027 | 0.027 | 0.005 | 0.392 |
| median | 145.000 | 144.000 | 148.530 | 53178.165 |
| 0.1 % | 2.000 | 3.298 | 17.278 | 0.000 |
| 1.0 % | 22.000 | 23.313 | 25.976 | 0.000 |
| 5.0 % | 35.000 | 35.000 | 35.392 | 0.000 |
| 25.0 % | 66.000 | 66.939 | 67.651 | 0.000 |
| 75.0 % | 406.500 | 386.774 | 431.898 | 170645.070 |
| 95.0 % | 5000 | 5000 | 4220 | 297686 |
| 99.0 % | 10200 | 8437 | 9176 | 348477 |
| 99.9 % | 70000 | 33892 | 46037 | 379558 |

Tabla A.32: Propiedades estadísticas de variable transaction_type, Economicos (A-3)

| Variable/Modelo | Real | tddpm_mlp | smote-enc | ctgan |
|-----------------|--|--|----------------------------|---|
| top5 | ['Venta' 'Arriendo' 'Busco arriendo' 'Compro'] | ['Venta' 'Arriendo' 'Busco arriendo' 'Compro'] | ['Venta' 'Arriendo'] | ['Venta' 'Arriendo' 'Compro' 'Busco arriendo'] |
| top5_freq | [17540 4517 1 1] | [22100 5471 2 1] | [21933 5641] | [17449 8280 1824 21] |
| top5_prob | [7.95140306e-01 2.04769029e-01 4.53329707e-05 4.53329707e-05] | [8.01479655e-01 1.98411547e-01 7.25320955e-05 3.62660477e-05] | [0.79542322 0.20457678] | [0.63280627 0.30028288 0.06614927 0.00076159] |
| nobs | 22059 | 27574 | 27574 | 27574 |
| missing | 22059 | 0 | 0 | 0 |

A.11. Estadísticos Económicos - Conjunto B

Tabla A.33: Propiedades estadísticas de variable m_size, Economicos (B-3)

| Variable/Modelo | Real | tddpm_mlp | smote-enc | ctgan |
|------------------|---|---|---|---|
| top5 | [-1.e+00 5.e+03 2.e+02 6.e+01 5.e+01] | [-1.e+00 5.e+03 2.e+02 6.e+01 5.e+01] | [-1.e+00 5.e+03 2.e+02 5.e+01 6.e+01] | [-1.00000000e+03 7.44169509e+14 3.81984385e+15 1.43692622e+15 3.02263916e+15] |
| top5_freq | [245062 19573 6932 6312 5748] | [312676 27731 7900 7858 7231] | [189632 8297 459 380 367] | [326171 3 3 3 3] |
| top5_prob | [0.44893839 0.03585652 0.01269899 0.01156319 0.01052998] | [0.4582421 0.04064115 0.01157784 0.01151629 0.01059739] | [0.27791505 0.01215966 0.00067269 0.00055691 0.00053786] | [4.78019691e-01 4.39664800e-06 4.39664800e-06 4.39664800e-06 4.39664800e-06] |
| nobs | 545870 | 682338 | 682338 | 682338 |
| missing | 0.000 | 0.000 | 0.000 | 0.000 |
| mean | 2.03551e+16 | 1.32450e+18 | 1.05479e+16 | 1.59961e+15 |
| std_err | 2.03549e+16 | 1.06899e+17 | 9.40725e+15 | 2.73730e+12 |
| upper_ci | 6.02499e+16 | 1.53401e+18 | 2.89858e+16 | 1.60497e+15 |
| lower_ci | -1.95397e+16 | 1.11498e+18 | -7.88994e+15 | 1.59424e+15 |
| std | 1.50388e+19 | 8.83023e+19 | 7.77074e+18 | 2.26112e+15 |
| iqr | 181.000 | 172.566 | 211.893 | 2734253148430780.000 |
| iqr_normal | 134.176 | 127.924 | 157.076 | 2026904891909700.750 |
| mad | 4.07100e+16 | 2.64804e+18 | 2.10957e+16 | 1.79642e+15 |
| mad_normal | 5.10224e+16 | 3.31883e+18 | 2.64396e+16 | 2.25148e+15 |
| coef_var | 738.823 | 66.669 | 736.708 | 1.414 |
| range | 1.11111e+22 | 1.11111e+22 | 6.36472e+21 | 2.22408e+16 |
| max | 1.11111e+22 | 1.11111e+22 | 6.36472e+21 | 2.22408e+16 |
| min | -1000.000 | -1000.000 | -546.048 | -1000.000 |
| skew | 738.828 | 84.640 | 807.089 | 1.614 |
| kurtosis | 545868 | 8261 | 659774 | 6 |
| jarque_bera | 6.77722e+15 | 1.93945e+12 | 1.23759e+16 | 4.85481e+05 |
| jarque_bera_pval | 0.000 | 0.000 | 0.000 | 0.000 |
| mode | -1.000 | -1.000 | -1.000 | -1000.000 |
| mode_freq | 0.449 | 0.458 | 0.278 | 0.478 |
| median | 36.000 | 38.000 | 46.354 | 211099107154120.188 |
| 0.1 % | -1.000 | -1.000 | -1.000 | -1000.000 |
| 1.0 % | -1.000 | -1.000 | -1.000 | -1000.000 |
| 5.0 % | -1.000 | -1.000 | -1.000 | -1000.000 |
| 25.0 % | -1.000 | -1.000 | -1.000 | -1000.000 |
| 75.0 % | 180.000 | 171.566 | 210.893 | 2734253148429780.000 |
| 95.0 % | 5000 | 5000 | 5089 | 6325359364193757 |
| 99.0 % | 50000 | 43877 | 68497 | 8943590289181725 |
| 99.9 % | 4920000 | 1695621 | 5664965 | 12390596650635482 |

Tabla A.34: Propiedades estadísticas de variable publication_date, Economicos (B-3)

| Variable/Modelo | Real | tddpm_mlp | smote-enc | ctgan |
|------------------|---|---|--|--|
| top5 | [1545 1693 1392 1492 1408] | [1545. 1693. 1392. 1492. 1408.] | [1545. 1693. 1392. 1492. 1408.] | [1693 1543 1545 1544 1547] |
| top5_freq | [19744 11666 10260 3838 2445] | [26496 14721 10960 4163 2581] | [19616 12624 8473 1812 660] | [13161 4256 4119 4114 3969] |
| top5_prob | [0.03616978 0.02137139 0.01879568 0.00703098 0.00447909] | [0.0388312 0.02157435 0.01606242 0.00610108 0.00378258] | [0.02874822 0.01850109 0.0124176 0.00265558 0.00096726] | [0.01928809 0.00623738 0.0060366 0.00602927 0.00581677] |
| nobs | 545870 | 682338 | 682338 | 682338 |
| missing | 0.000 | 0.000 | 0.000 | 0.000 |
| mean | 702.711 | 699.555 | 704.030 | 862.363 |
| std_err | 0.625 | 0.555 | 0.557 | 0.569 |
| upper_ci | 703.935 | 700.644 | 705.122 | 863.478 |
| lower_ci | 701.487 | 698.466 | 702.938 | 861.248 |
| std | 461.457 | 458.848 | 460.100 | 469.859 |
| iqr | 715.000 | 707.435 | 714.553 | 736.000 |
| iqr_normal | 530.030 | 524.422 | 529.699 | 545.598 |
| mad | 387.485 | 384.492 | 386.493 | 426.510 |
| mad_normal | 485.640 | 481.889 | 484.397 | 534.551 |
| coef_var | 0.657 | 0.656 | 0.654 | 0.545 |
| range | 3208 | 3208 | 3207 | 1628 |
| max | 1693 | 1693 | 1693 | 1693 |
| min | -1515 | -1515 | -1514 | 65 |
| skew | 0.533 | 0.518 | 0.537 | 0.064 |
| kurtosis | 2.198 | 2.263 | 2.187 | 1.668 |
| jarque_bera | 40467 | 45997 | 51584 | 50877 |
| jarque_bera_pval | 0.000 | 0.000 | 0.000 | 0.000 |
| mode | 1545 | 1545 | 1545 | 1693 |
| mode_freq | 0.036 | 0.039 | 0.029 | 0.019 |
| median | 609.000 | 608.000 | 609.141 | 988.000 |
| 0.1 % | 42.000 | 42.830 | 44.027 | 92.000 |
| 1.0 % | 56.000 | 56.255 | 61.339 | 110.000 |
| 5.0 % | 100.000 | 99.945 | 105.110 | 143.000 |
| 25.0 % | 322.000 | 322.035 | 323.591 | 463.000 |
| 75.0 % | 1037 | 1029 | 1038 | 1199 |
| 95.0 % | 1545 | 1545 | 1545 | 1550 |
| 99.0 % | 1693 | 1693 | 1693 | 1693 |
| 99.9 % | 1693 | 1693 | 1693 | 1693 |

Tabla A.35: Propiedades estadísticas de variable property_type, Economicos (B-3)

| Variable/Modelo | Real | tddpm_mlp | smote-enc | ctgan |
|-----------------|---|---|---|---|
| top5 | ['Departamento' 'Casa' 'Sitio o Terreno' 'Parcela o Chacra' 'Departamen- to Amoblado'] | ['Departamento' 'Casa' 'Sitio o Terreno' 'Parcela o Chacra' 'Departamen- to Amoblado'] | ['Departamento' 'Casa' 'Sitio o Terreno' 'Parcela o Chacra' 'Departamen- to Amoblado'] | ['Casa' 'Departamento' 'Parcela o Chacra' 'Resi- dencial/Pieza' 'Departa- mento Amoblado'] |
| top5_freq | [211405 142054 31393 30020 27415] | [267411 179229 39247 36474 33396] | [272561 181361 40333 37788 31513] | [220142 142362 78898 40399 34352] |
| top5_prob | [0.38728085 0.26023412 0.05751003 0.05499478 0.05022258] | [0.39190401 0.26266894 0.05751841 0.05345445 0.04894349] | [0.39945159 0.26579349 0.05911 0.05538018 0.04618386] | [0.32262896 0.20863853 0.11562891 0.05920673 0.05034455] |
| nobs | 545870 | 682338 | 682338 | 682338 |
| missing | 545870 | 0 | 0 | 0 |

Tabla A.36: Propiedades estadísticas de variable transaction_type, Economicos (B-3)

| Variable/Modelo | Real | tddpm_mlp | smote-enc | ctgan |
|-----------------|--|--|--|--|
| top5 | ['Venta' 'Arriendo' 'Busco arriendo' 'Com- pro' 'None'] | ['Venta' 'Arriendo' 'Busco arriendo' 'Com- pro' 'None'] | ['Venta' 'Arriendo' 'Busco arriendo' 'Com- pro' 'None'] | ['Venta' 'Arriendo' 'Otros' 'Busco arriendo' 'Compro'] |
| top5_freq | [282495 258300 3031 1901 86] | [352202 324618 3417 2003 59] | [354665 325665 1521 451 24] | [366440 270864 29831 7637 4585] |
| top5_prob | [5.17513327e-01 4.73189587e-01 5.55260410e-03 3.48251415e-03 1.57546669e-04] | [5.16169406e-01 4.75743693e-01 5.00778207e-03 2.93549531e-03 8.64674106e-05] | [5.19779054e-01 4.77278123e-01 2.22910053e-03 6.60962749e-04 3.51731840e-05] | [0.5370359 0.39696455 0.0437188 0.0111924 0.00671954] |
| nobs | 545870 | 682338 | 682338 | 682338 |
| missing | 545870 | 0 | 0 | 0 |

Tabla A.37: Propiedades estadísticas de variable bathrooms, Economicos (B-3)

| Variable/Modelo | Real | tddpm_mlp | smote-enc | ctgan |
|------------------|--|---|---|---|
| top5 | [-1. 2. 1. 3. 4.] | [-1. 2. 1. 3. 4.] | [-1. 2. 1. 3. 4.] | [-1. 1. 2. 3. 8.] |
| top5_freq | [206916 136581 134963 43884 14719] | [259422 172420 169557 54199 17651] | [257978 171740 168539 54581 18527] | [338218 132407 76570 36301 30470] |
| top5_prob | [0.37905728 0.25020792 0.24724385 0.08039277 0.0269643] | [0.38019574 0.25269002 0.24849415 0.07943131 0.02586841] | [0.37807949 0.25169344 0.24700222 0.07999115 0.02715223] | [0.49567516 0.19404899 0.11221711 0.05320091 0.04465529] |
| nobs | 545870 | 682338 | 682338 | 682338 |
| missing | 0.000 | 0.000 | 0.000 | 0.000 |
| mean | 0.815 | 0.788 | 0.815 | 1.376 |
| std_err | 0.003 | 0.002 | 0.002 | 0.007 |
| upper_ci | 0.820 | 0.792 | 0.819 | 1.391 |
| lower_ci | 0.810 | 0.784 | 0.811 | 1.362 |
| std | 1.898 | 1.603 | 1.689 | 5.990 |
| iqr | 3.000 | 3.000 | 3.000 | 3.000 |
| iqr_normal | 2.224 | 2.224 | 2.224 | 2.224 |
| mad | 1.376 | 1.359 | 1.373 | 2.502 |
| mad_normal | 1.725 | 1.704 | 1.720 | 3.136 |
| coef_var | 2.328 | 2.034 | 2.071 | 4.352 |
| range | 437.000 | 41.000 | 181.000 | 437.000 |
| max | 436.000 | 40.000 | 180.000 | 436.000 |
| min | -1.000 | -1.000 | -1.000 | -1.000 |
| skew | 36.380 | 0.498 | 3.433 | 17.659 |
| kurtosis | 6629 | 5 | 235 | 601 |
| jarque_bera | 9.98582e+11 | 1.26362e+05 | 1.52873e+09 | 1.02028e+10 |
| jarque_bera_pval | 0.000 | 0.000 | 0.000 | 0.000 |
| mode | -1.000 | -1.000 | -1.000 | -1.000 |
| mode_freq | 0.379 | 0.380 | 0.378 | 0.496 |
| median | 1.000 | 1.000 | 1.000 | 1.000 |
| 0.1 % | -1.000 | -1.000 | -1.000 | -1.000 |
| 1.0 % | -1.000 | -1.000 | -1.000 | -1.000 |
| 5.0 % | -1.000 | -1.000 | -1.000 | -1.000 |
| 25.0 % | -1.000 | -1.000 | -1.000 | -1.000 |
| 75.0 % | 2.000 | 2.000 | 2.000 | 2.000 |
| 95.0 % | 3.000 | 3.000 | 3.000 | 8.000 |
| 99.0 % | 5.000 | 5.000 | 5.000 | 13.000 |
| 99.9 % | 9.000 | 7.000 | 9.000 | 83.000 |

Tabla A.38: Propiedades estadísticas de variable rooms, Economicos (B-3)

| Variable/Modelo | Real | tddpm_mlp | smote-enc | ctgan |
|------------------|---|---|--|---|
| top5 | [-1. 3. 2. 1. 4.] | [-1. 3. 2. 1. 4.] | [-1. 3. 2. 1. 4.] | [-1. 2. 3. 1. 4.] |
| top5_freq | [196417 125902 97220 54183 44539] | [245532 158537 123328 66780 55841] | [246891 164177 122066 66430 55340] | [342760 96371 61068 55167 36727] |
| top5_prob | [0.35982377 0.23064466 0.17810101 0.0992599 0.08159269] | [0.35983926 0.23234379 0.18074327 0.09786938 0.08183774] | [0.36183094 0.24060949 0.17889374 0.09735644 0.0811035] | [0.50233169 0.14123645 0.08949817 0.08084996 0.05382523] |
| nobs | 545870 | 682338 | 682338 | 682338 |
| missing | 0.000 | 0.000 | 0.000 | 0.000 |
| mean | 9129 | 1464 | 1 | 2371371 |
| std_err | 4082 | 1463 | 0 | 58829 |
| upper_ci | 17129 | 4332 | 1 | 2486674 |
| lower_ci | 1128 | -1403 | 1 | 2256068 |
| std | 3015768 | 1208483 | 2 | 48594977 |
| iqr | 4.000 | 4.000 | 4.000 | 4.000 |
| iqr_normal | 2.965 | 2.965 | 2.965 | 2.965 |
| mad | 18254 | 2926 | 2 | 4731472 |
| mad_normal | 22878 | 3667 | 2 | 5930020 |
| coef_var | 330.362 | 825.250 | 1.482 | 20.492 |
| range | 998252511 | 998252511 | 39 | 998252511 |
| max | 998252510 | 998252510 | 38 | 998252510 |
| min | -1.000 | -1.000 | -1.000 | -1.000 |
| skew | 330.413 | 826.036 | 0.244 | 20.444 |
| kurtosis | 109174 | 682336 | 3 | 419 |
| jarque_bera | 2.71088e+14 | 1.32368e+16 | 7.34519e+03 | 4.96620e+09 |
| jarque_bera_pval | 0.000 | 0.000 | 0.000 | 0.000 |
| mode | -1.000 | -1.000 | -1.000 | -1.000 |
| mode_freq | 0.360 | 0.360 | 0.362 | 0.502 |
| median | 2.000 | 2.000 | 2.000 | -1.000 |
| 0.1 % | -1.000 | -1.000 | -1.000 | -1.000 |
| 1.0 % | -1.000 | -1.000 | -1.000 | -1.000 |
| 5.0 % | -1.000 | -1.000 | -1.000 | -1.000 |
| 25.0 % | -1.000 | -1.000 | -1.000 | -1.000 |
| 75.0 % | 3.000 | 3.000 | 3.000 | 3.000 |
| 95.0 % | 5.000 | 4.000 | 4.000 | 8.000 |
| 99.0 % | 7.000 | 6.000 | 6.000 | 15.000 |
| 99.9 % | 11.000 | 9.000 | 7.000 | 998252510.000 |

Tabla A.39: Propiedades estadísticas de variable county, Economicos (B-3)

| Variable/Modelo | Real | tddpm_mlp | smote-enc | ctgan |
|-----------------|---|---|---|---|
| top5 | ['Santiago' 'Viña del Mar' 'Las Condes' 'Providencia' 'None'] | ['Santiago' 'Viña del Mar' 'Las Condes' 'Providencia' 'None'] | ['Santiago' 'Viña del Mar' 'Las Condes' 'Providencia' 'None'] | ['Santiago' 'Viña del Mar' 'None' 'Providencia' 'Puerto Montt'] |
| top5_freq | [65125 33263 32327 27981 24863] | [82872 42783 40663 35645 29936] | [94757 49939 47207 37862 34230] | [75755 71804 64070 38903 31558] |
| top5_prob | [0.11930496 0.06093575 0.05922106 0.05125946 0.04554747] | [0.121453 0.0627006 0.05959363 0.05223951 0.04387268] | [0.13887106 0.07318807 0.06918419 0.05548863 0.05016575] | [0.11102269 0.1052323 0.09389775 0.05701427 0.04624981] |
| nobs | 545870 | 682338 | 682338 | 682338 |
| missing | 545870 | 0 | 0 | 0 |

Tabla A.40: Propiedades estadísticas de variable _price, Economicos (B-3)

| Variable/Modelo | Real | tddpm_mlp | smote-enc | ctgan |
|------------------|--|--|---|--|
| top5 | [0. 3500. 5500. 6500. 4500.] | [0.00000000e+00 4.50000000e+03 3.00000000e+03 3.50000000e+03 3.83275261e+15] | [0. 3500. 3000. 2500. 6500.] | [0.00000000e+00 6.29812066e+08 2.85923597e+08 2.06496794e+09 1.38283530e+09] |
| top5_freq | [17989 865 767 763 740] | [22674 724 702 691 11] | [32910 1326 1081 1079 1073] | [366966 3 3 2 2] |
| top5_prob | [0.03295473 0.00158463 0.0014051 0.00139777 0.00135563] | [3.32298656e-02 1.06105772e-03 1.02881563e-03 1.01269459e-03 1.61210427e-05] | [0.04823123 0.00194332 0.00158426 0.00158133 0.00157253] | [5.37806776e-01 4.39664800e-06 4.39664800e-06 2.93109866e-06 2.93109866e-06] |
| nobs | 545870 | 682338 | 682338 | 682338 |
| missing | 0.000 | 0.000 | 0.000 | 0.000 |
| mean | 7.09830e+09 | 5.24838e+11 | 5.61835e+09 | 5.17667e+08 |
| std_err | 7.02174e+09 | 3.91827e+10 | 5.61709e+09 | 9.72252e+05 |
| upper_ci | 2.08606e+10 | 6.01635e+11 | 1.66276e+10 | 5.19573e+08 |
| lower_ci | -6.66405e+09 | 4.48042e+11 | -5.39094e+09 | 5.15762e+08 |
| std | 5.18787e+12 | 3.23664e+13 | 4.63993e+12 | 8.03117e+08 |
| iqr | 3538 | 3504 | 3543 | 859824612 |
| iqr_normal | 2623 | 2597 | 2626 | 637388938 |
| mad | 1.41961e+10 | 1.04920e+12 | 1.12365e+10 | 6.26876e+08 |
| mad_normal | 1.77921e+10 | 1.31498e+12 | 1.40829e+10 | 7.85673e+08 |
| coef_var | 730.861 | 61.669 | 825.852 | 1.551 |
| range | 3.83275e+15 | 3.83275e+15 | 3.83275e+15 | 7.17933e+09 |
| max | 3.83275e+15 | 3.83275e+15 | 3.83275e+15 | 7.17933e+09 |
| min | 0.000 | 0.000 | 0.000 | 0.000 |
| skew | 738.712 | 80.859 | 826.036 | 1.782 |
| kurtosis | 545753 | 7533 | 682336 | 6 |
| jarque_bera | 6.77436e+15 | 1.61260e+12 | 1.32368e+16 | 6.37854e+05 |
| jarque_bera_pval | 0.000 | 0.000 | 0.000 | 0.000 |
| mode | 0.000 | 0.000 | 0.000 | 0.000 |
| mode_freq | 0.033 | 0.033 | 0.048 | 0.538 |
| median | 174.025 | 146.183 | 170.000 | 0.000 |
| 0.1 % | 0.000 | 0.000 | 0.000 | 0.000 |
| 1.0 % | 0.000 | 0.000 | 0.000 | 0.000 |
| 5.0 % | 1.270 | 1.527 | 0.005 | 0.000 |
| 25.0 % | 12.283 | 12.353 | 12.199 | 0.000 |
| 75.0 % | 3550 | 3516 | 3555 | 859824612 |
| 95.0 % | 14400 | 13725 | 14700 | 2245714576 |
| 99.0 % | 47000 | 40662 | 47000 | 3209542489 |
| 99.9 % | 1906676 | 971231 | 1347963 | 4513684174 |

Tabla A.41: Propiedades estadísticas de variable m_built, Economicos (B-3)

| Variable/Modelo | Real | tddpm_mlp | smote-enc | ctgan |
|------------------|---|--|--|---|
| top5 | [-1. 60. 50. 70. 100.] | [-1. 60. 70. 50. 80.] | [-1. 0. 60. 50. 70.] | [-1.00000000e+00 8.60224752e+08 6.62292673e+08 6.07707243e+08 9.01931774e+08] |
| top5_freq | [188514 13831 11796 11648 9716] | [238437 16647 15118 14059 12406] | [136164 1703 1487 1214 1013] | [190533 3 3 3 3] |
| top5_prob | [0.34534596 0.02533753 0.02160954 0.02133841 0.01779911] | [0.34944119 0.024397 0.02215617 0.02060416 0.01818161] | [0.19955506 0.00249583 0.00217927 0.00177918 0.0014846] | [2.79235511e-01 4.39664800e-06 4.39664800e-06 4.39664800e-06 4.39664800e-06] |
| nobs | 545870 | 682338 | 682338 | 682338 |
| missing | 0.000 | 0.000 | 0.000 | 0.000 |
| mean | 2.27142e+09 | 1.07079e+12 | 3.45545e+09 | 3.50871e+08 |
| std_err | 2.04392e+09 | 1.03121e+11 | 2.25542e+09 | 4.19404e+05 |
| upper_ci | 6.27743e+09 | 1.27291e+12 | 7.87598e+09 | 3.51693e+08 |
| lower_ci | -1.73460e+09 | 8.68681e+11 | -9.65085e+08 | 3.50049e+08 |
| std | 1.51011e+12 | 8.51817e+13 | 1.86306e+12 | 3.46443e+08 |
| iqr | 99.000 | 96.071 | 96.244 | 584547063.877 |
| iqr_normal | 73.389 | 71.217 | 71.346 | 433325386.863 |
| mad | 4.54267e+09 | 2.14100e+12 | 6.91040e+09 | 2.89207e+08 |
| mad_normal | 5.69340e+09 | 2.68334e+12 | 8.66090e+09 | 3.62467e+08 |
| coef_var | 664.832 | 79.550 | 539.165 | 0.987 |
| range | 1.11111e+15 | 1.11111e+16 | 1.10035e+15 | 2.38947e+09 |
| max | 1.11111e+15 | 1.11111e+16 | 1.10035e+15 | 2.38947e+09 |
| min | -1.000 | -1.000 | -1.000 | -1.000 |
| skew | 730.252 | 101.863 | 580.139 | 0.844 |
| kurtosis | 536948 | 11645 | 338072 | 3 |
| jarque_bera | 6.55754e+15 | 3.85454e+12 | 3.24941e+15 | 8.11271e+04 |
| jarque_bera_pval | 0.000 | 0.000 | 0.000 | 0.000 |
| mode | -1.000 | -1.000 | -1.000 | -1.000 |
| mode_freq | 0.345 | 0.349 | 0.200 | 0.279 |
| median | 50.000 | 50.000 | 51.432 | 283214063.174 |
| 0.1 % | -1.000 | -1.000 | -1.000 | -1.000 |
| 1.0 % | -1.000 | -1.000 | -1.000 | -1.000 |
| 5.0 % | -1.000 | -1.000 | -1.000 | -1.000 |
| 25.0 % | -1.000 | -1.000 | 4.395 | -1.000 |
| 75.0 % | 98.000 | 95.071 | 100.639 | 584547062.877 |
| 95.0 % | 400.000 | 356.625 | 513.500 | 1005038782.529 |
| 99.0 % | 8351 | 6005 | 61477 | 1298434790 |
| 99.9 % | 550000 | 454715 | 478266 | 1620793464 |

Tabla A.42: Propiedades estadísticas de variable state, Economicos (B-3)

| Variable/Modelo | Real | tddpm_mlp | smote-enc | ctgan |
|-----------------|--|--|--|---|
| top5 | ['Metropolitana de Santiago' 'Valparaíso' 'Biobío' 'Araucanía' "Liberador General Bernardo O'higgins"] | ['Metropolitana de Santiago' 'Valparaíso' 'Biobío' 'Araucanía' "Liberador General Bernardo O'higgins"] | ['Metropolitana de Santiago' 'Valparaíso' 'Biobío' 'Araucanía' "Liberador General Bernardo O'higgins"] | ['Metropolitana de Santiago' 'Valparaíso' 'Los Lagos' 'None' 'Antofagasta'] |
| top5_freq | [272808 108197 29379 21581 16533] | [345222 136959 36425 26568 20094] | [353117 137827 35992 26247 19119] | [281780 157931 43904 40684 39267] |
| top5_prob | [0.49976734 0.1982102 0.05382051 0.03953505 0.03028743] | [0.50593987 0.20072017 0.05338263 0.03893671 0.02944875] | [0.51751038 0.20199227 0.05274805 0.03846627 0.02801984] | [0.41296249 0.23145567 0.06434348 0.05962441 0.05754773] |
| nobs | 545870 | 682338 | 682338 | 682338 |
| missing | 545870 | 0 | 0 | 0 |